Digitized by Google

ANIMAUX FOSSILES

GÉOLOGIE DE L'ATTIQUE

ATLAS

Digitized by Google

Paris. — Imprimerie de F. Malteste, rue Mignon, 2.

Digitized by Google

ANIMAUX FOSSILES

ET

GÉOLOGIE DE L'ATTIQUE

D'APRÈS

LES RECHERCHES FAITES EN 1855-56 ET EN 1860

SOUS LES AUSPICES DE L'ACADÉMIE DES SCIENCES

PAR

ALBERT GAUDRY

ATLAS

PARIS

F. SAVY, ÉDITEUR

LIBRAIRE DE LA SOCIÉTÉ GÉOLOGIQUE DE FRANCE

RUE HAUTEFEUILLE, 24.

1862-1867

Digitized by Google

LISTE DES PLANCHES.

Planche I.	Mesopithecus Pentelici.	Les explications ont été données page 33
Pl. II.	Id.	34
Pl. III.	Id.	35
Pl. IV.	Id.	35
Pl. V.	Id.	36
Pl. VI, fig. 1, 2.	Metarctos (Simocyon) diaphorus.	42
— fig. 3, 4.	Mustela Pentelici.	45
— fig. 5, 6, 7.	Promephitis Lartetii.	52
Pl. VII.	Ictitherium robustum.	63
Pl. VIII.	Id.	66
Pl. IX.	Id.	66
Pl. X.	Id.	67
Pl. XI.	Ictitherium Orbignyi.	79
Pl. XII, fig. 1, 2, 3.	Ictitherium hipparionum.	73
— fig. 4, 5, 6.	Hyæna eximia.	90
Pl. XIII.	Id.	91
Pl. XIV.	Id.	91
Pl. XV, fig. 1-5.	Hyæna (Lycyæna) Chæretis.	95
— fig. 6, 7, 8.	Hyænictis græca.	104
Pl. XVI.	Machærodus cultridens.	115
Pl. XVII.	Diverses espèces de la famille des chats.	121
Pl. XVIII.	Hystrix primigenia.	127
Pl. XIX.	Ancylotherium Pentelici.	140
Pl. XX.	Id.	141
Pl. XXI.	Id.	141
Pl. XXII.	Mastodon Pentelici.	151
Pl. XXIII.	Id.	151
Pl. XXIV.	Mastodon turicensis.	159
Pl. XXV.	Dinotherium.	174
Pl. XXVI.	Rhinoceros pachygnathus.	199
Pl. XXVII.	Id.	200
Pl. XXVIII.	Id.	200
Pl. XXIX.	Id.	201
Pl. XXX.	Id.	201
Pl. XXXI.	Id.	202
Pl. XXXII.	Rhinoceros Schleiermacheri.	208
Pl. XXXIII, fig. 1, 2, 3.	Grand rhinocéros ? d'espèce inconnue.	211

Digitized by Google

LISTE DES PLANCHES.

Pl. XXXIII, fig. 4, 5. . . .	Rhinocéros de petite taille . Les explications ont été données page	214
— fig. 6. . . .	Acerotherium ?	216
Pl. XXXIV, fig. 1, 2. . . .	Leptodon græcus.	218
— fig. 3-7. . . .	Hipparion gracile	233
Pl. XXXV.	Id	233
Pl. XXXVI.	Id.	234
Pl. XXXVII.	Sus erymanthius.	243
Pl. XXXVIII.	Id.	243
Pl. XXXIX.	Id.	244
Pl. XL.	Camelopardalis attica.	257
Pl. XLI.	Helladotherium Duvernoyi.	262
Pl. XLII.	Id.	263
Pl. XLIII	Id.	263
Pl. XLIV.	Id.	264
Pl. XLV.	Palæotragus Rouenii.	267
Pl. XLVI.	Grand ruminant dont le genre n'a pas encore été déterminé.	270
Pl. XLVII, fig. 1-5. . . .	Palæoryx Pallasii.	275
— fig. 6, 7. . . .	Palæoryx parvidens	277
Pl. XLVIII, fig. 1. . . .	Cheville de corne d'une espèce inconnue.	277
— fig. 2, 3. . .	Tragocerus Valenciennesi.	289
— fig. 4, 5 . . .	Tragocerus amaltheus.	287
Pl. XLIX.	Id.	287
Pl. L.	Id.	287
Pl. LI.	Id.	288
Pl. LII, fig. 1.	Antilope d'espèce indéterminée.	290
— fig. 2, 3.	Antidorcas ? Rothii.	298
— fig. 4-6.	Palæoreas Lindermayeri.	295
Pl. LIII.	Id.	296
Pl. LIV.	Id.	296
Pl. LV.	Id.	297
Pl. LVI, fig. 1, 2, 3, 4. . .	Gazella brevicornis.	303
— fig. 5, 6	Dremotherium ? Pentelici.	304
— fig. 7.	Seconde espèce de Dremotherium.	308
Pl. LVII.	Gazella brevicornis.	303
Pl. LVIII, fig. 1-12. . . .	Phasianus? Archiaci.	311
— fig. 13-16. . . .	Gallus Æsculapii.	312
— fig. 17, 18. . . .	Ossements d'oiseaux indéterminés.	316
Pl. LIX, fig. 1-11.	Grus Pentelici.	315
— fig. 12.	Ciconia ?.	315
Pl. LX, fig. 1, 2.	Testudo marmorum.	318
— fig. 3, 4.	Vertèbre analogue à celles des varans.	318
Pl. LXI, fig. 1, 2.	Smerdis Isabellæ.	406
— fig. 3, 4.	Myriapode.	431
— fig. 5.	Elytre de coléoptère.	405
— fig. 6, 7. . . .	Helix de Pikermi.	319 et 427
— fig. 8, 9.	Planorbis Thiollieri.	445

Digitized by Google

LISTE DES PLANCHES.

Pl. LXI, fig. 10.	Planorbis solidus	Les explications ont été données page 406
— fig. 11-13.	Neritina micans	446
— fig. 14-17.	Limnæa megarensis	405
— fig. 18, 19.	Limnæa pseudo-palustris	405
— fig. 20-23.	Limnæa Forbesi	405
— fig. 24, 25.	Limnæa voisine de la L. cylindrica	405
Pl. LXII, fig. 1-6.	Melanopsis anceps	446
— fig. 7-15.	Melanopsis costata	406 et 446
— fig. 16-18.	Melanopsis Daphnes	407
— fig. 19, 20.	Melania? Hamiltoniana	407
— fig. 21, 22.	Melania?	407
— fig. 23, 24.	Cerithium atticum	452
— fig. 25.	Alasmodonta	408
— fig. 26.	Anodonta	408
Pl. LXIII, fig. 1-4.	Unio atticus	408
— fig. 5.	Unio	408
— fig. 6.	Janira productoides	390
— fig. 7-9.	Psammechinus mirabilis?	340
Pl. LXIV, fig. 1.	Pinus hellenica	412
— fig. 2, 3.	Myrica Ungeri	412
— fig. 4, 5.	Myrica Solonis	412
— fig. 6.	Daphnogene Delphica	413
— fig. 7.	Nerium Gaudryanum	416
— fig. 8.	Rhus elæodendroides	418
Pl. LXV.	Grevillea	414
Pl. LXVI, fig. 1, 2	Coupes générales de l'Attique	379, 388, 429, 435, 449
— fig. 3.	Profil du rivage oriental de l'Attique, près du torrent de Pikermi	429, 430, 435
Pl. LXVII.	Terrains métamorphiques	381
Pl. LXVIII	Etages des psammites, des marnolites bigarrés et des calcaires à rudistes	386-389
Pl. LXIX.	Massifs euritiques et serpentineux	394-396
Pl. LXX	Couches miocènes lacustres dans le centre de l'Attique	397-399
Pl. LXXI.	Couches miocènes lacustres dans le nord de l'Attique	400, 401
Pl. LXXII.	Gisements de lignites miocènes	402
Pl. LXXIII, fig. 1-3.	Couches pliocènes lacustres et marines de la Corinthie et de la Mégaride	441-446
— fig. 4, 5.	Couches miocènes lacustres de l'Attique	397, 398
Pl. LXXIV.	Brèches et limons à ossements de Pikermi	427-430, 435
Pl. LXXV.	Couches pliocènes marines de l'Attique	435, 437-440

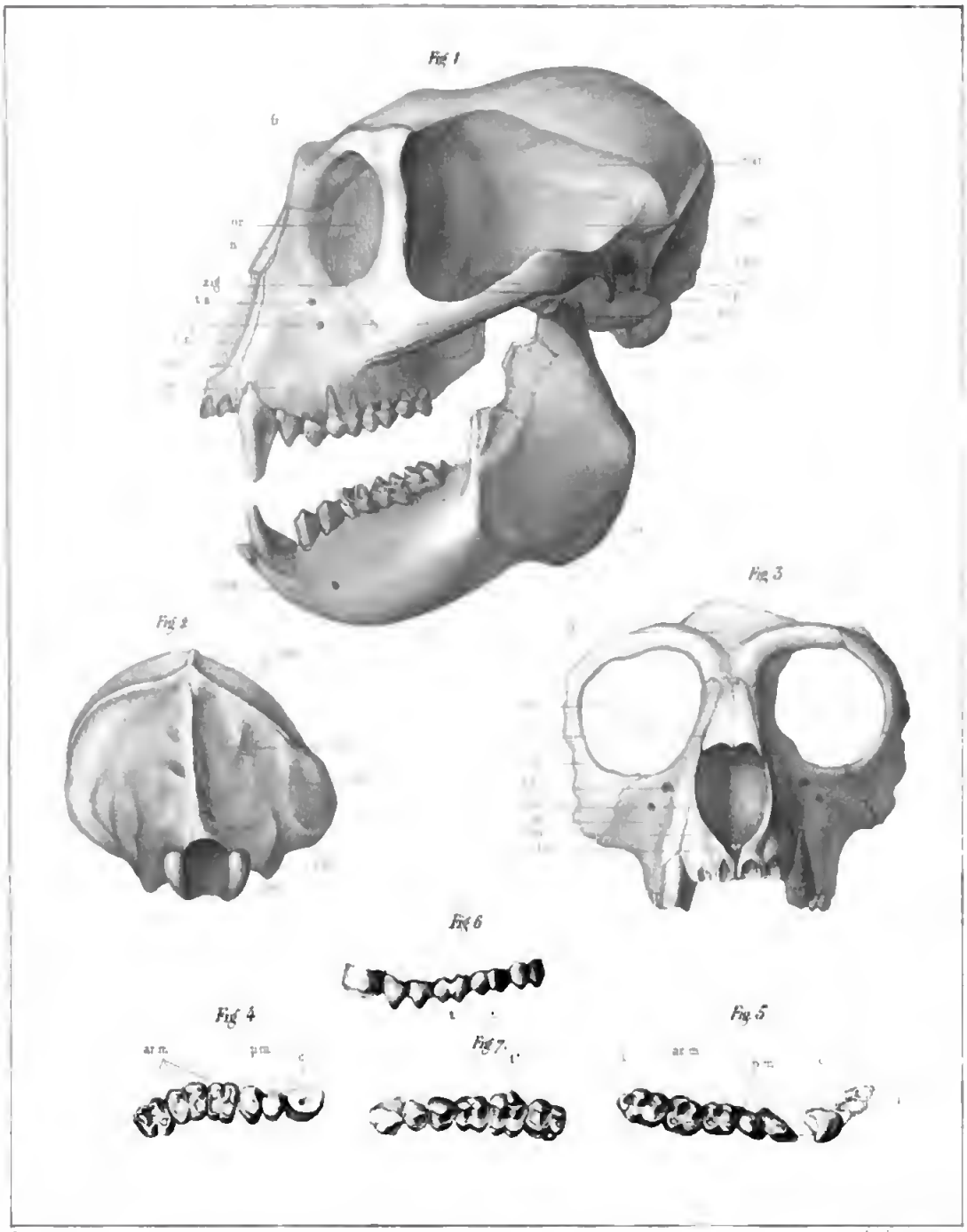

Mesopithecus Pentelici. Wagn. Mon.

Grandeur naturelle

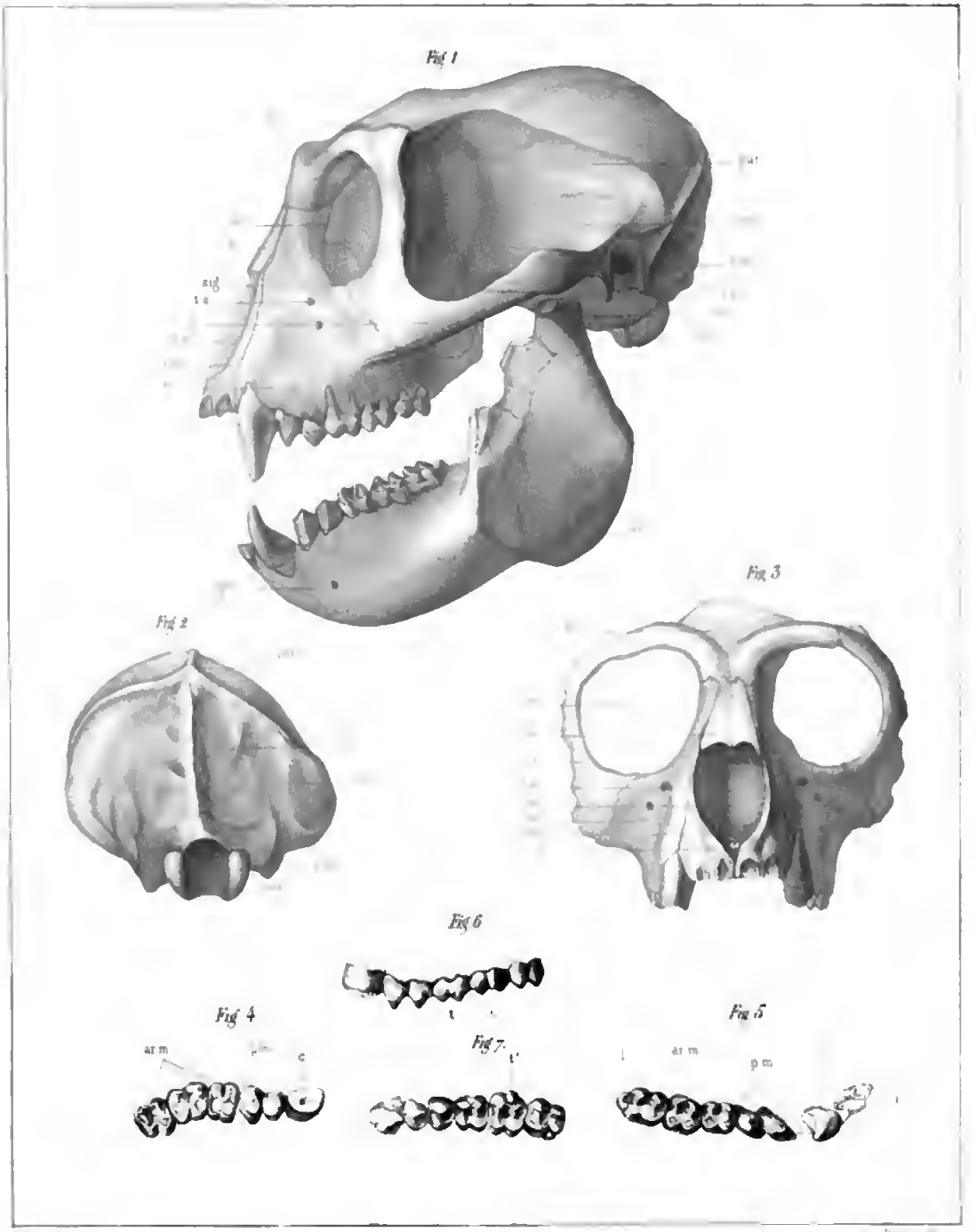

Meryopithecus Pentelici

Grandeur naturelle

Mesopithecus Pentelici (Mâle)

Grandeur naturelle

Digitized by Google

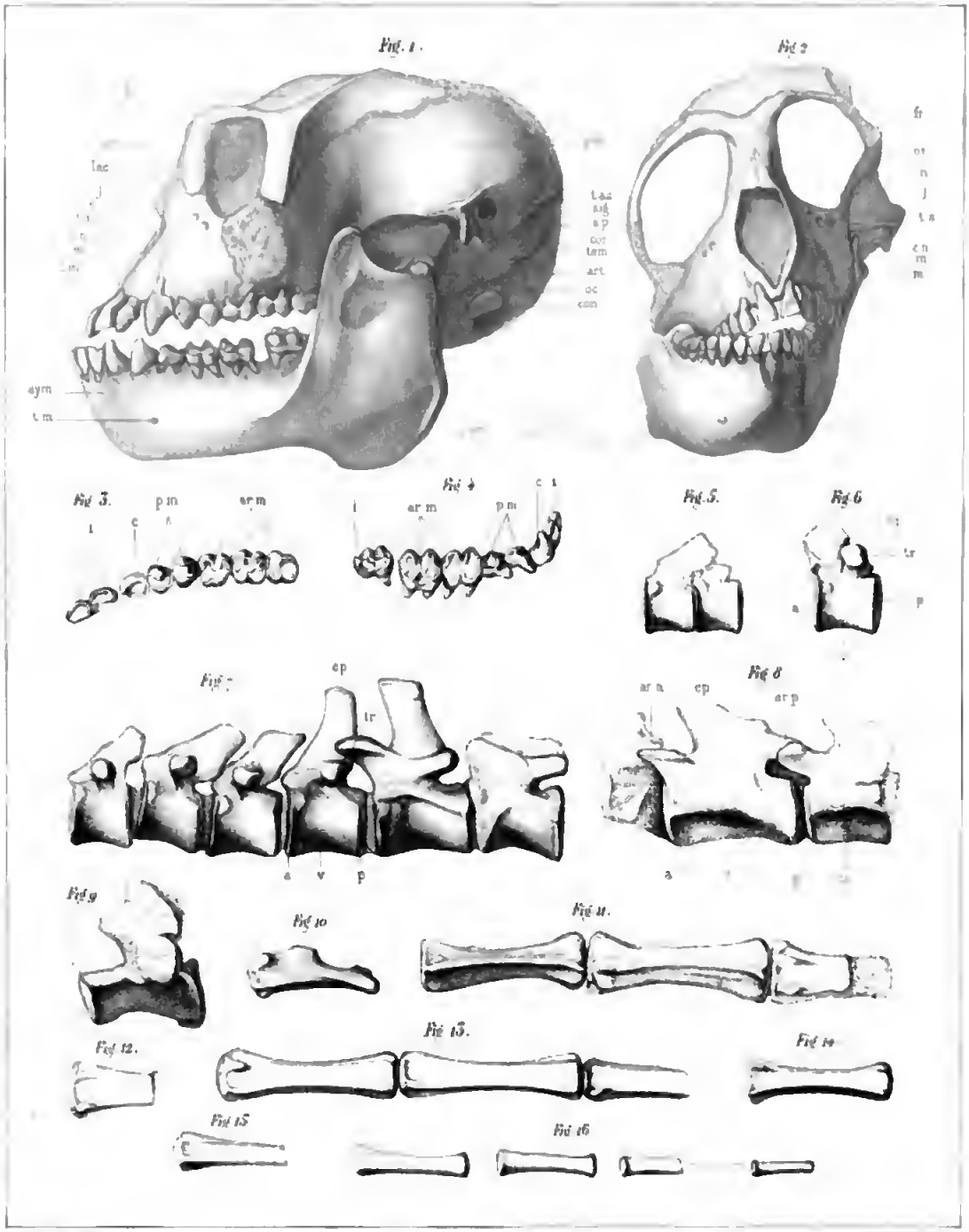

Mem. présentés par divers savants

Digitized by Google

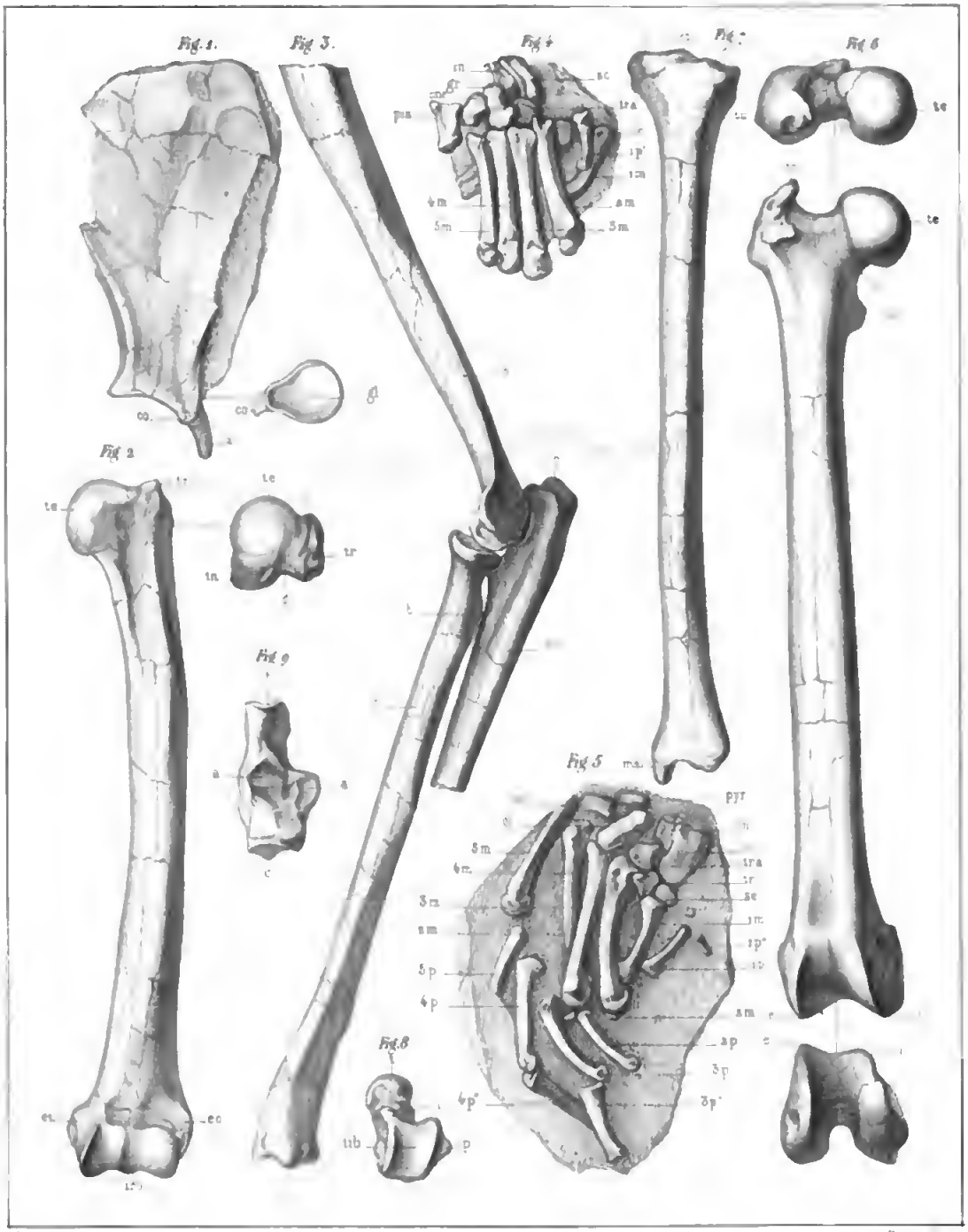

Mesopithecus Pentelici (Femelle)

Grandeur naturelle.

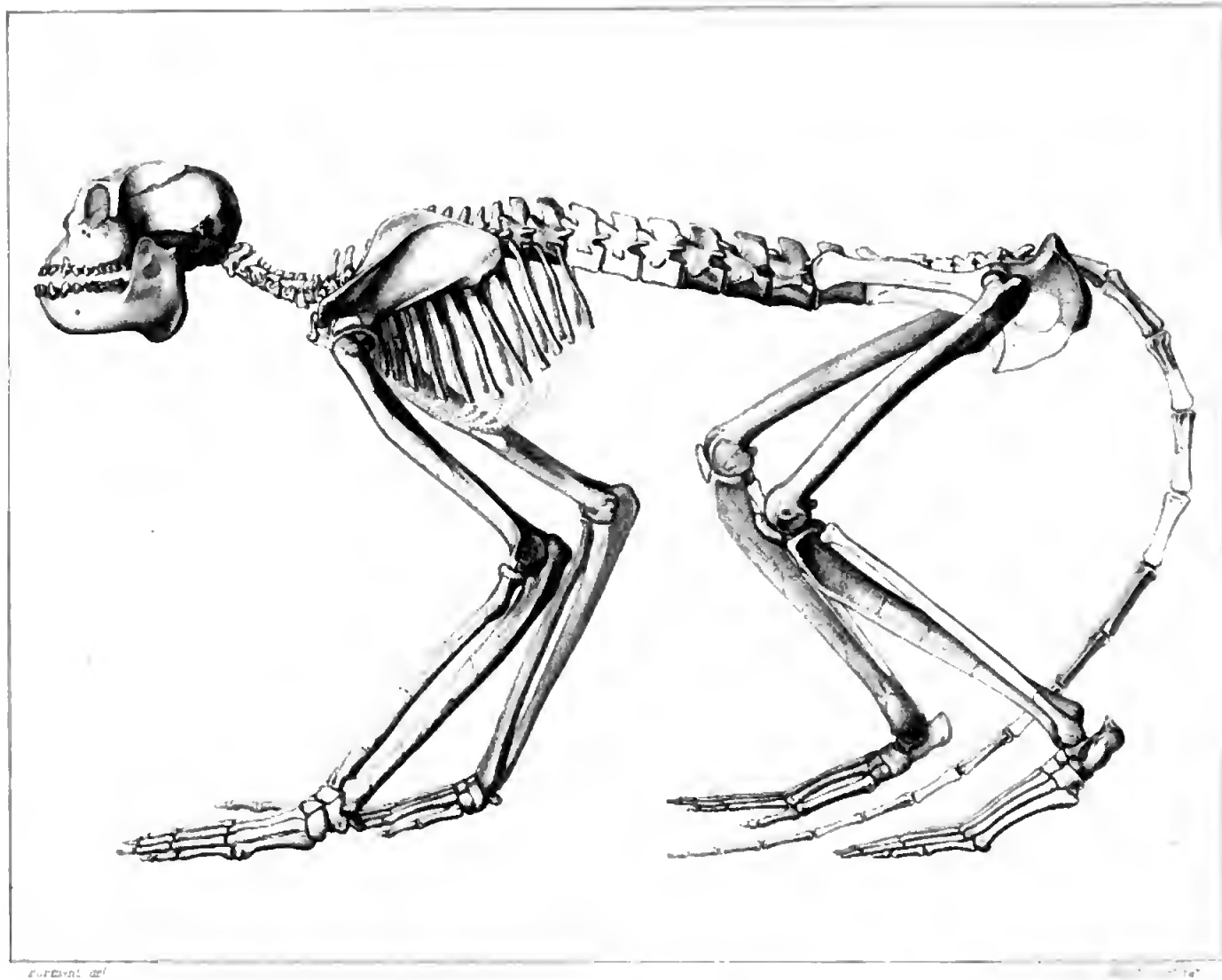

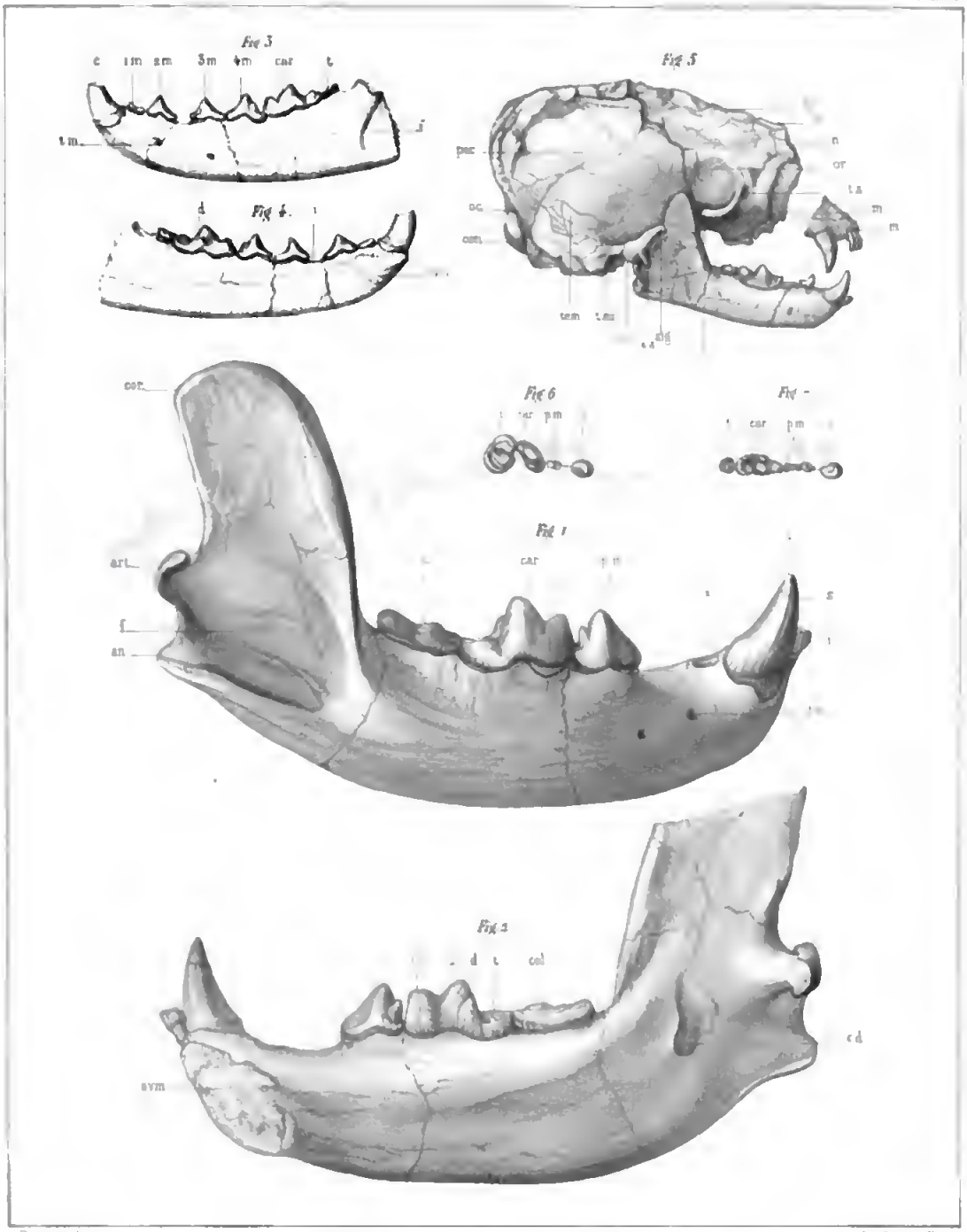

Fig 1 et 2 Mesaretos Graphi
3 et 4 Mustela Pentelic.
5 et 6 Promephitus Larteti

(Grandeur naturelle)

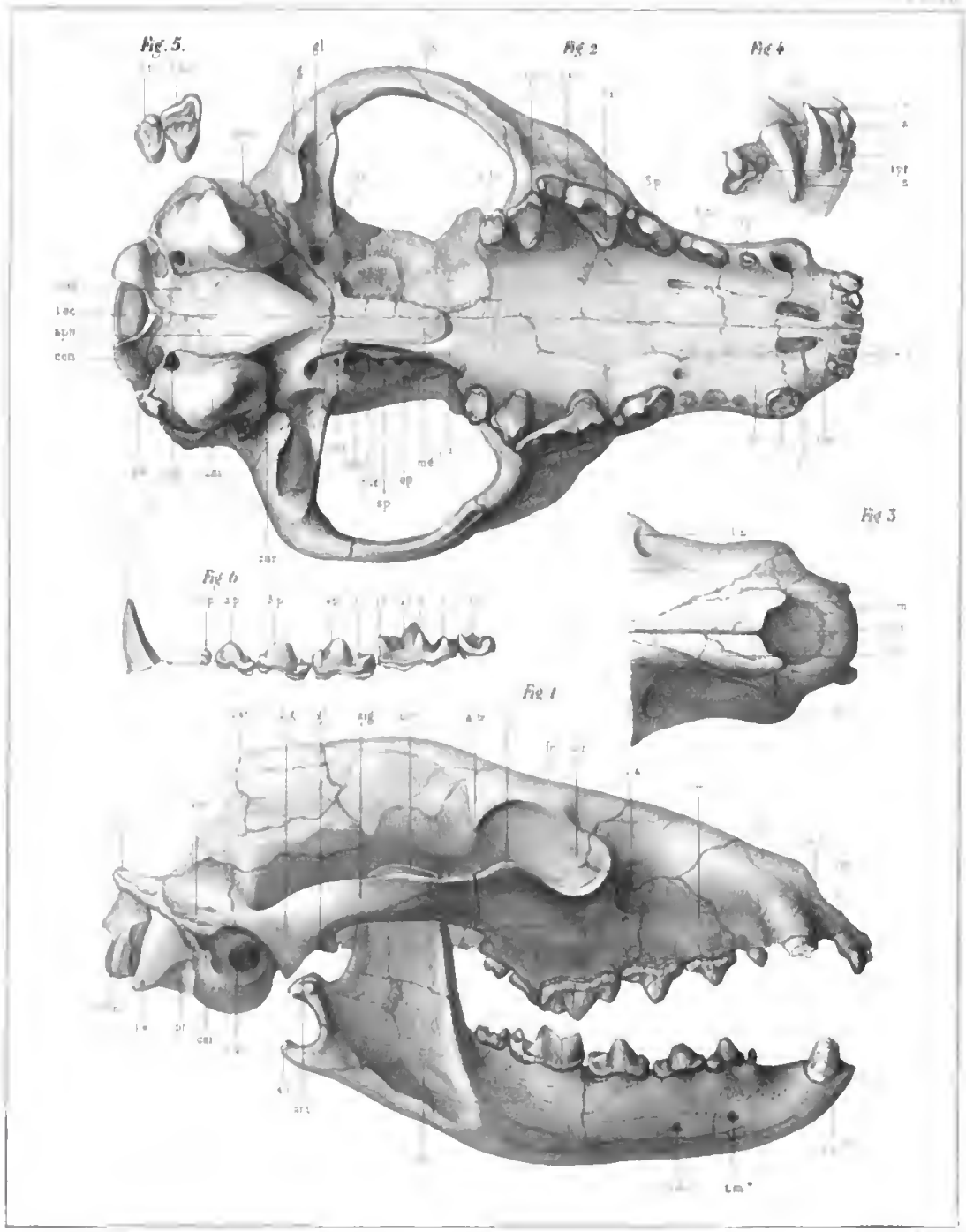

Grandeur naturelle

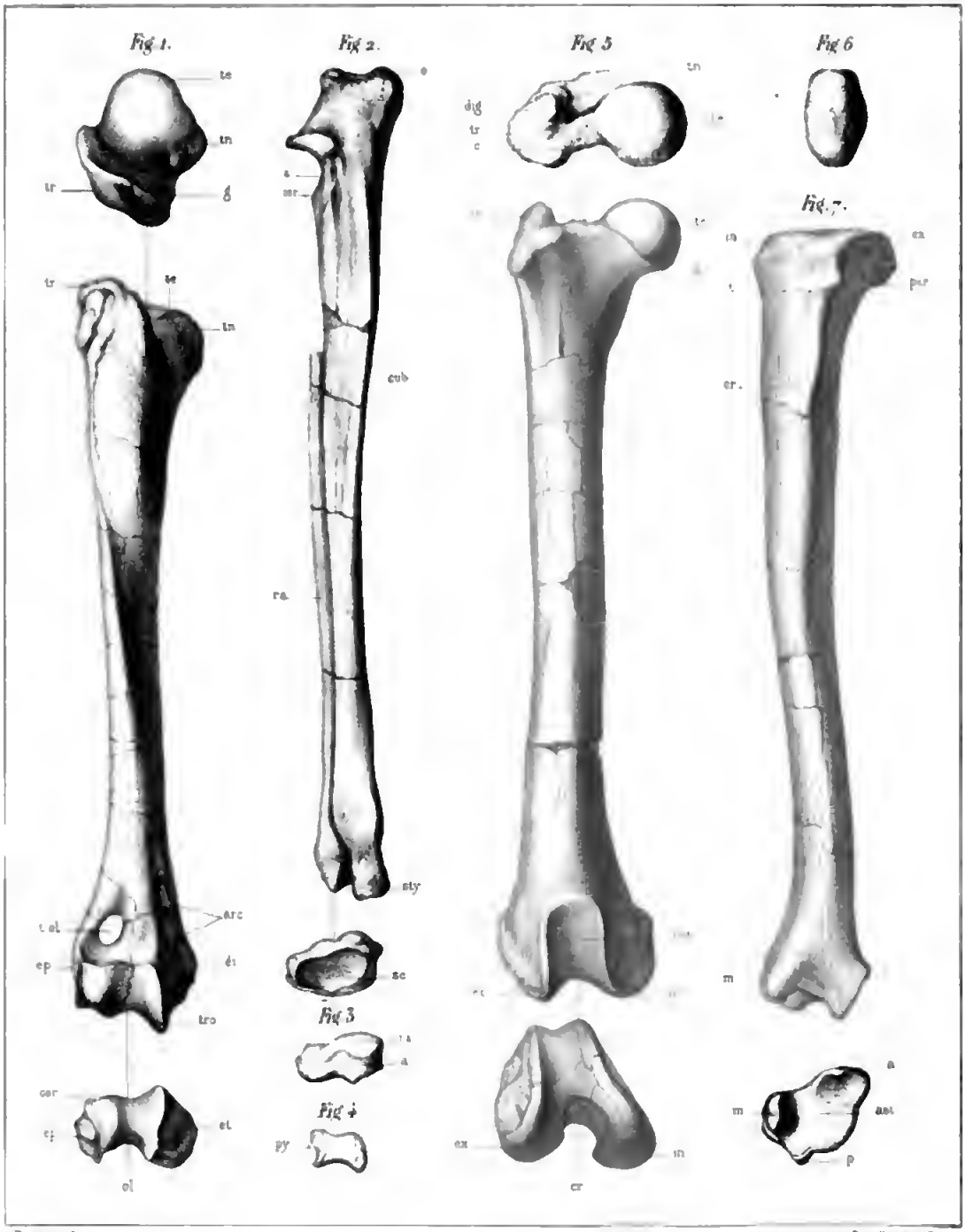

Formant de.

Imp. Becquet Fres

ictitherium robustum

Grandeur naturelle

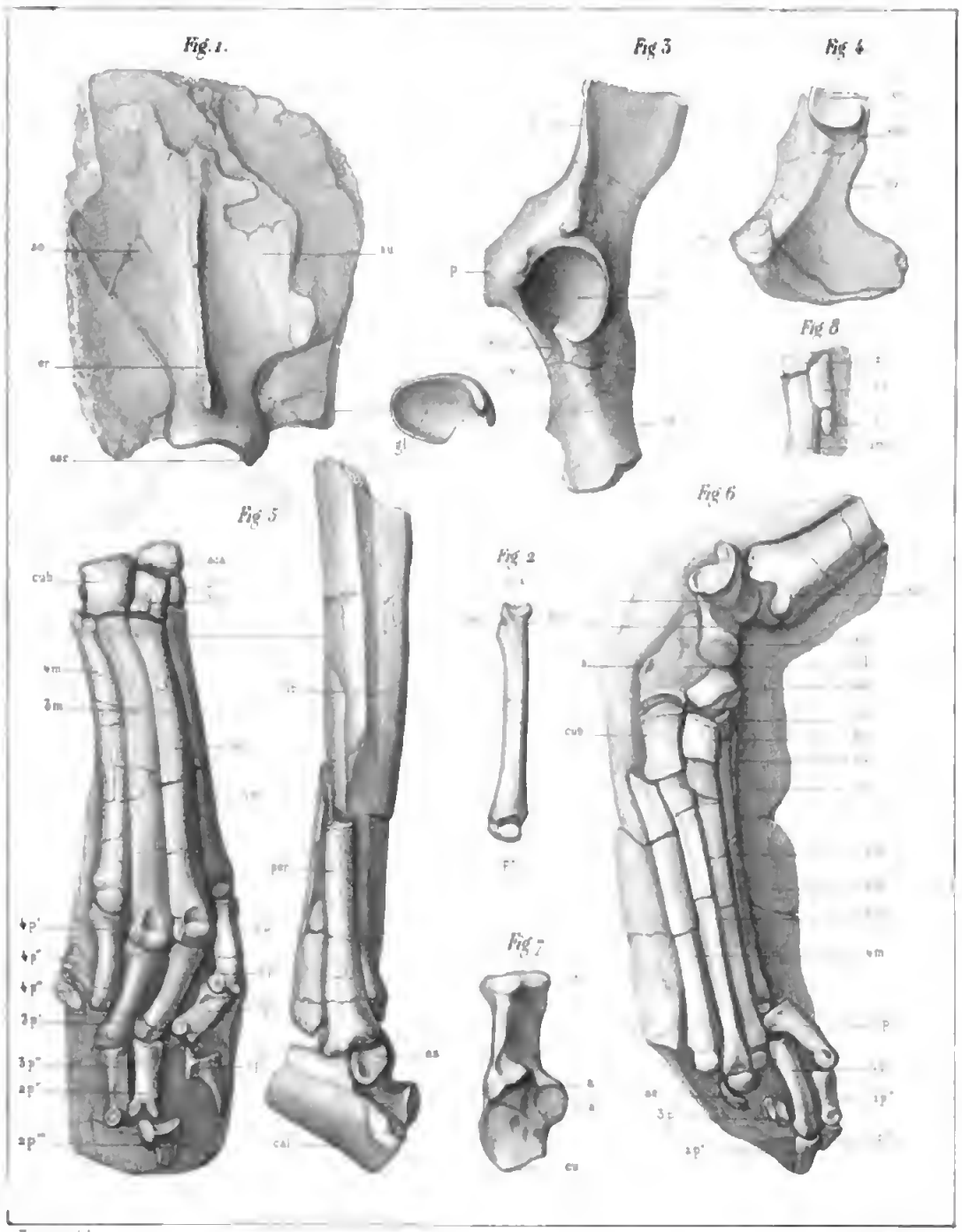

Formaux del

Imp Becquet Paris

Icticebus robustus

Grandeur naturelle

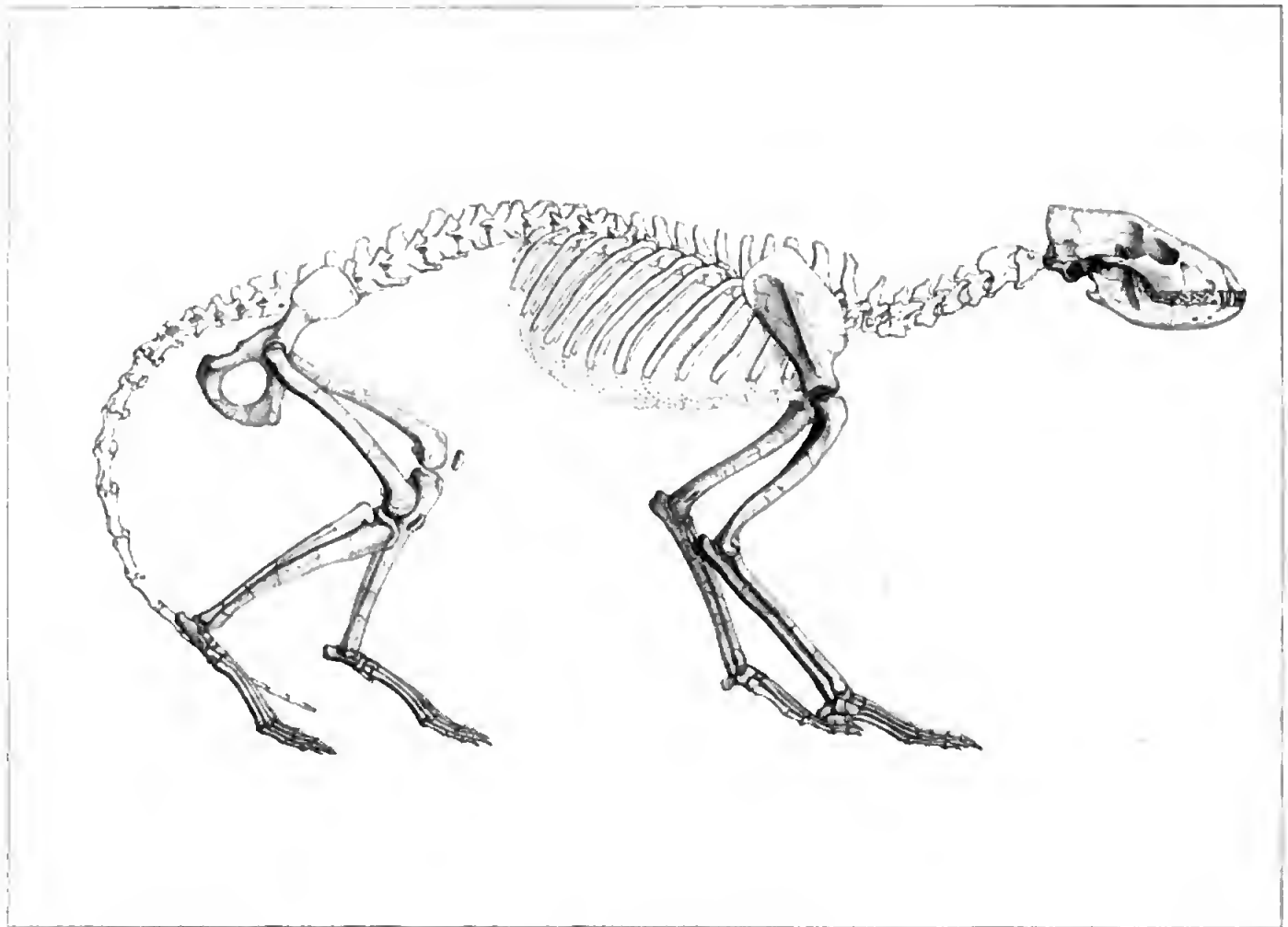

Petit ainé del.

Imp Benard Paris

Lithrotium robustum

1/6 de la grandeur naturelle

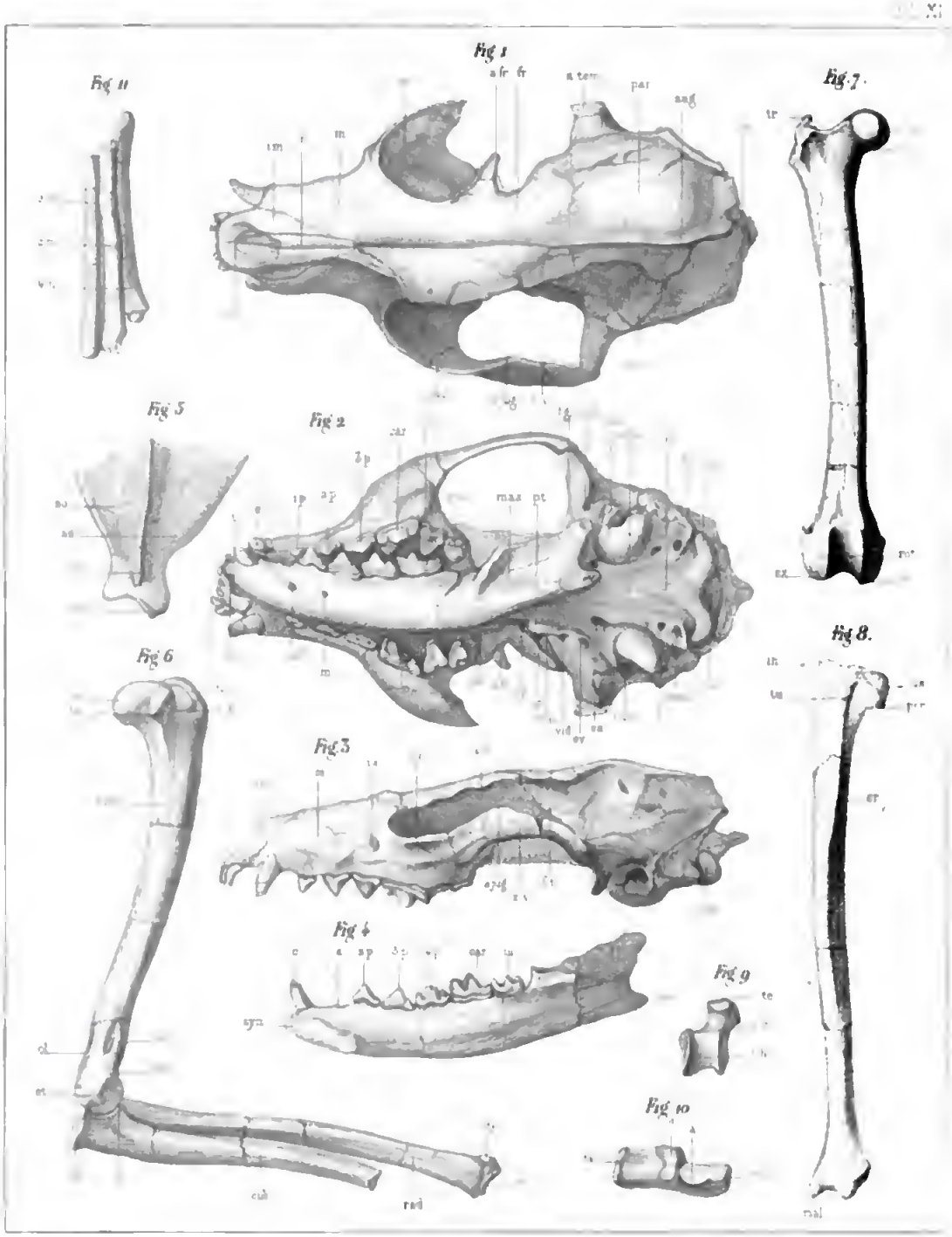

Ictitherium Orbigny: *Gaud*

Grandeur naturelle

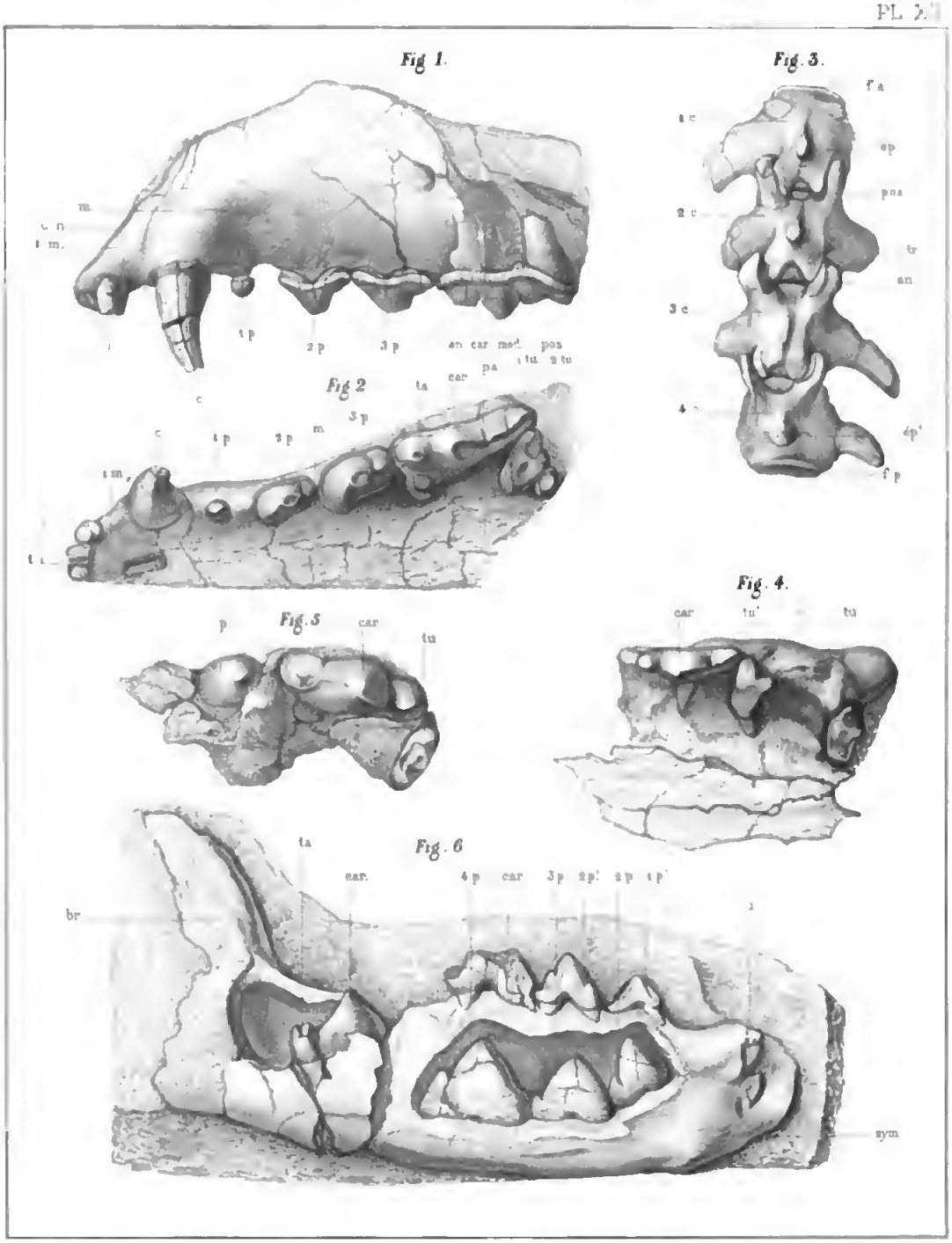

Formant del

Imp Becquet Paris

Fig. 1.2.3 Ictitherium hipparionum. *Gaud.*

Fig 4.5.6 Hyæna eximia. *Roth et Wagn*

Grandeur naturelle

Digitized by Google

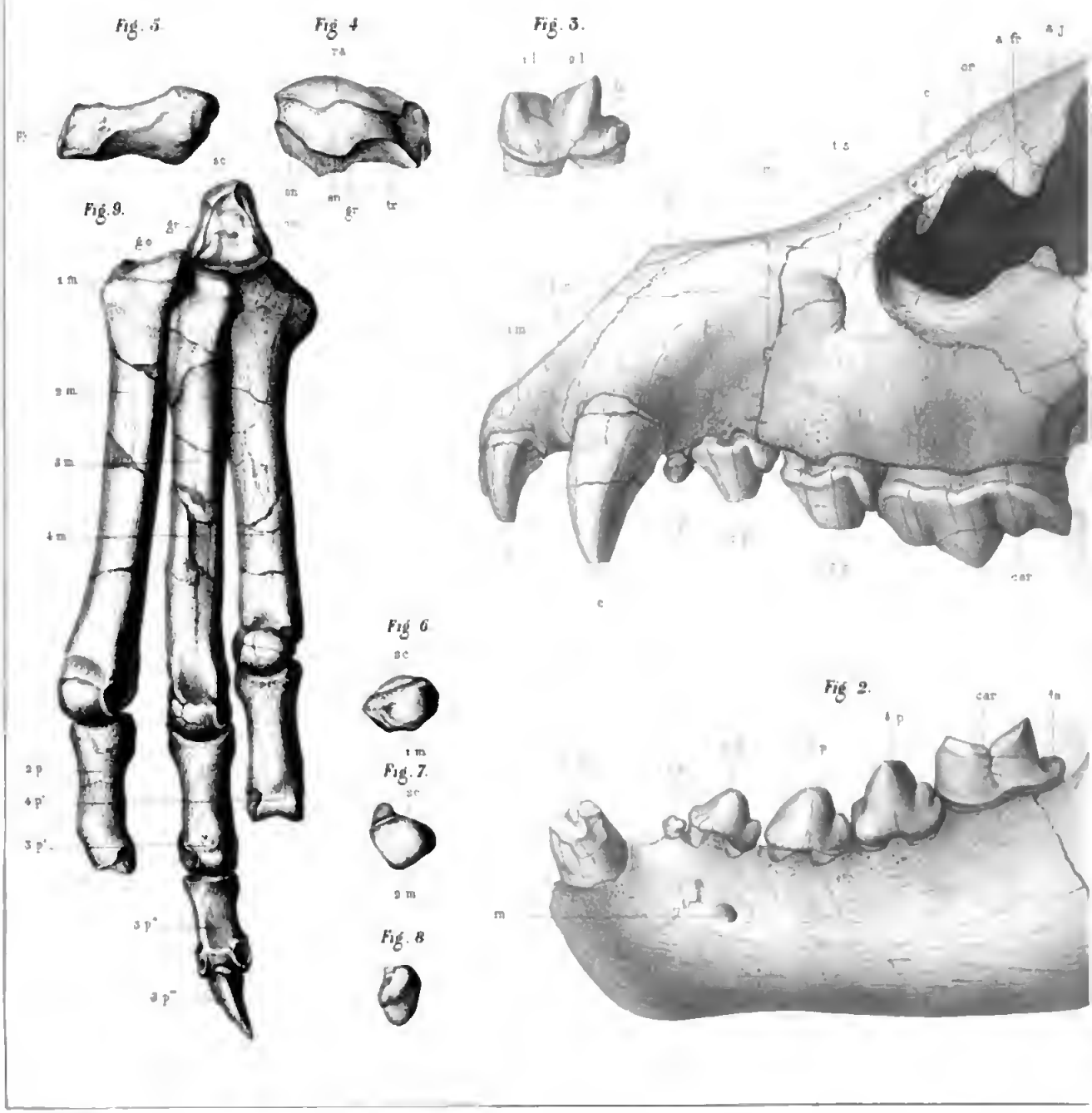

Formant. del.

Hyæna exim

Grandeur

Digitized by Google

Fig 1.

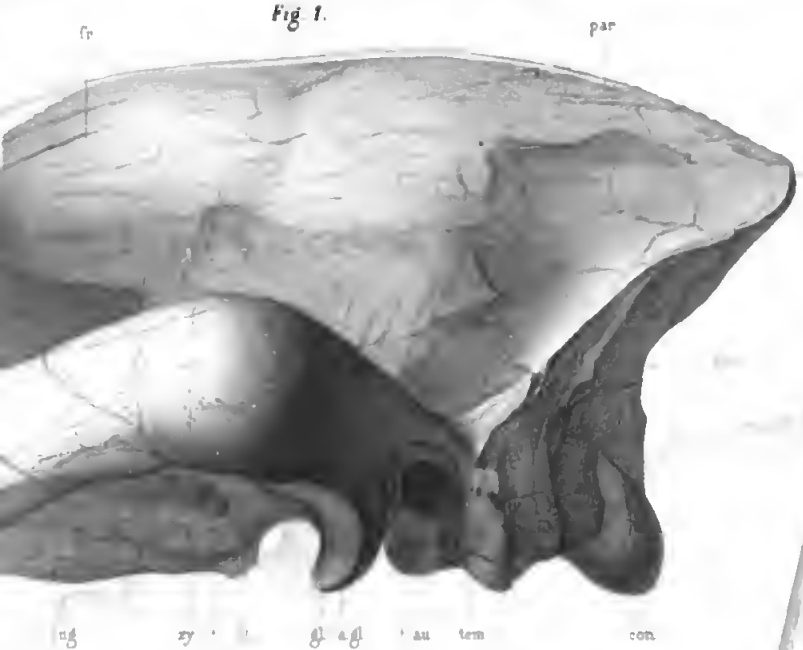

Fig 10

Fig 11

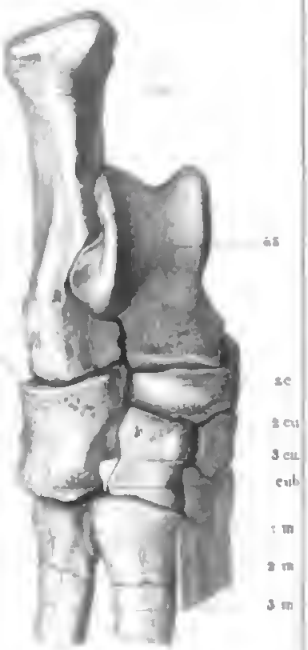

Fig 12

Imp. Becquet Frères

Roth. et Wagn.

aturelle

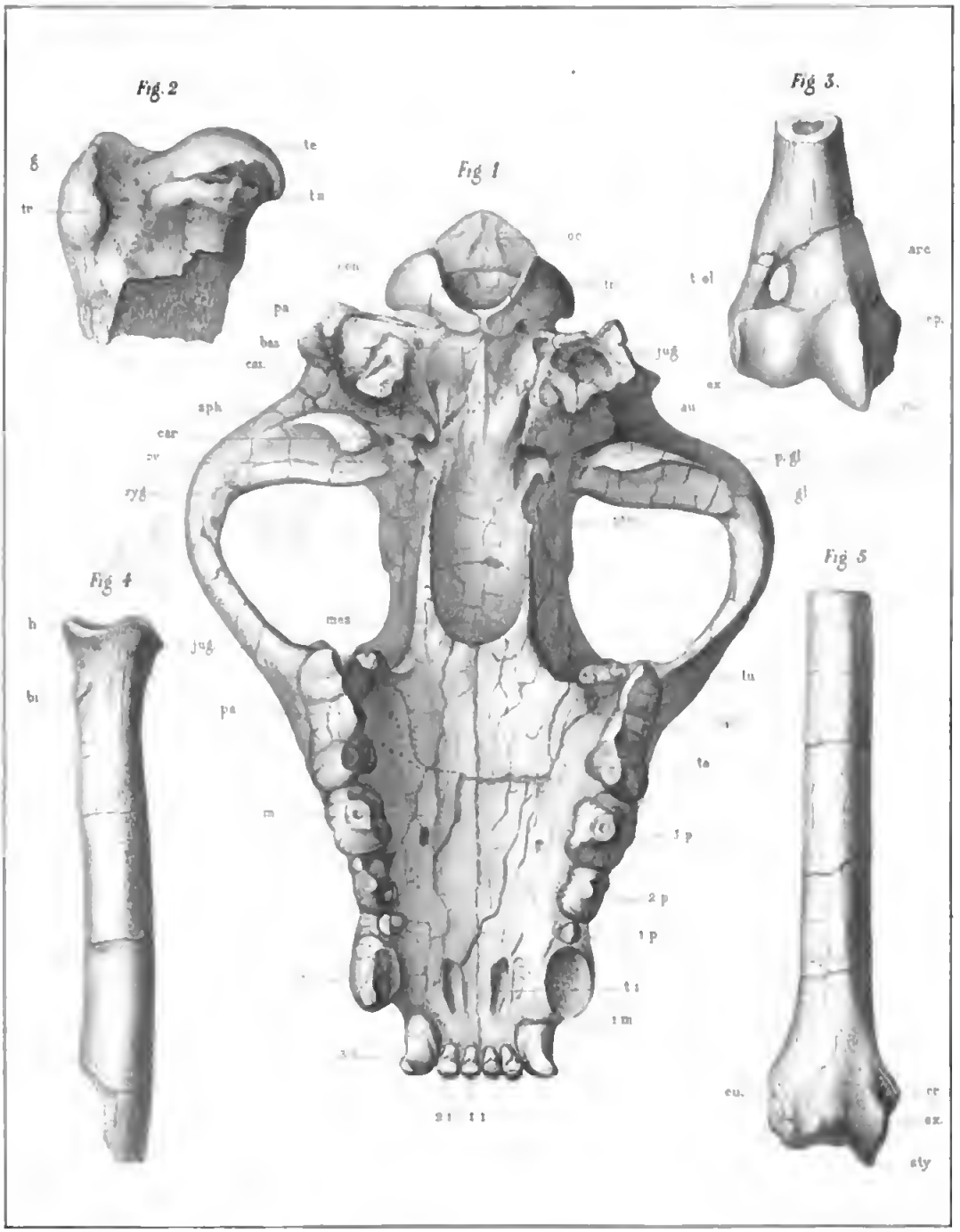

Formant dol *Imp Becquet Paris*

Hyæna eximia.

au $\frac{2}{3}$ de la grandeur naturelle

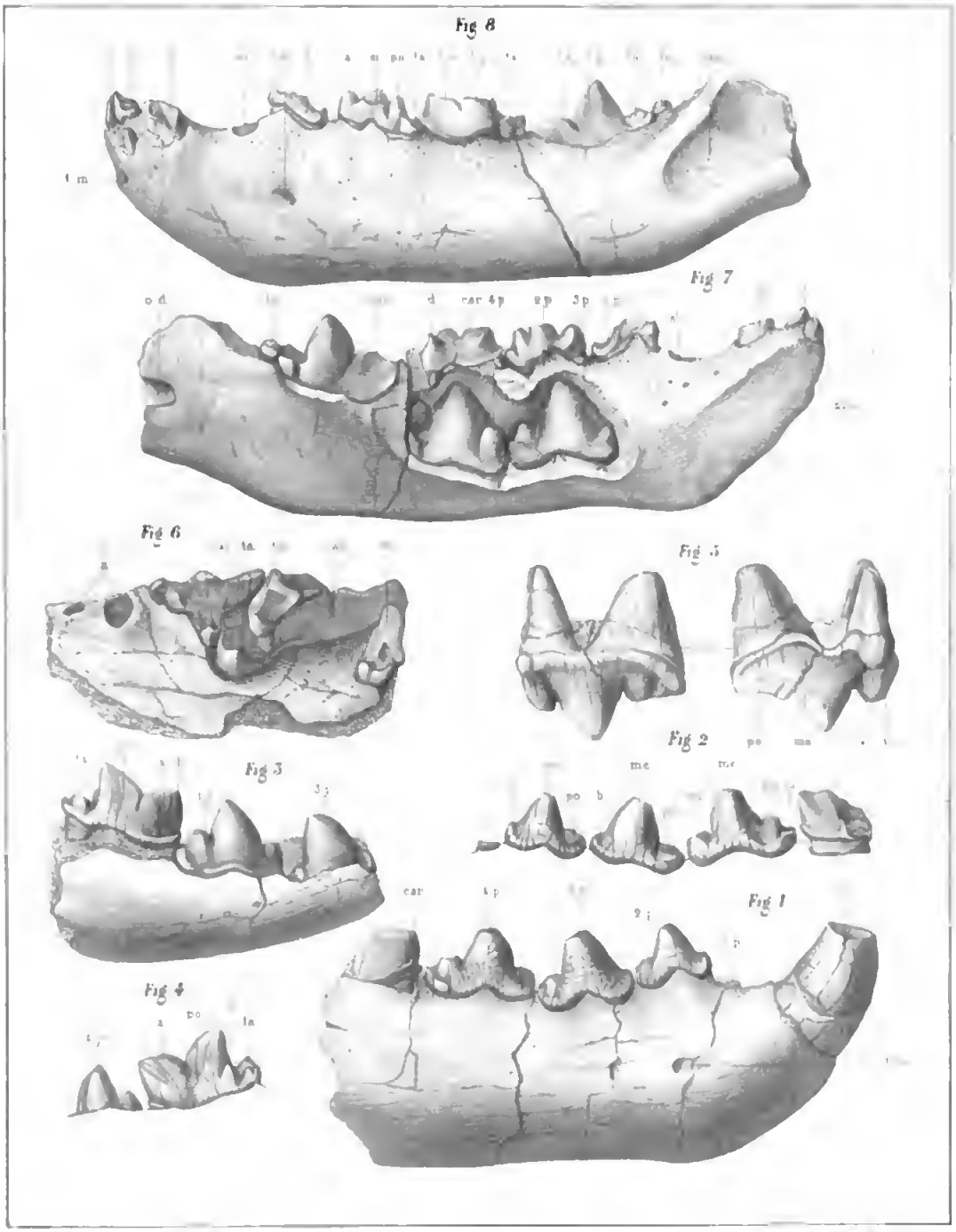

Fig 1.2.3.4.5 Hyæna Chærelis Gaud et Lart
Fig 6.7.8 Hyænictis græca Gaud

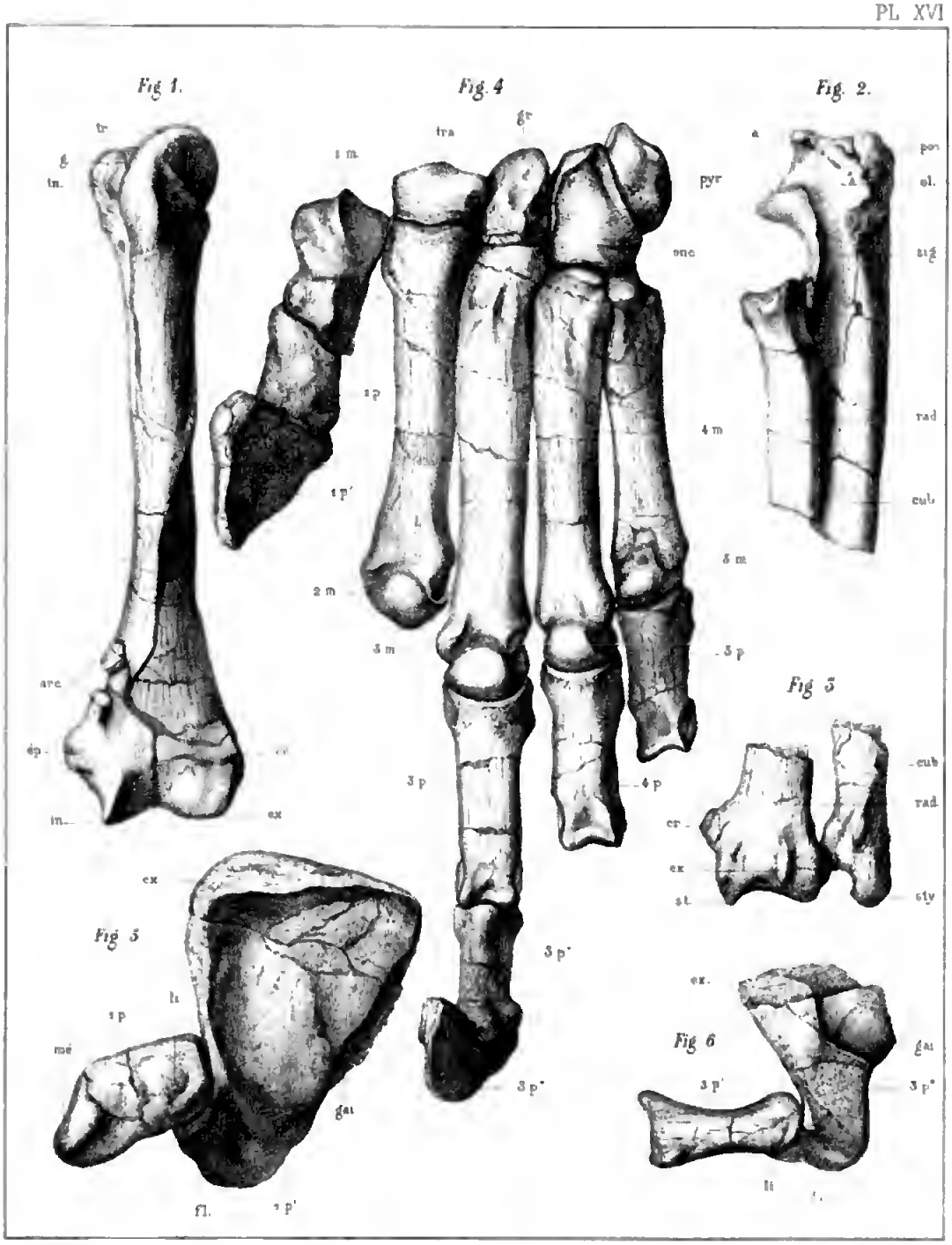

Formant del

Imp. Bernard Paris

Machairodus cultridens *Kaup*

Fig 1, 2 et 3 au $\frac{2}{3}$ de la grandeur naturelle

Fig 4, au $\frac{3}{4}$ de la gr nat

Fig. 5 et 6 gr nat

Digitized by Google

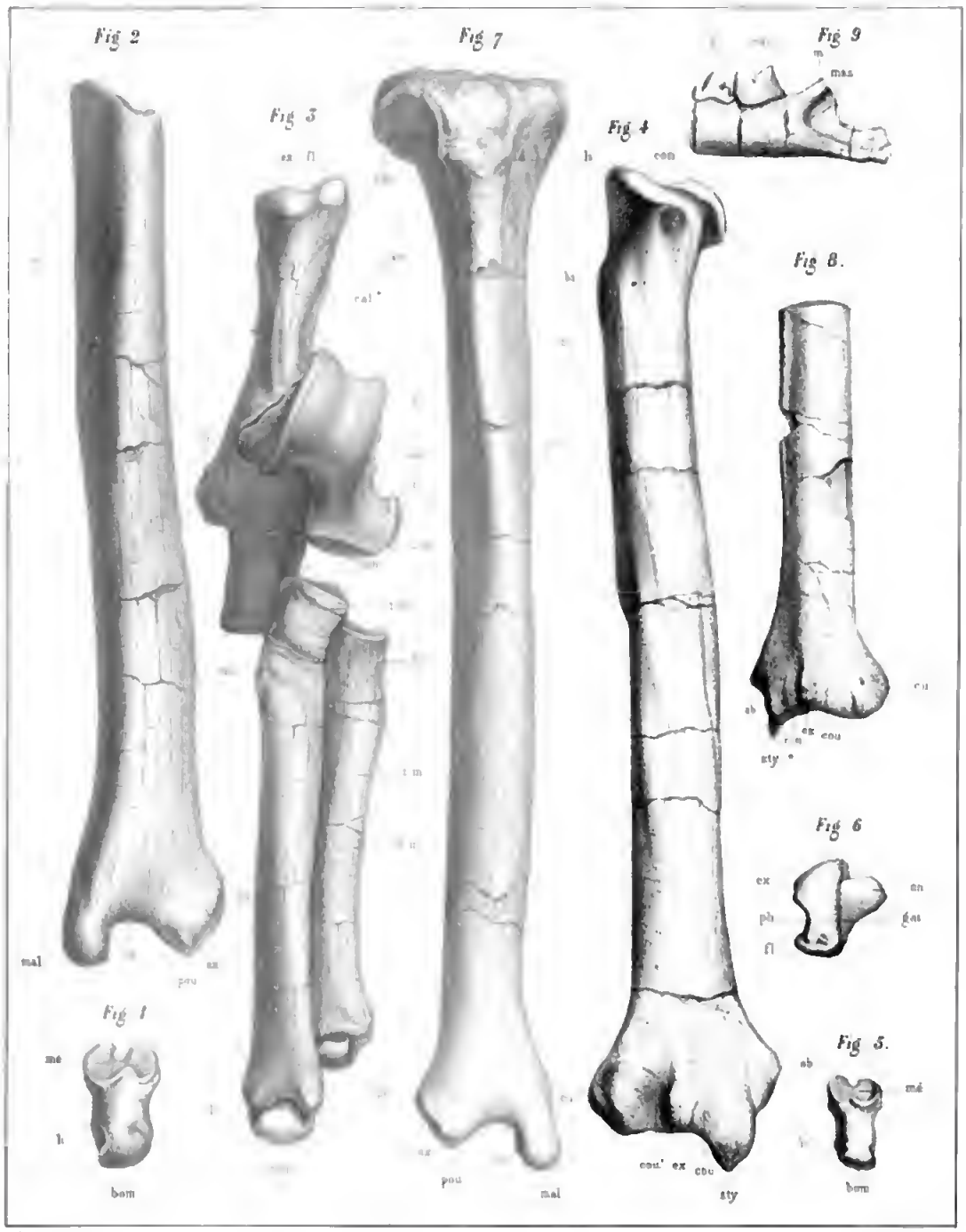

Formant del

Imp Becquet Paris

Diverses especes de la famille des chats

Fig 1 2 et 3 Premiere espèce | Fig 8 Troisième espece
Fig 4, 5 6 et 7 Seconde espece | Fig 9 Quatrieme espece.

Grandeur naturelle

Digitized by Google

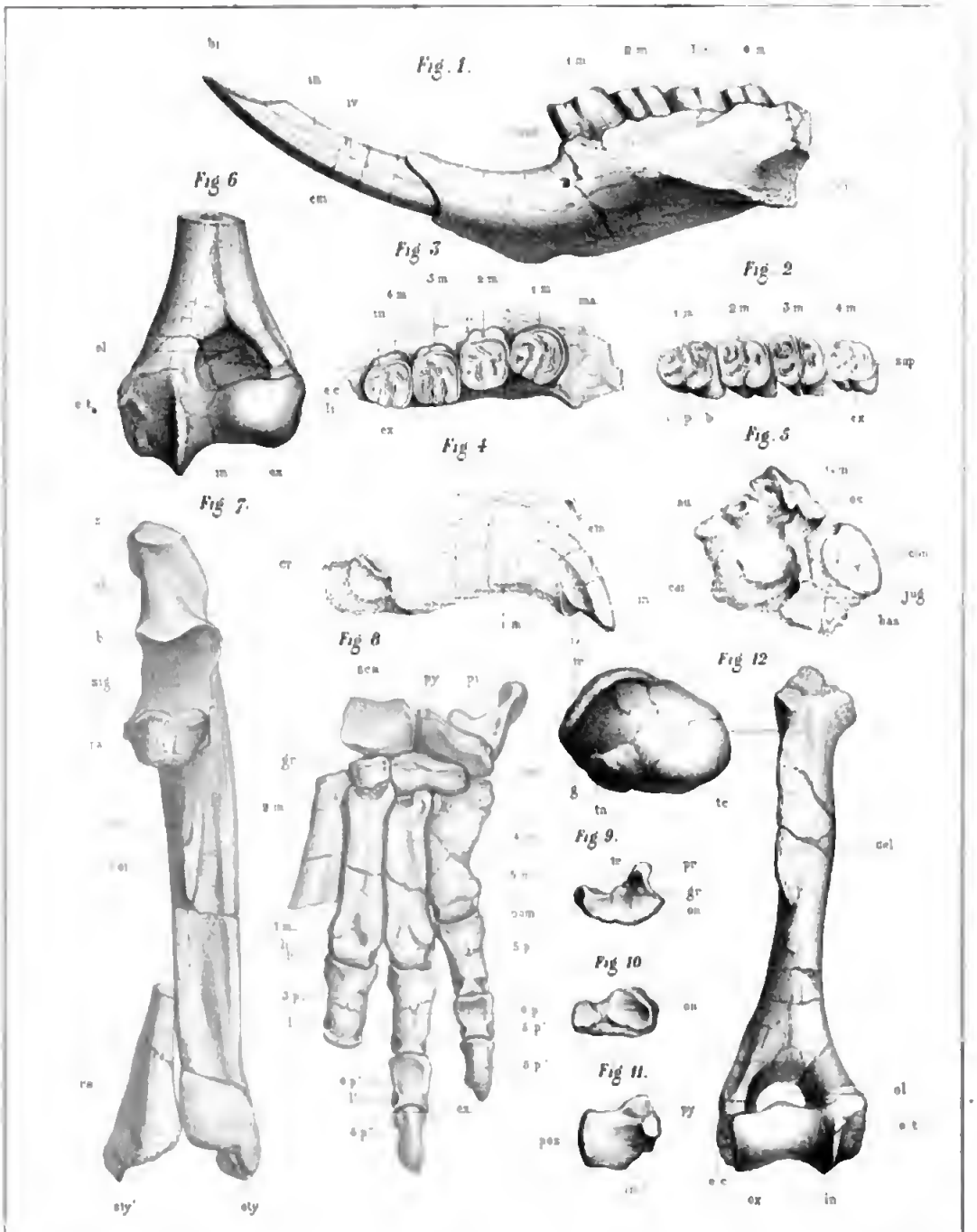

Formant del

Imp Becquet, Paris

Hystrix primigenia *Gaud et Lart*

Grandeur naturelle

Digitized by Google

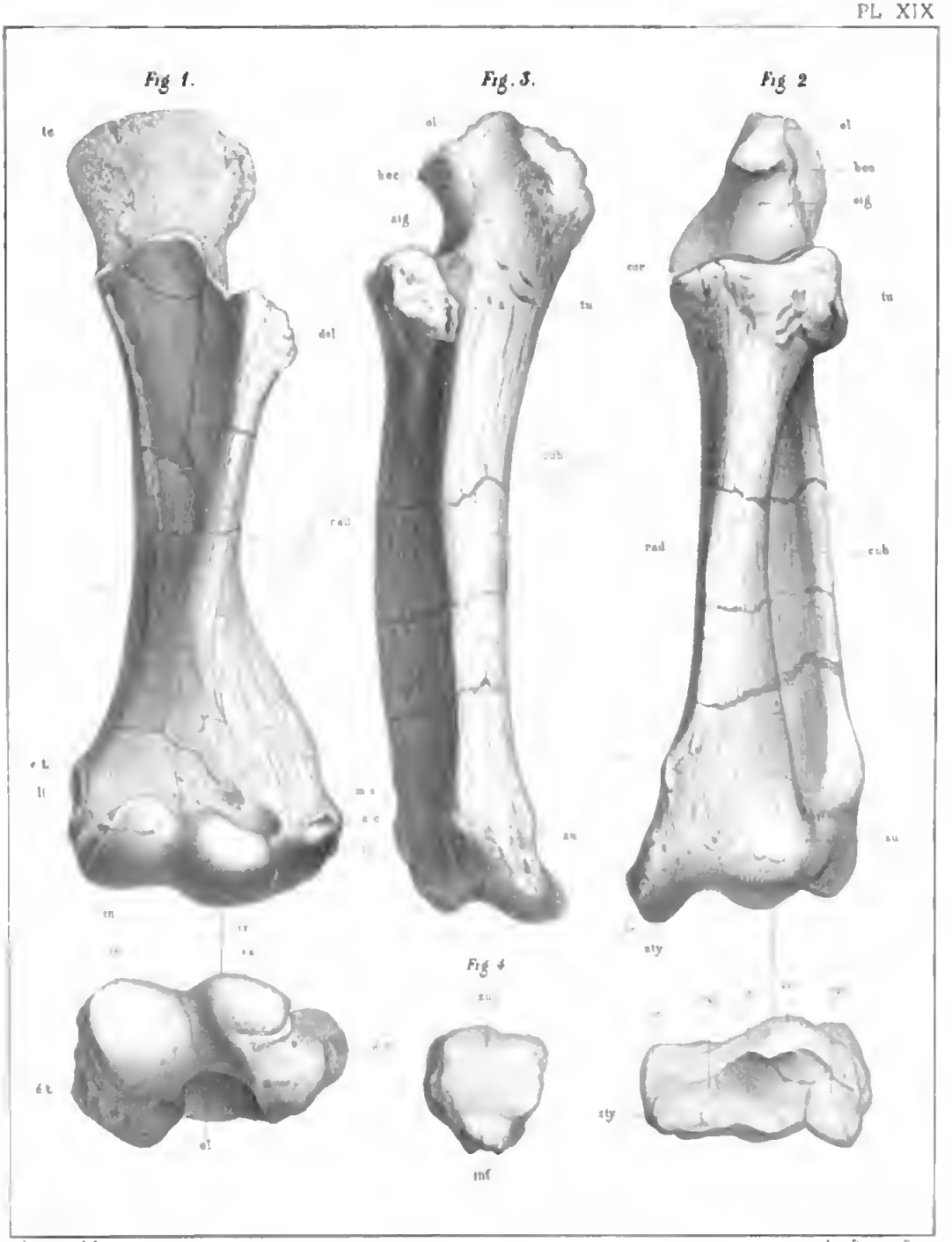

Formant del

Imp Becquet Paris

Nouveau genre d'édenté gigantesque.

au $\frac{1}{4}$ de la grandeur naturelle

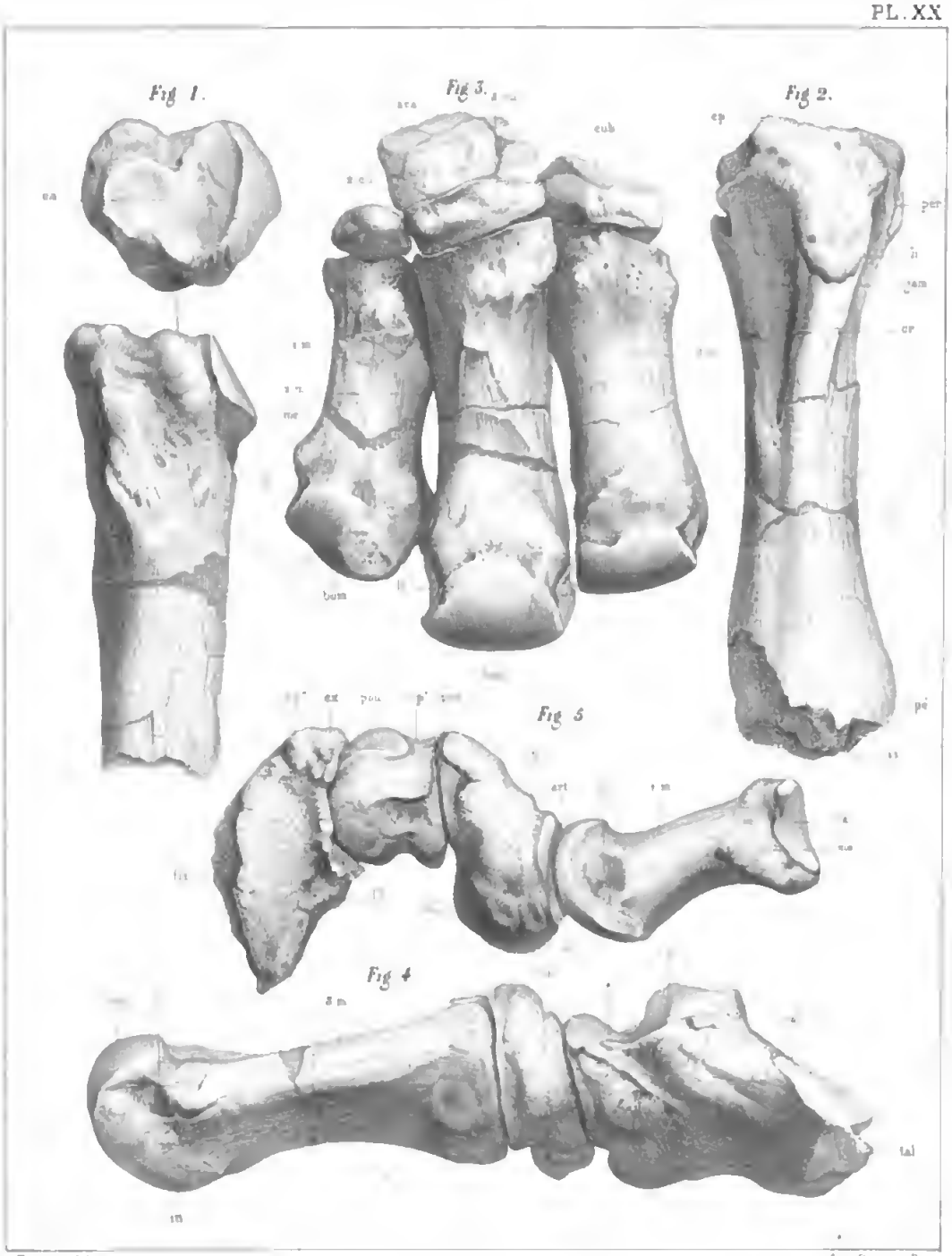

Nouveau genre d'édenté gigantesque.

Toutes les figures sont à $\frac{1}{2}$ grandeur sauf la figure 2 qui est au $\frac{1}{4}$

Digitized by Google

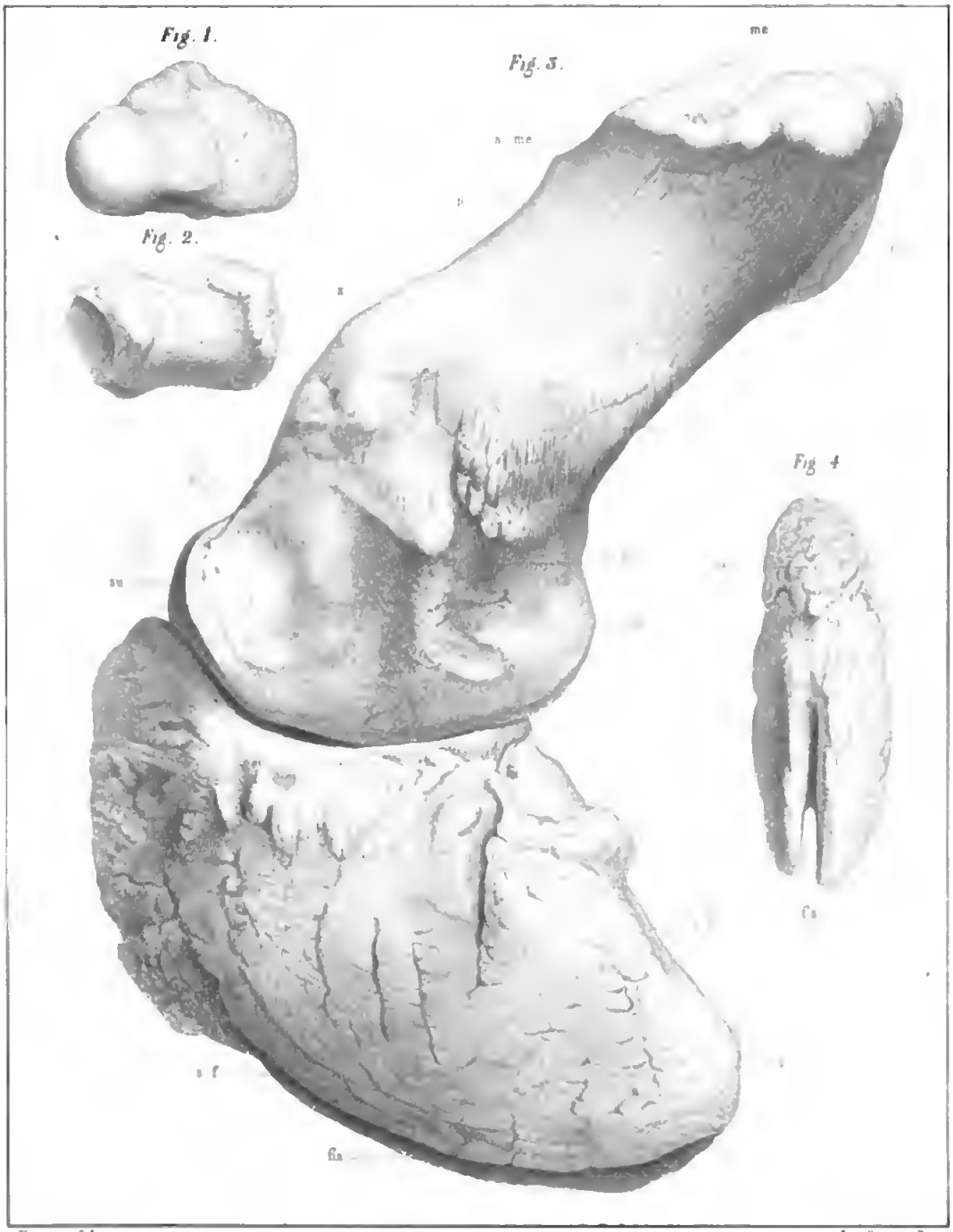

Nouveau genre d'édenté gigantesque.

Fig 1, 2, 4. à $\frac{1}{5}$ de la grandeur naturelle
Fig 3 gr nat

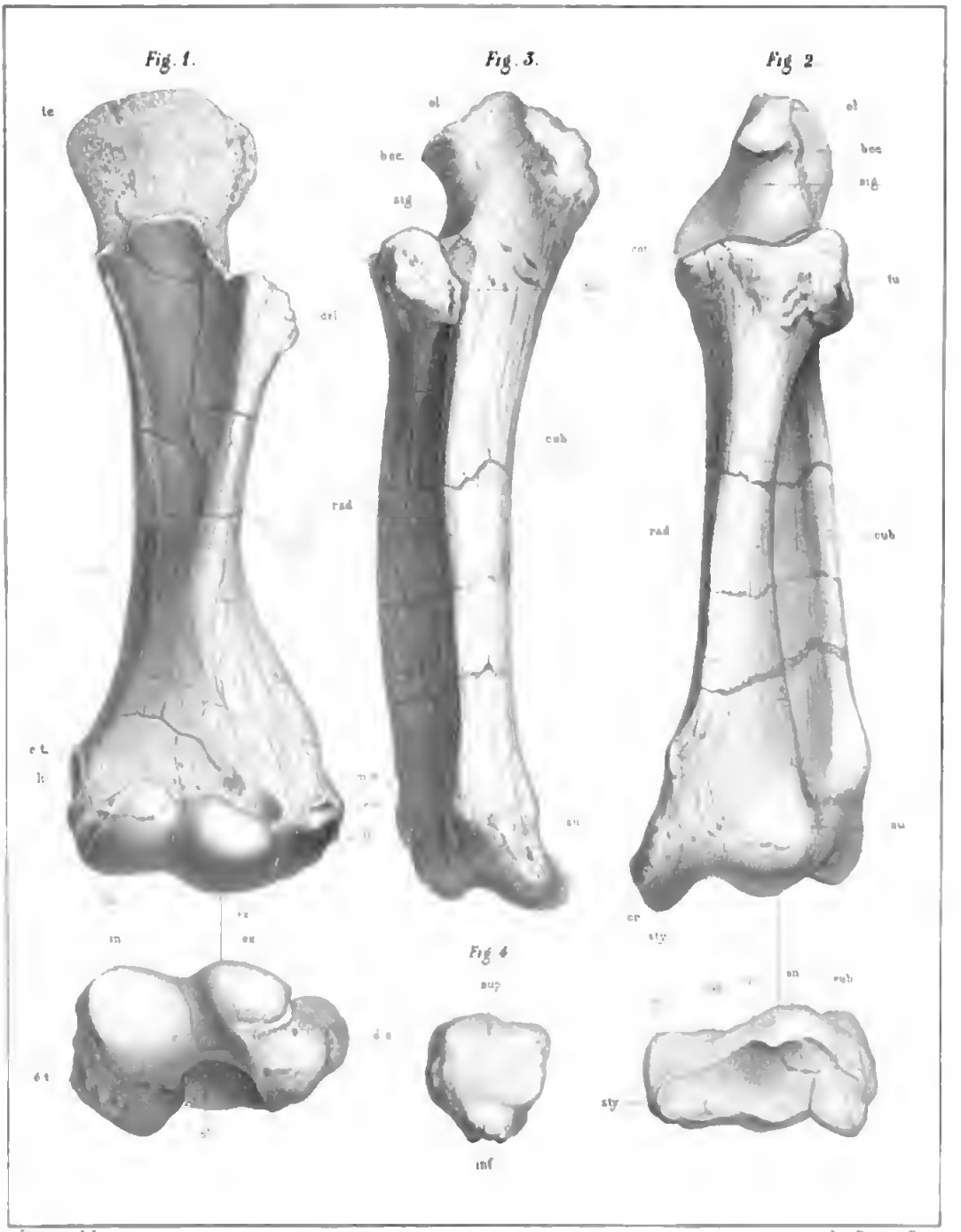

Nouveau genre d'édenté gigantesque.

au $\frac{1}{4}$ *de la grandeur naturelle*

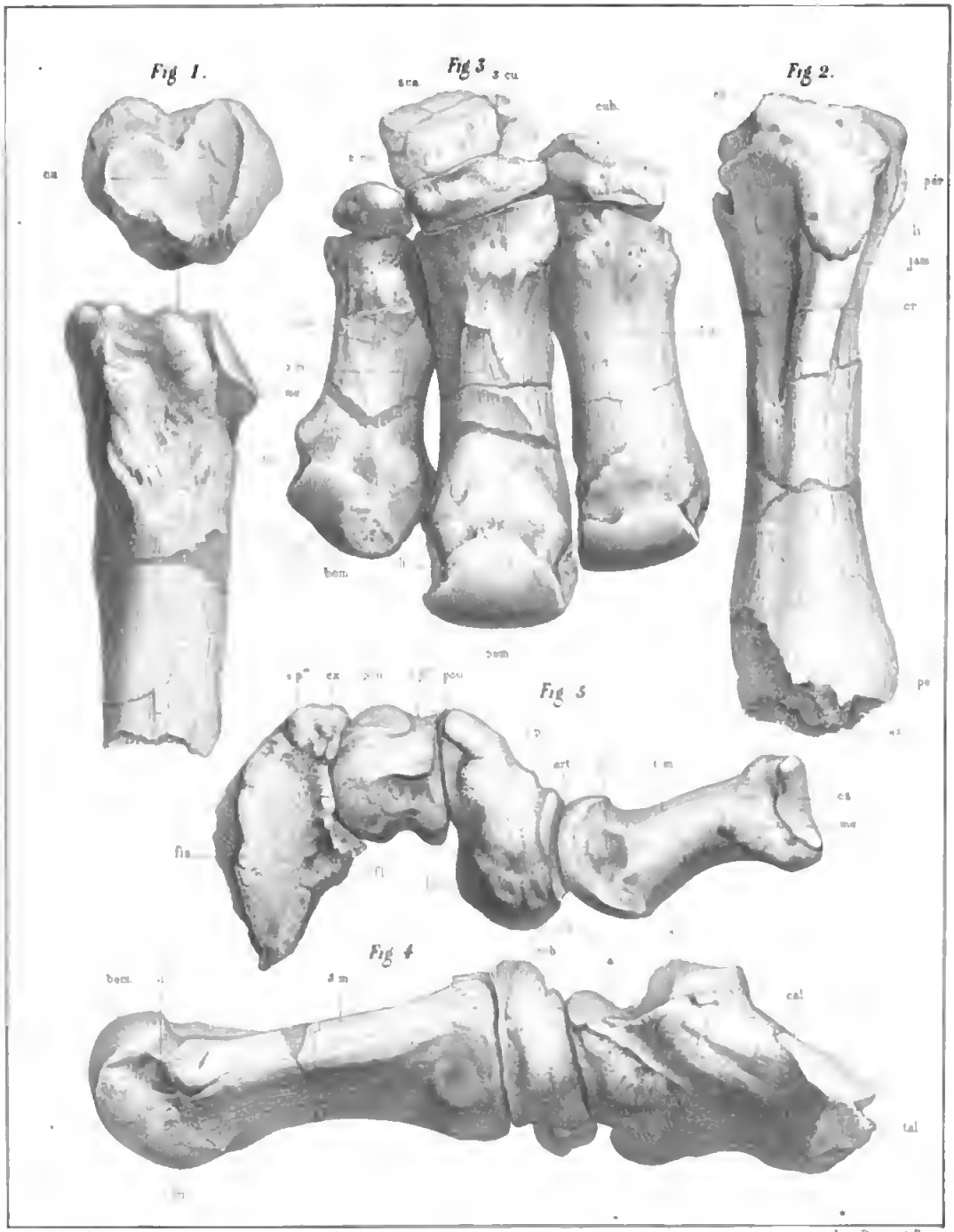

Nouveau genre d'édenté gigantesque

Toutes les figures sont à $\frac{1}{5}$ grandeur, sauf la figure 2 qui est au $\frac{1}{4}$

Digitized by Google

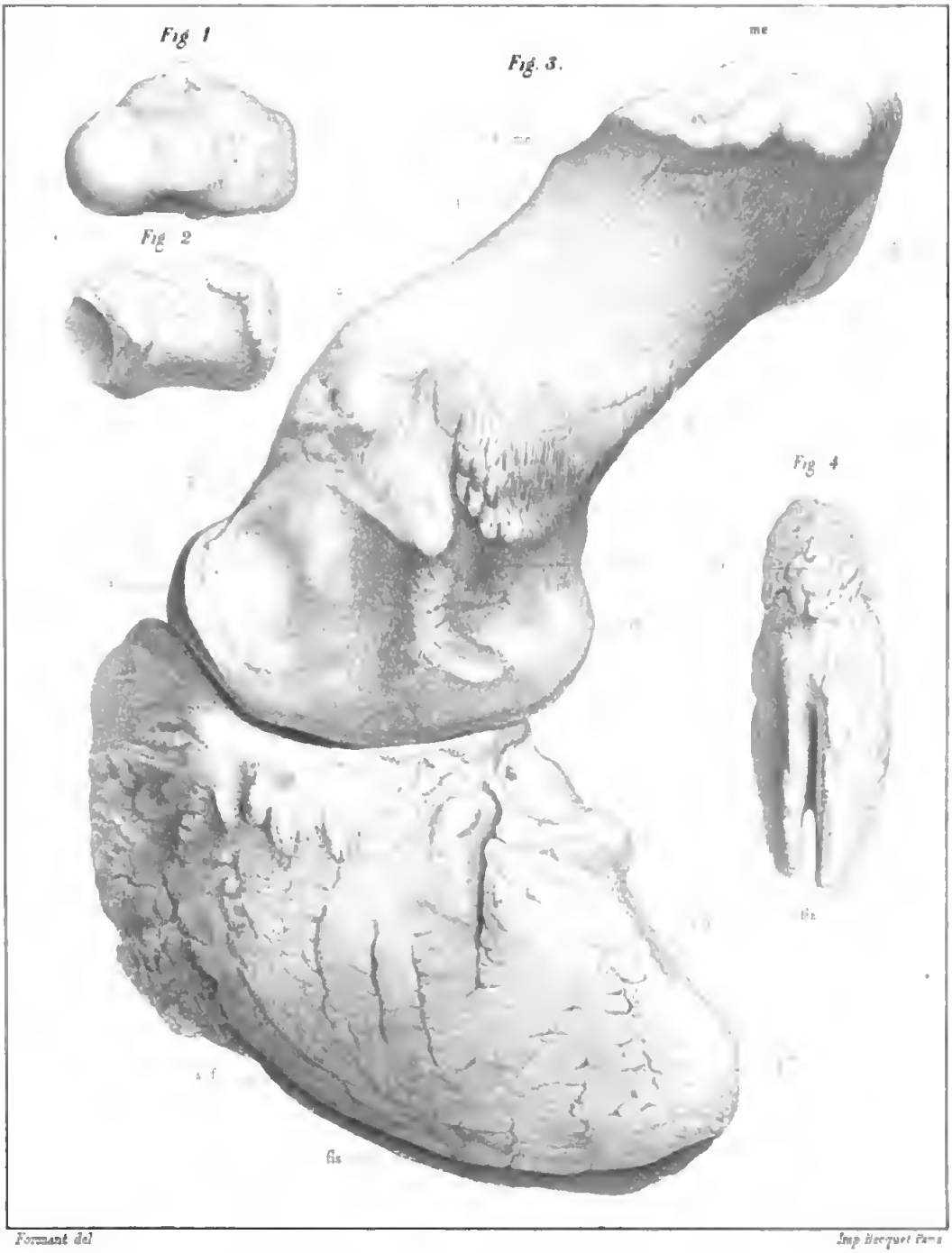

Nouveau genre d'édenté gigantesque.

Fig 1, 2, 4. à $\frac{1}{2}$ de la grandeur naturelle.
Fig 3 gr nat

Fig 2.

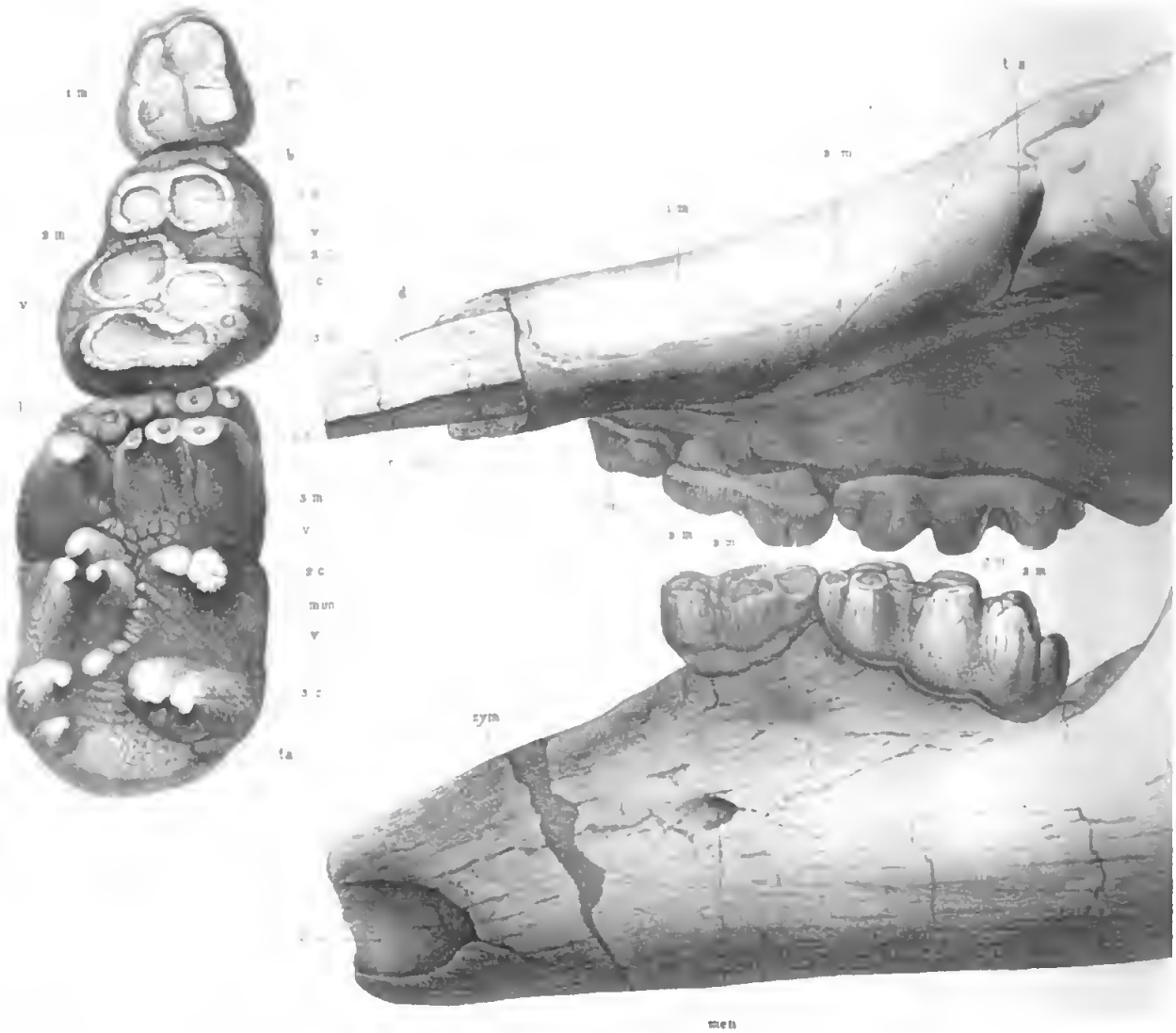

Fermaut del

Mastodon

Fig 1 aux $\frac{2}{3}$ de
Fig 2 et 3 gr

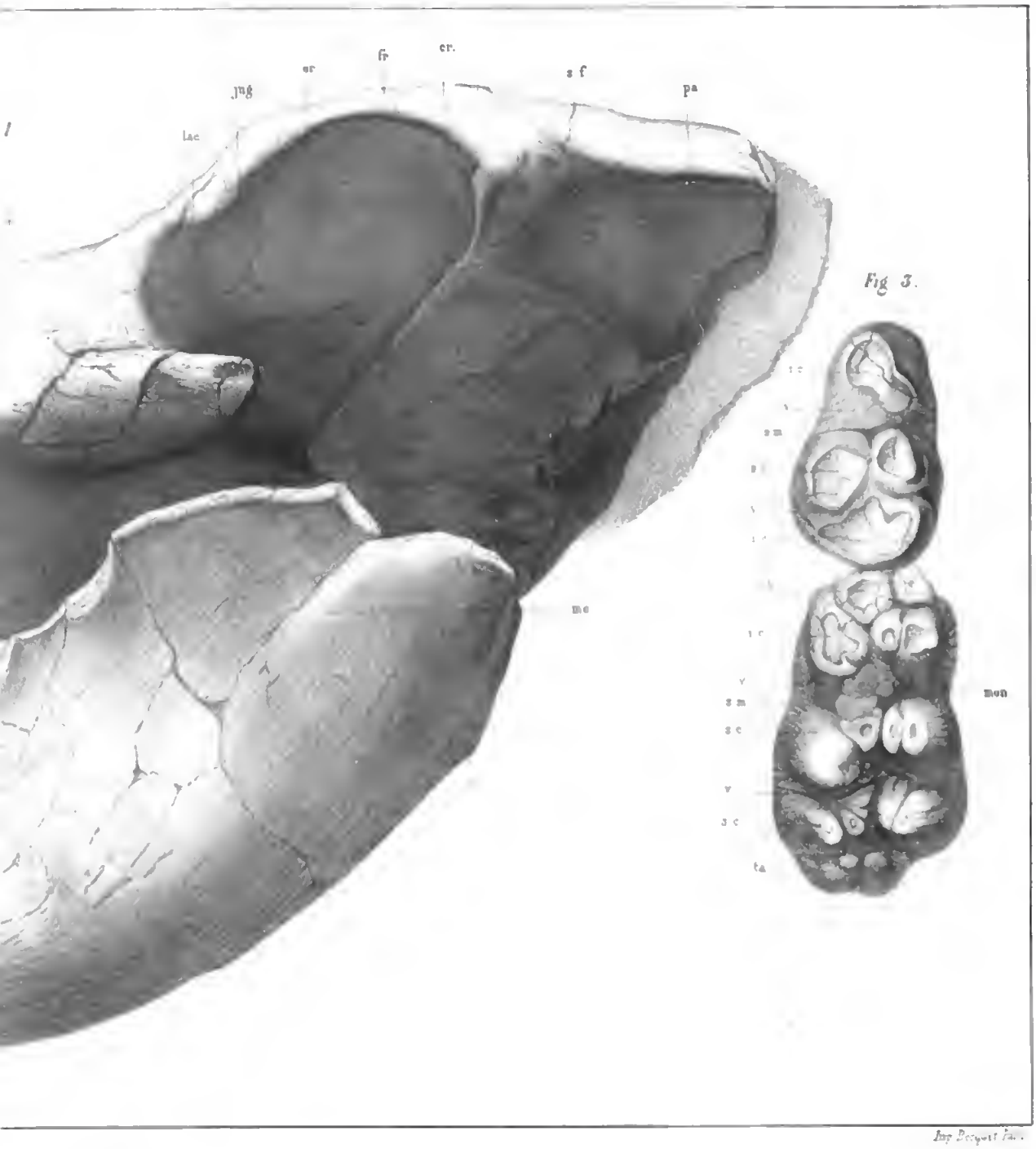

Fig. 3.

Imp. Becquet fils.

Gaud et Lart.

leur naturelle

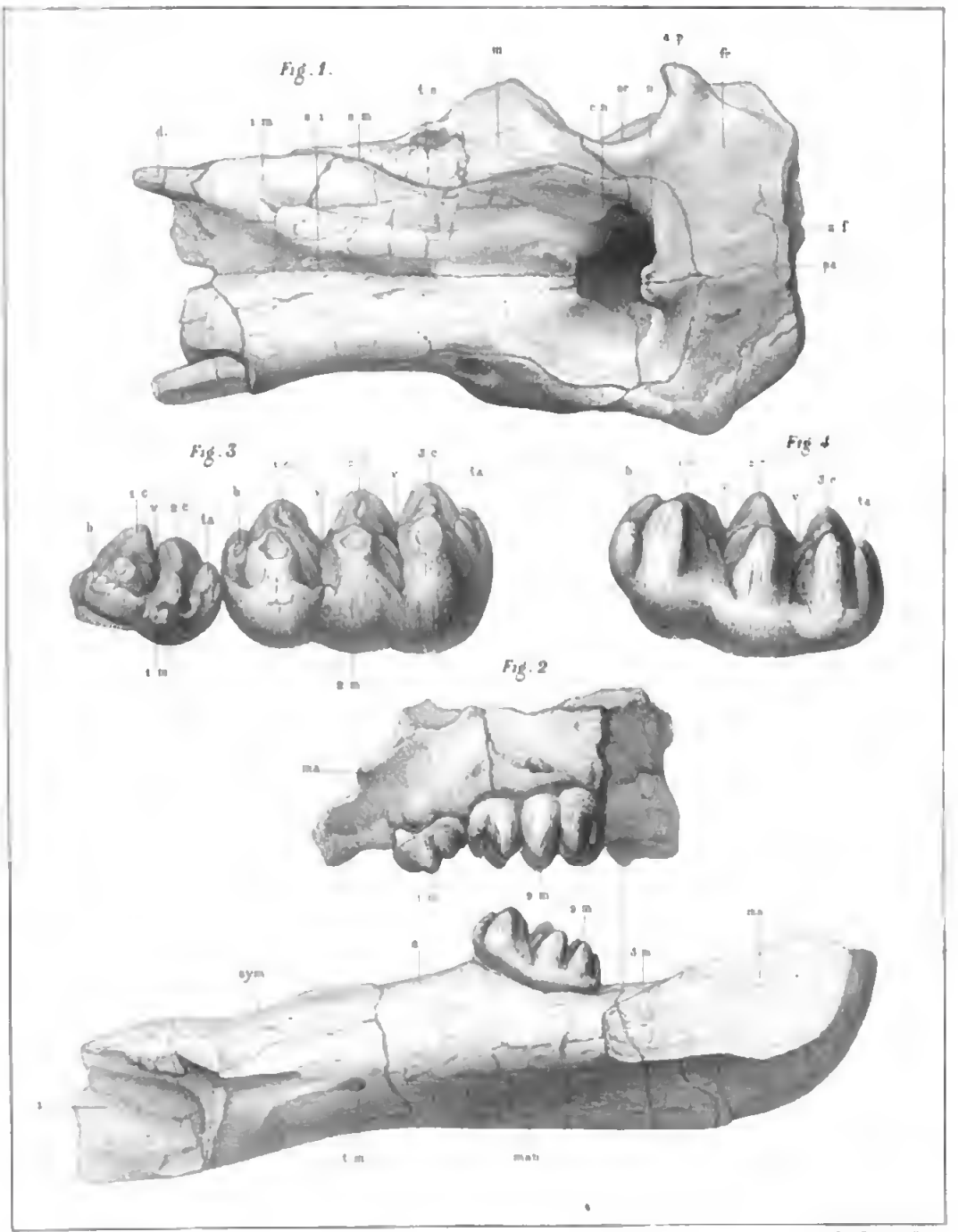

Mastodon Pentelici

Fig 1 au $\frac{1}{4}$ de la grandeur naturelle
Fig 2 à $\frac{1}{5}$ de la gr nat
Fig 3 et 4 gr nat

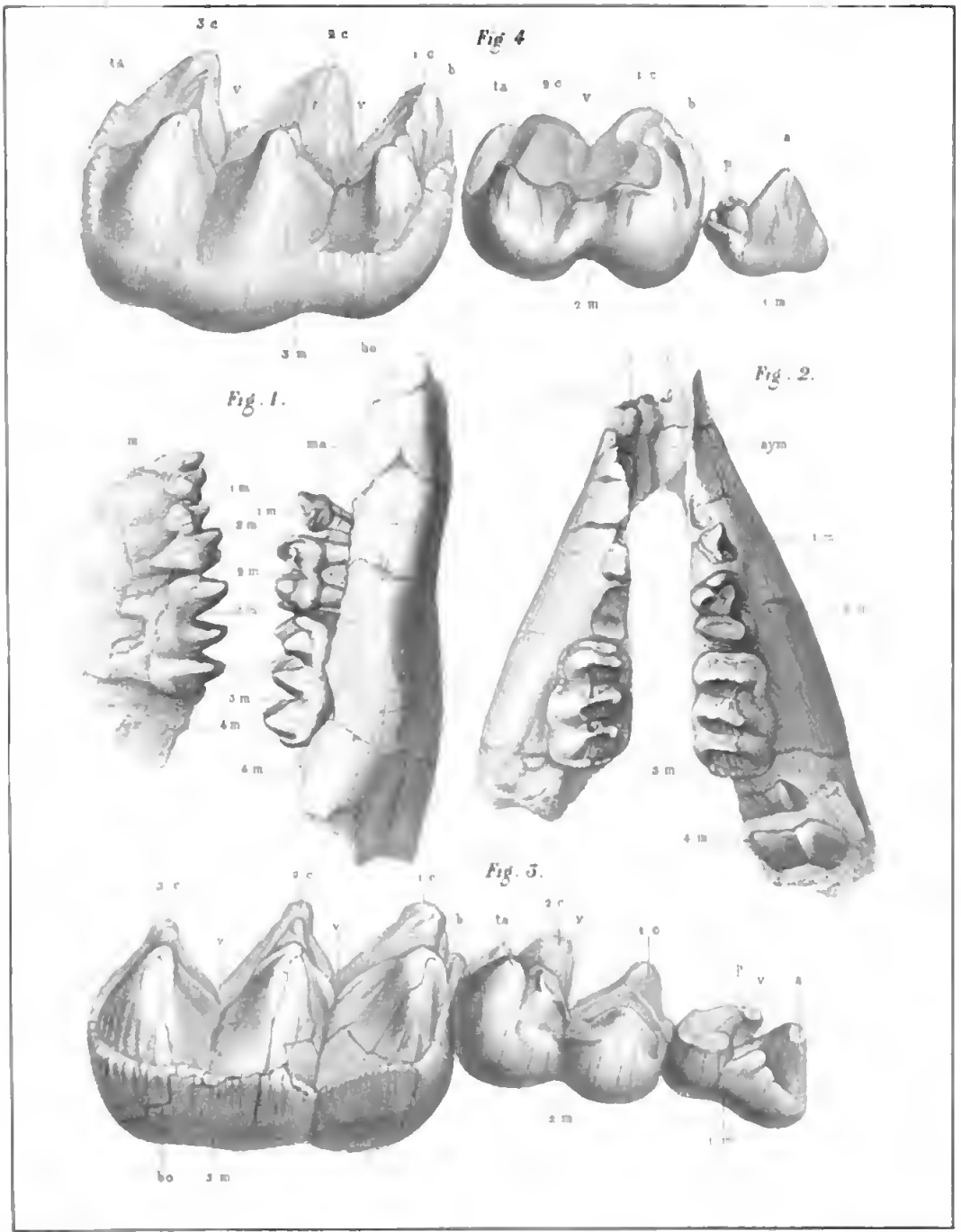

Mastodon turicensis . *Schinz*

Fig 1 et 2 au $\frac{1}{3}$ de la grandeur naturelle
Fig 3 et 4 gr nat

Digitized by Google

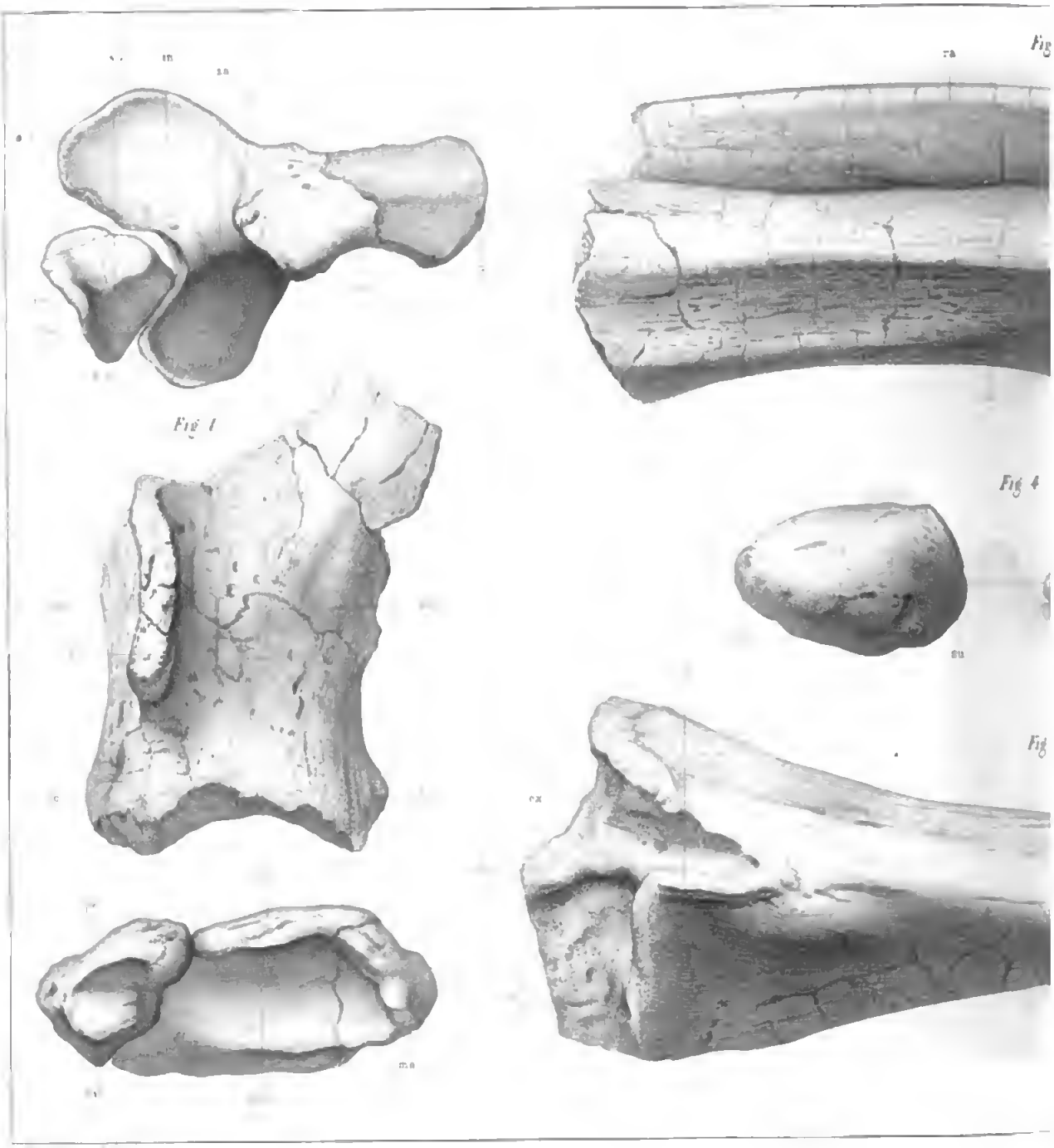

Fig. 1

Fig. 4

Fig. 3.

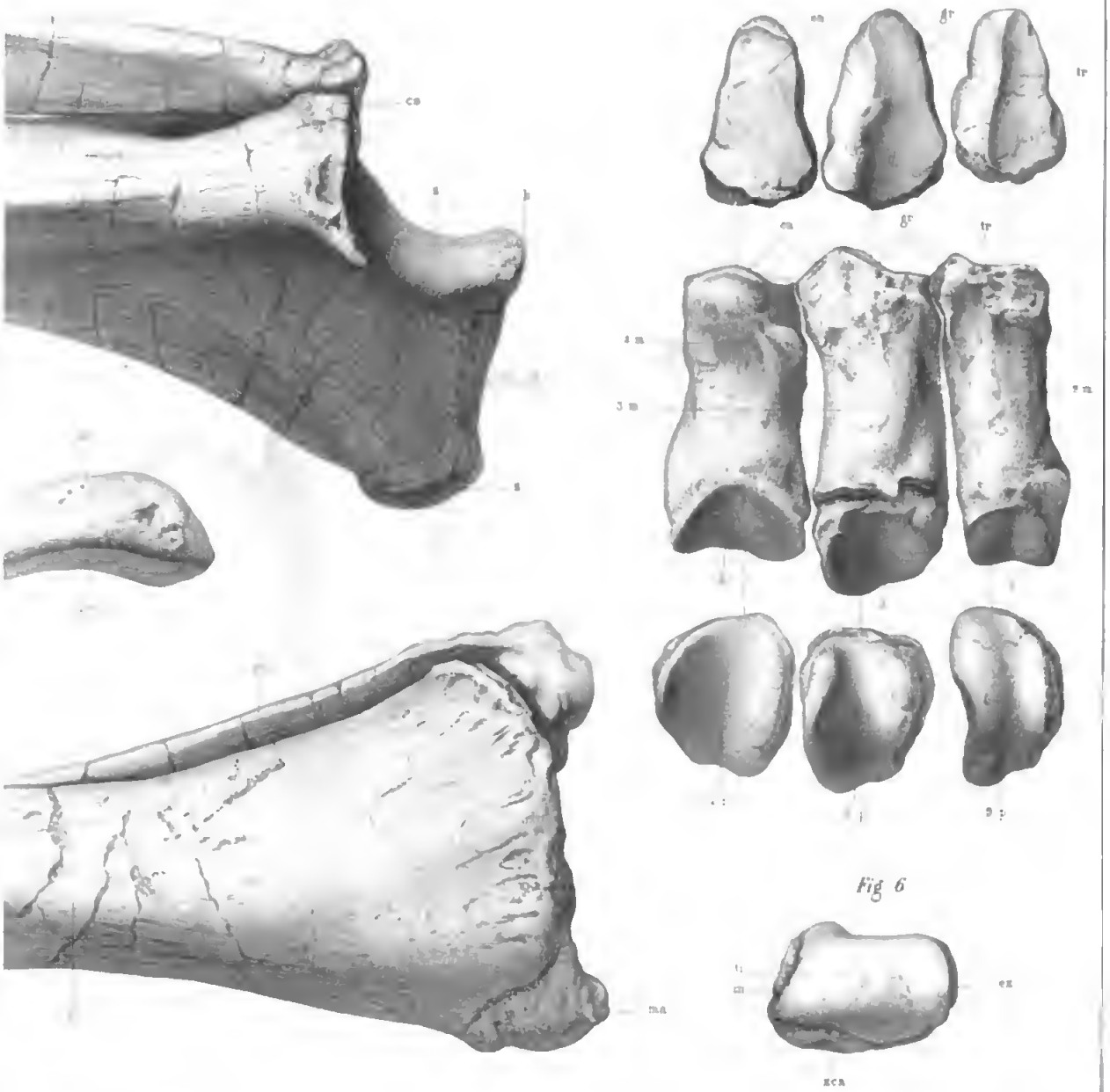

Fig 6

Imp. Becquet fils

leur naturelle

Fig. 1.

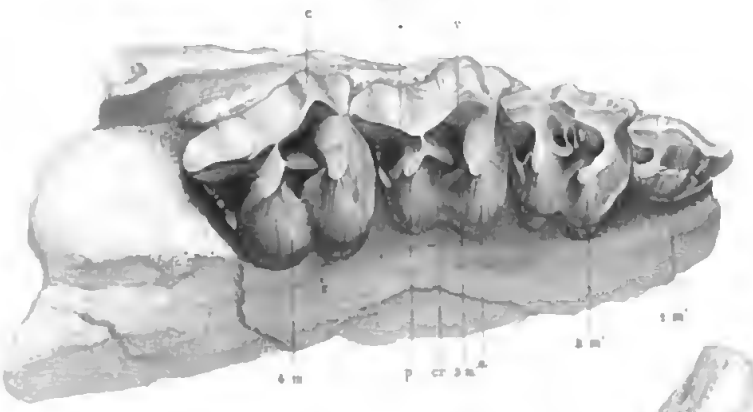

Fig. 2

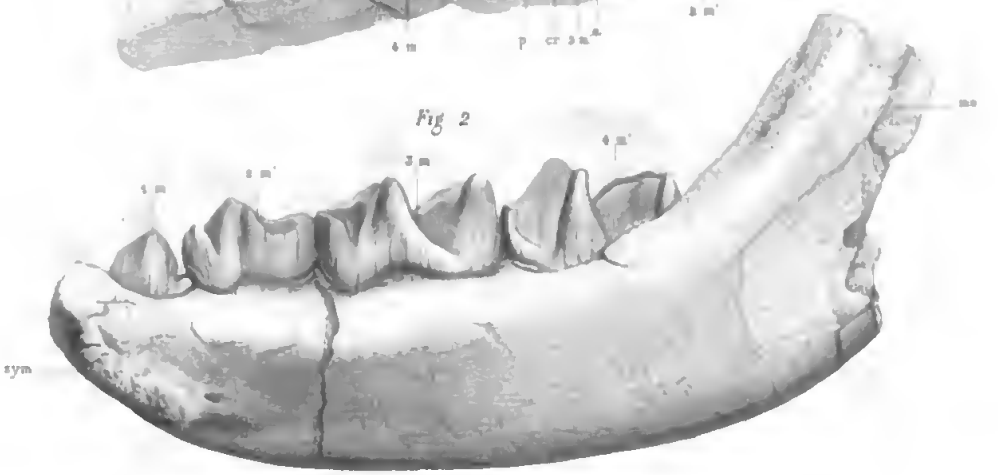

Fig. 3.

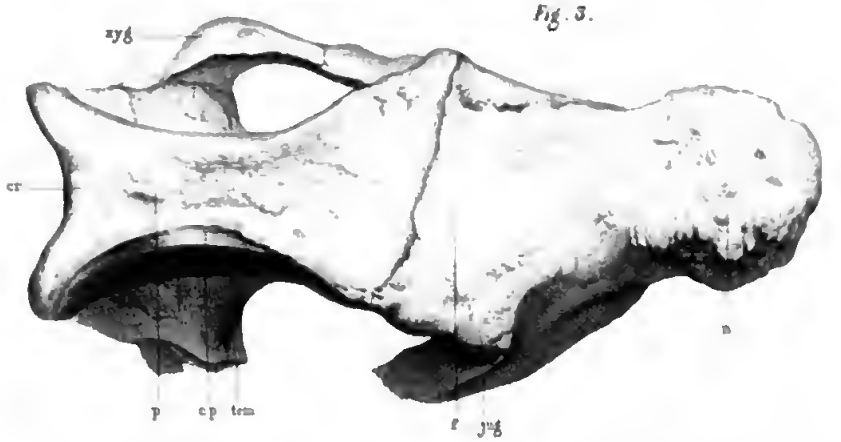

Formant del

Imp Becquet Paris

Rhinoceros pachygnathus. *Wagn*

Fig 1 et 2 aux $\frac{3}{4}$ de la grandeur naturelle
Fig 3 au $\frac{1}{3}$ de la gr nat.

Digitized by Google

Fig. 1

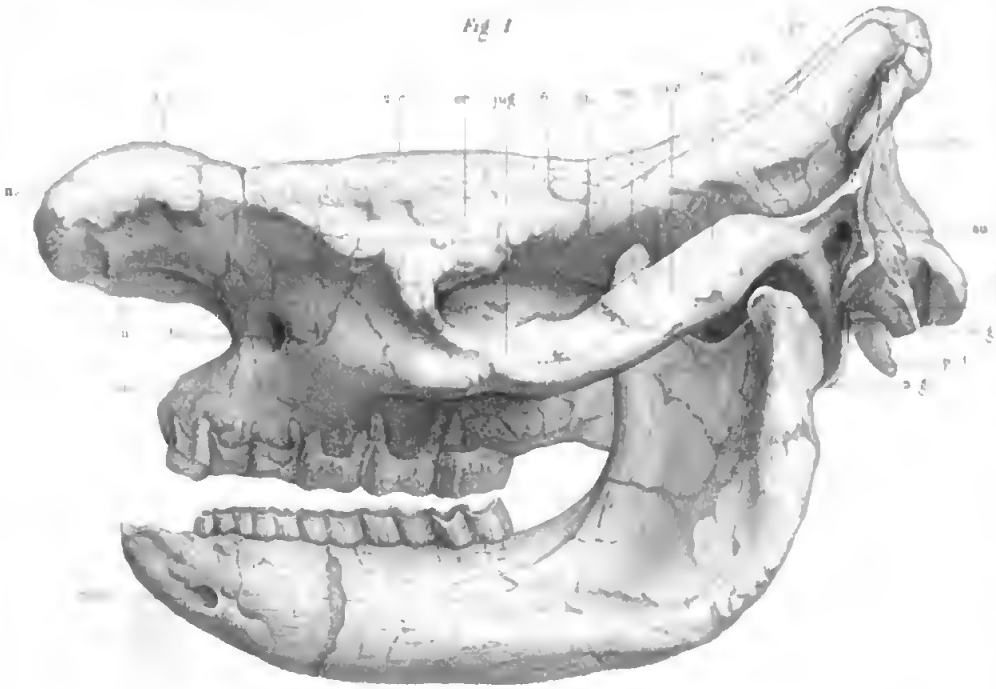

Fig. 2.

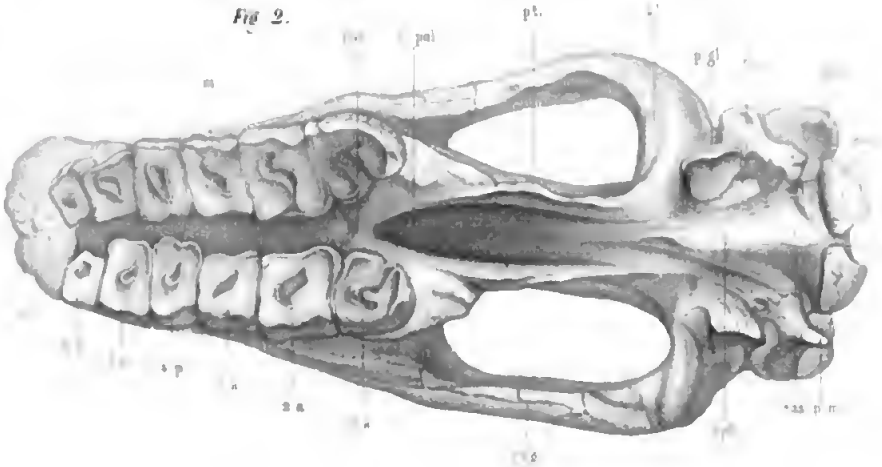

Germain del.

Imp. Becquet Paris

Rhinoceros pachygnathus.

au $\frac{1}{4}$ de la grandeur naturelle

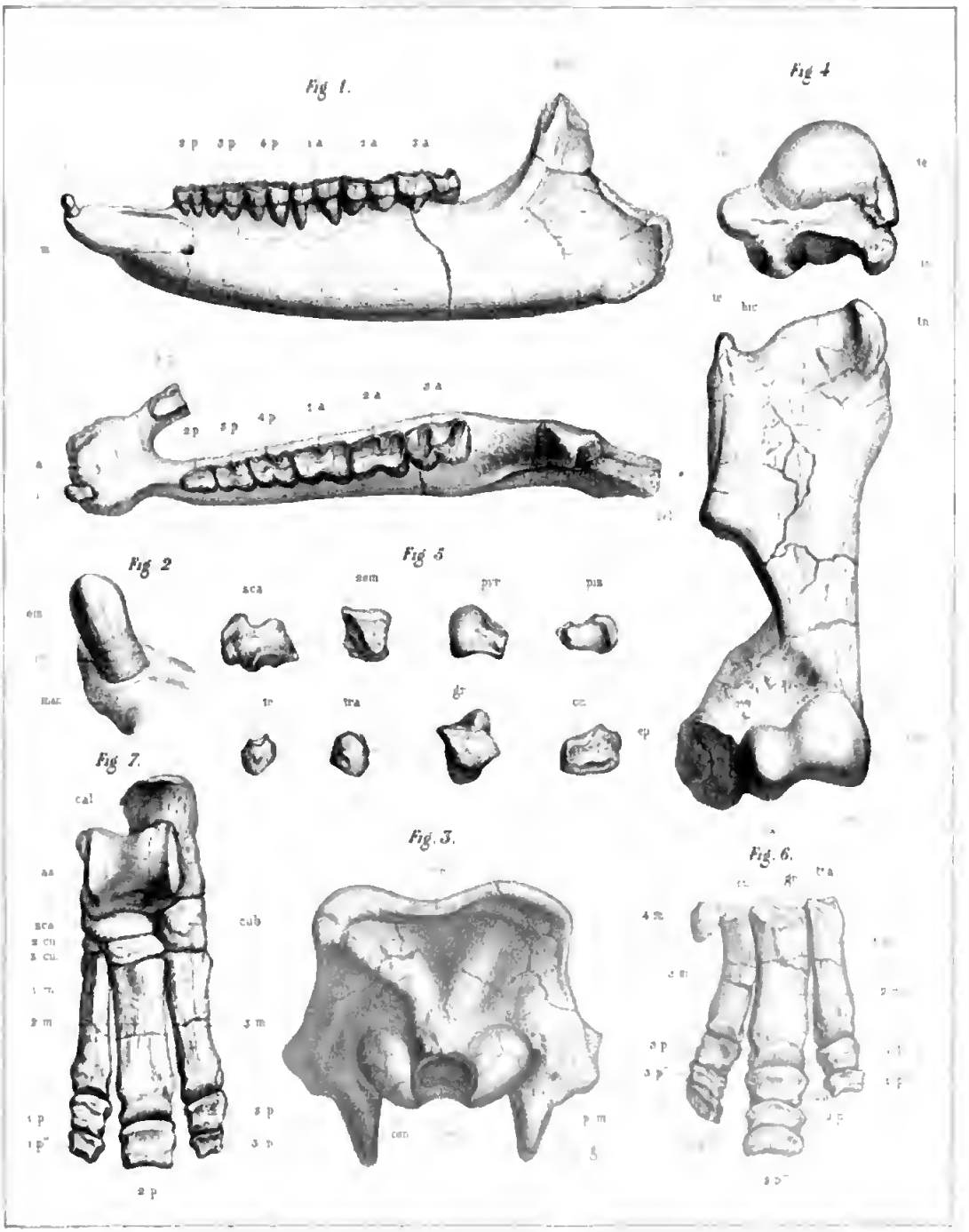

Formant del

Chevrotains pachygnathes

Fig 1 et 2 au $\frac{1}{4}$ de la grandeur naturelle
Fig 3 gr nat
Fig 4 5 6 et 7 au $\frac{1}{2}$ de la gr nat

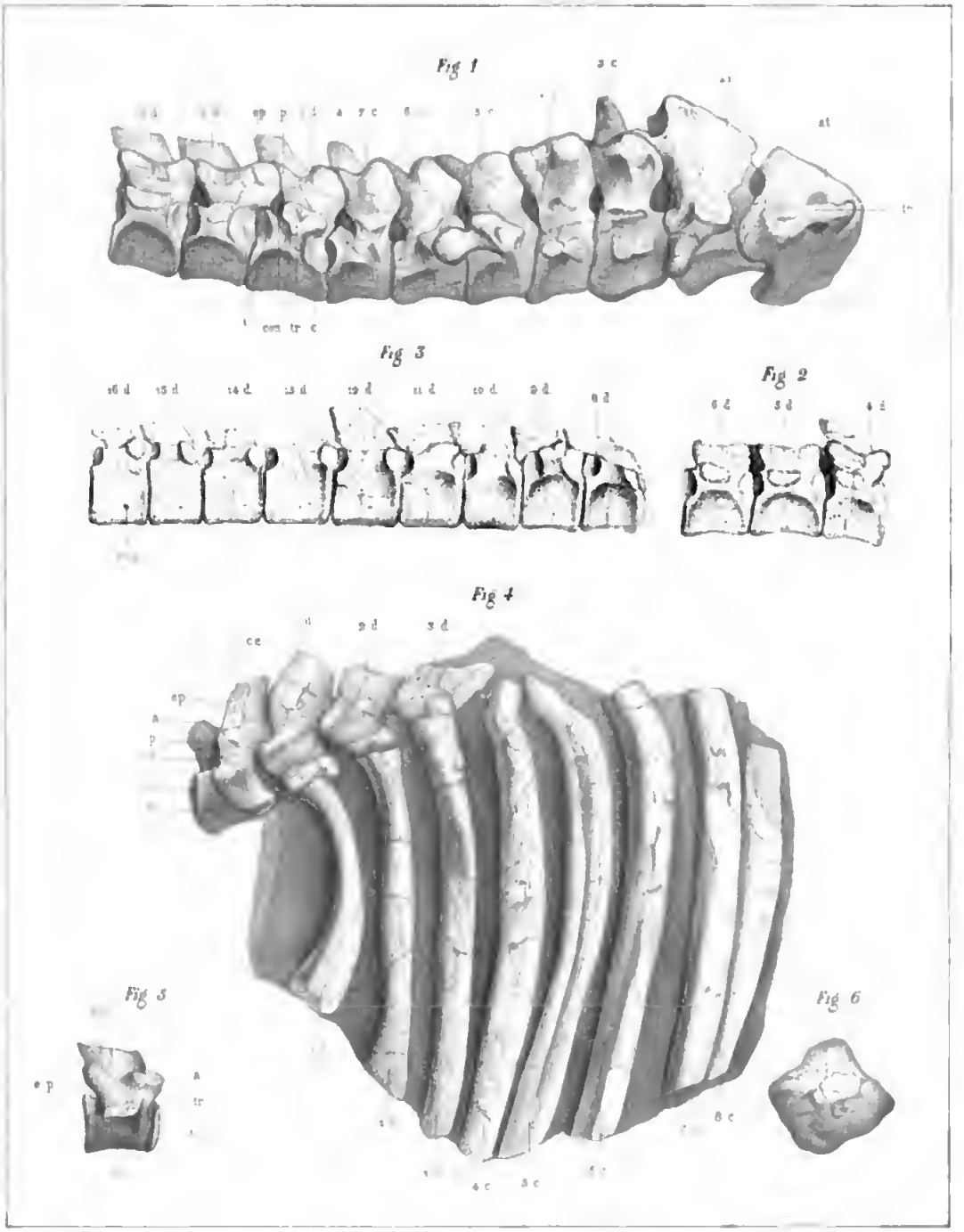

Formant Or

Imp. Becquet Paris

Rhinoceros pachygnathus

au $\frac{1}{3}$ de la grandeur naturelle

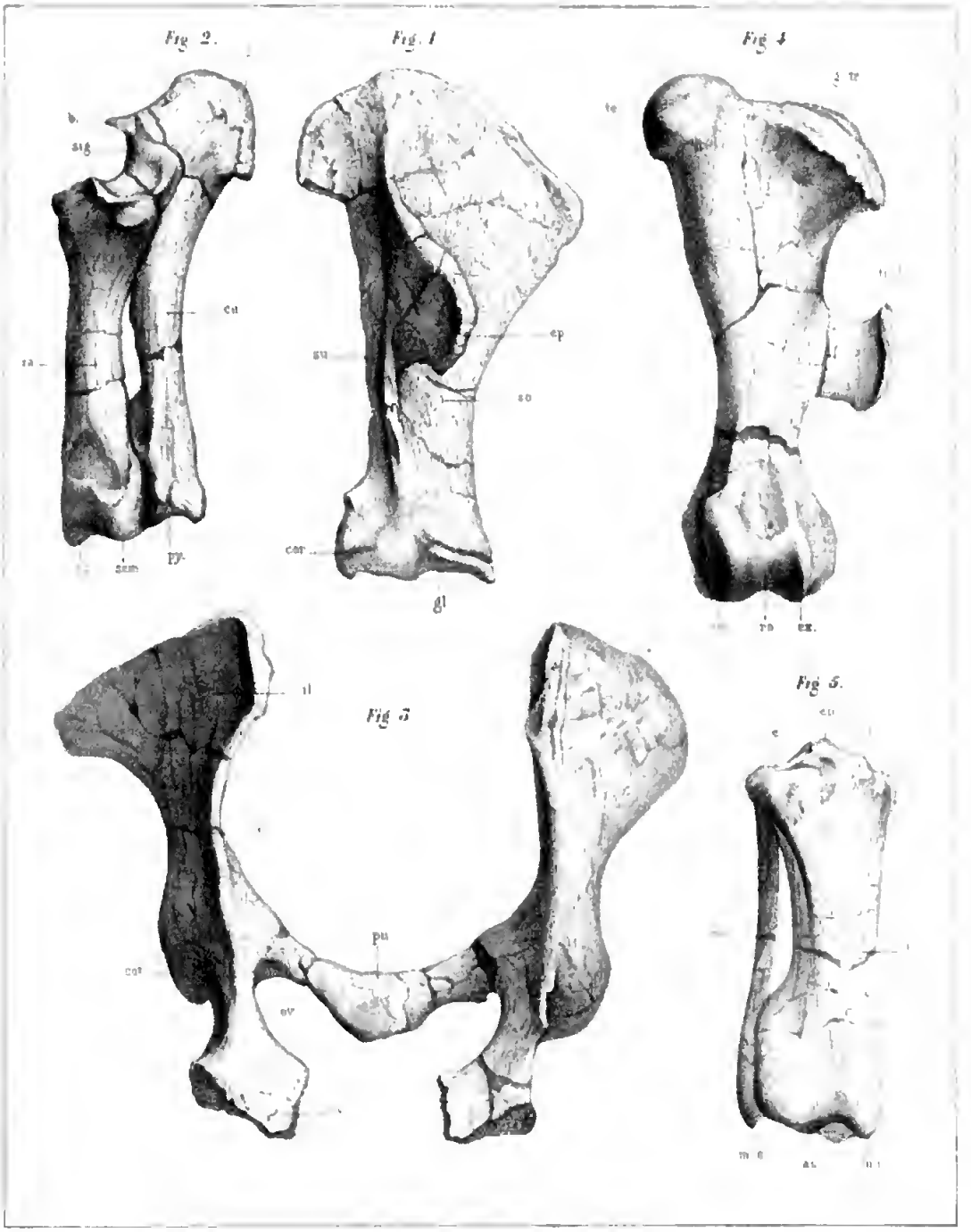

Formant del *Imp Becquet Paris*

Rhinoceros pachygnathus

au $\frac{1}{3}$ de la grandeur naturelle

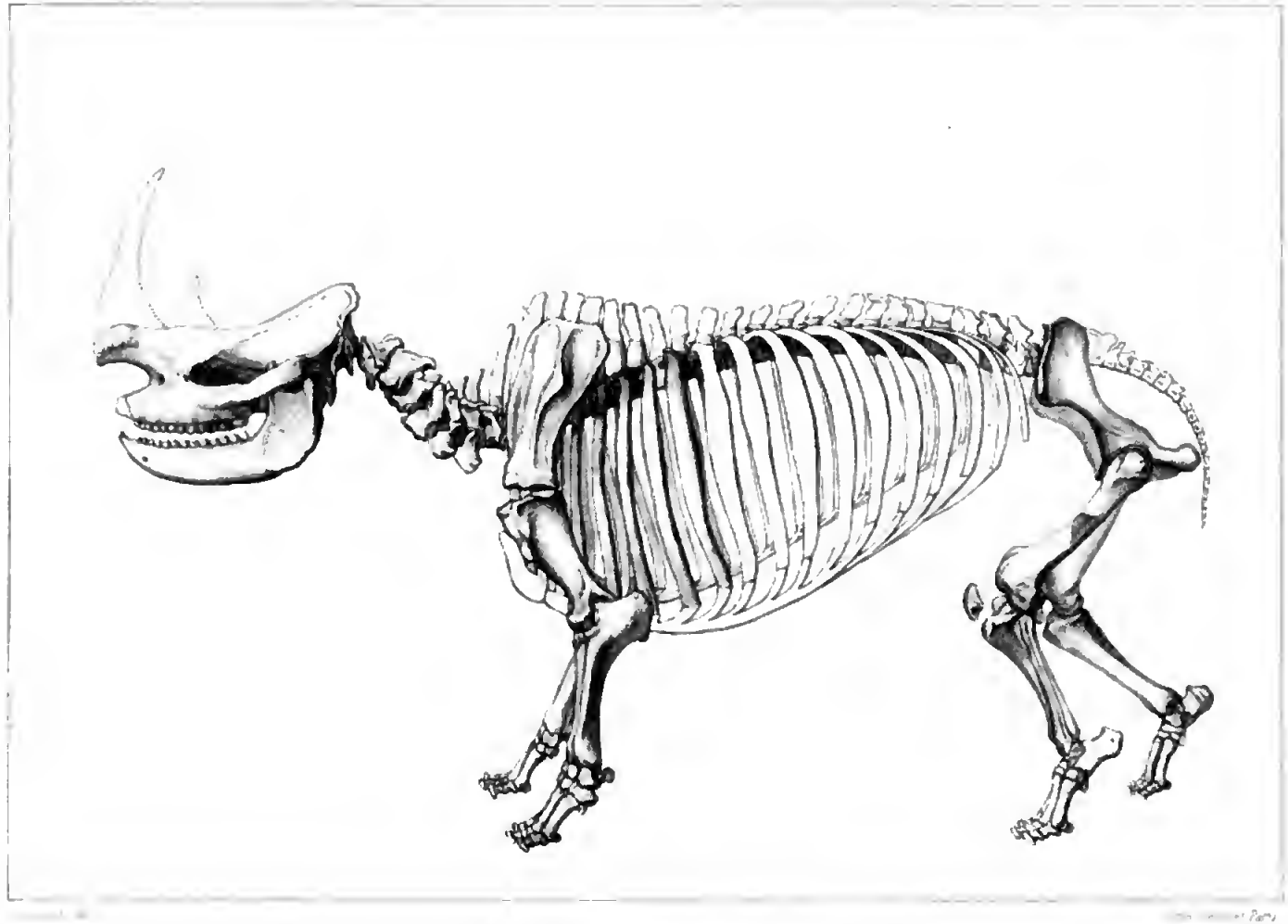

au $\frac{1}{25}$ de la grandeur naturelle.

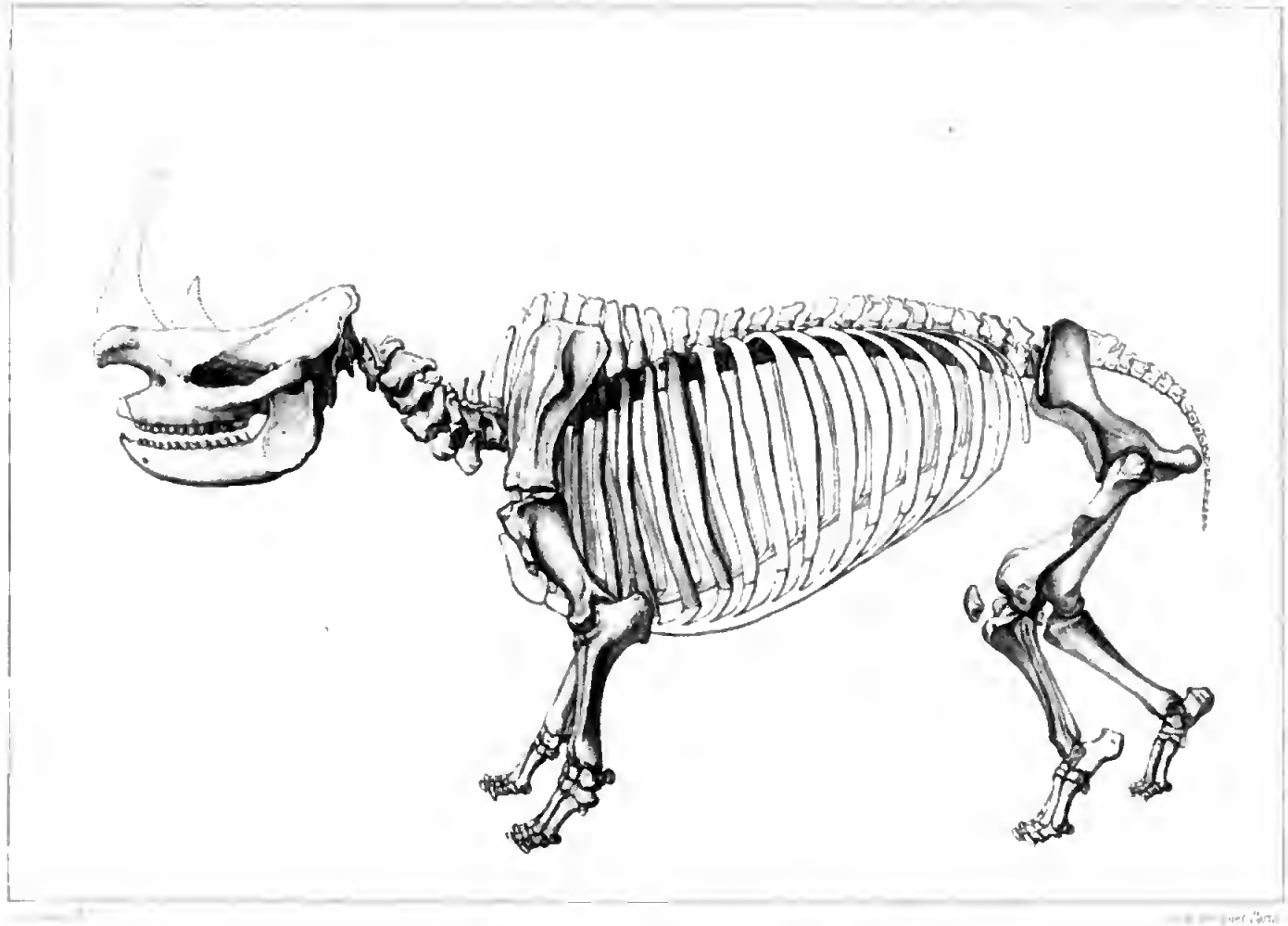

Rhinoceros pachygnathus

ar. $\frac{1}{10}$ de la grandeur naturelle.

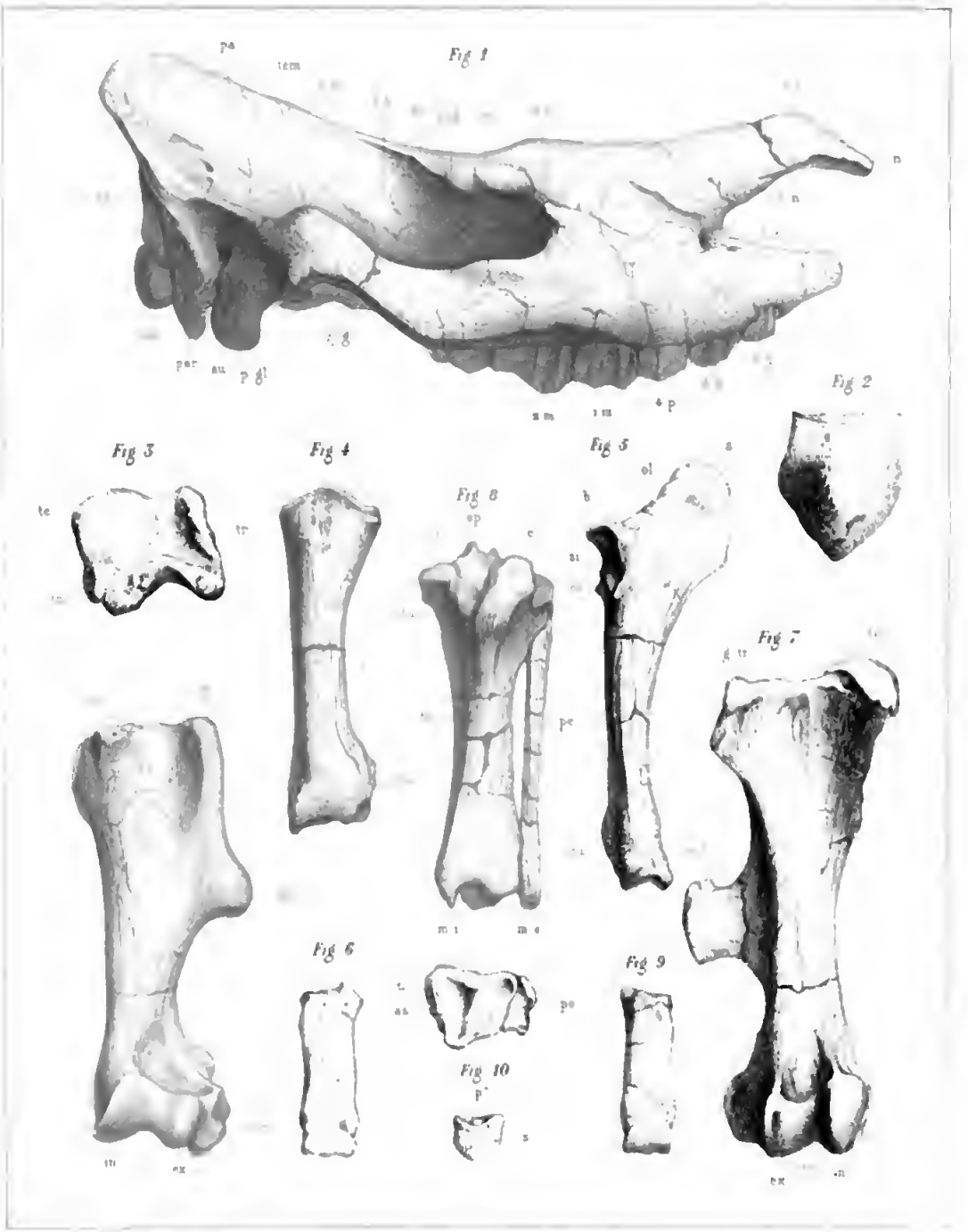
Fig 1
Fig 2
Fig 3
Fig 4
Fig 5
Fig 6
Fig 7
Fig 8
Fig 9
Fig 10

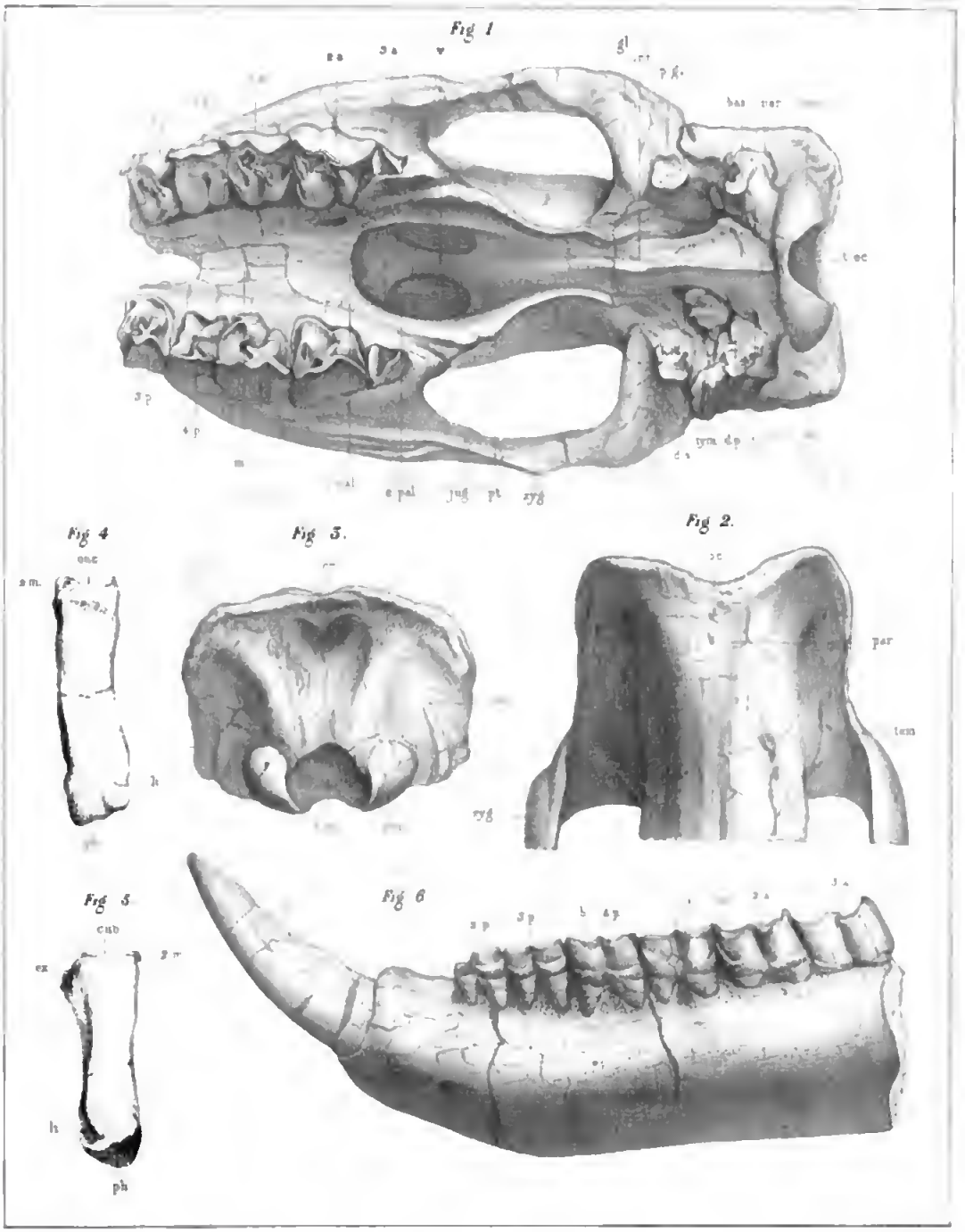

Fig 1 2 et 3 Rhinoceros ? d'espèce indéterminée. au $\frac{1}{4}$ de la grandeur naturelle

Fig 4 et 5 Autre Rhinoceros ? aux $\frac{2}{3}$ de la gr nat

Fig 6 Acerotherium ? au $\frac{1}{3}$ de la gr nat

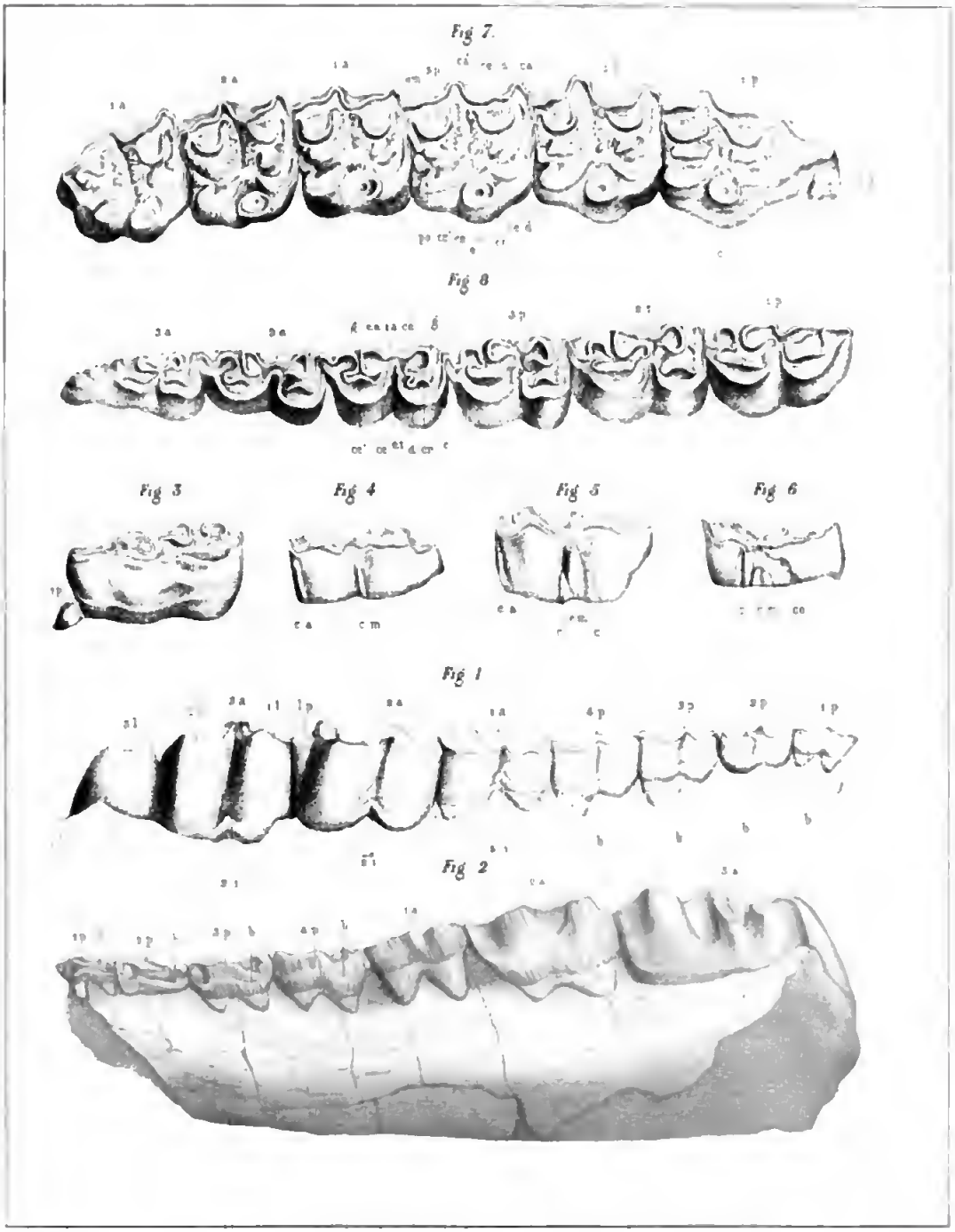

Fig 1 et 2 Leptodon graecus Gaud

Fig 3 4 5 6 7 et 8 Hipparion gracile de Christ

Digitized by Google

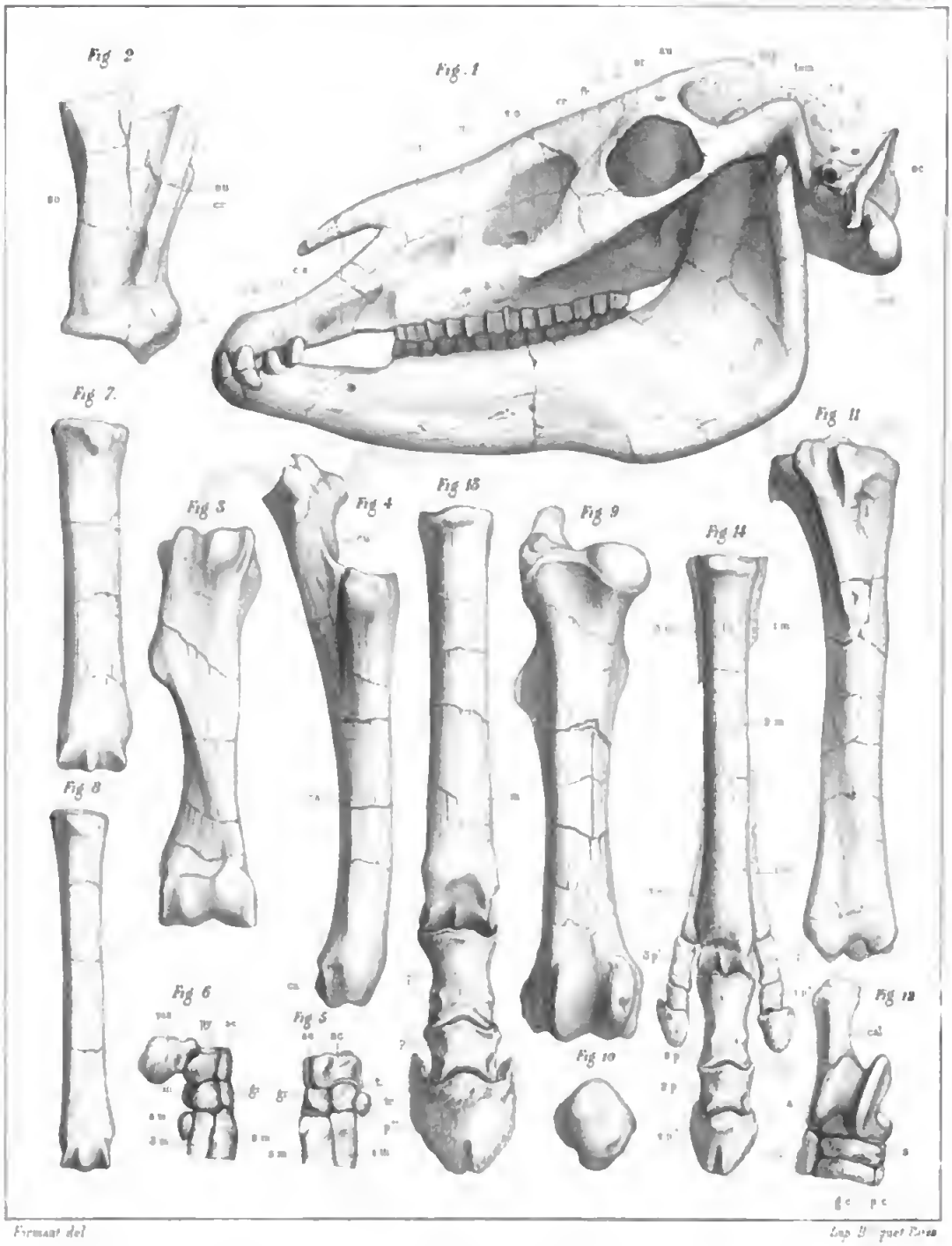

Formant del

Lap. Bequet Paris

Hipparion gracile

Les figures 2 7 et 13 sont de la variété à formes lourdes, les autres figures sont de la variété à formes grêles au $\frac{1}{3}$ de la grandeur naturelle

Digitized by Google

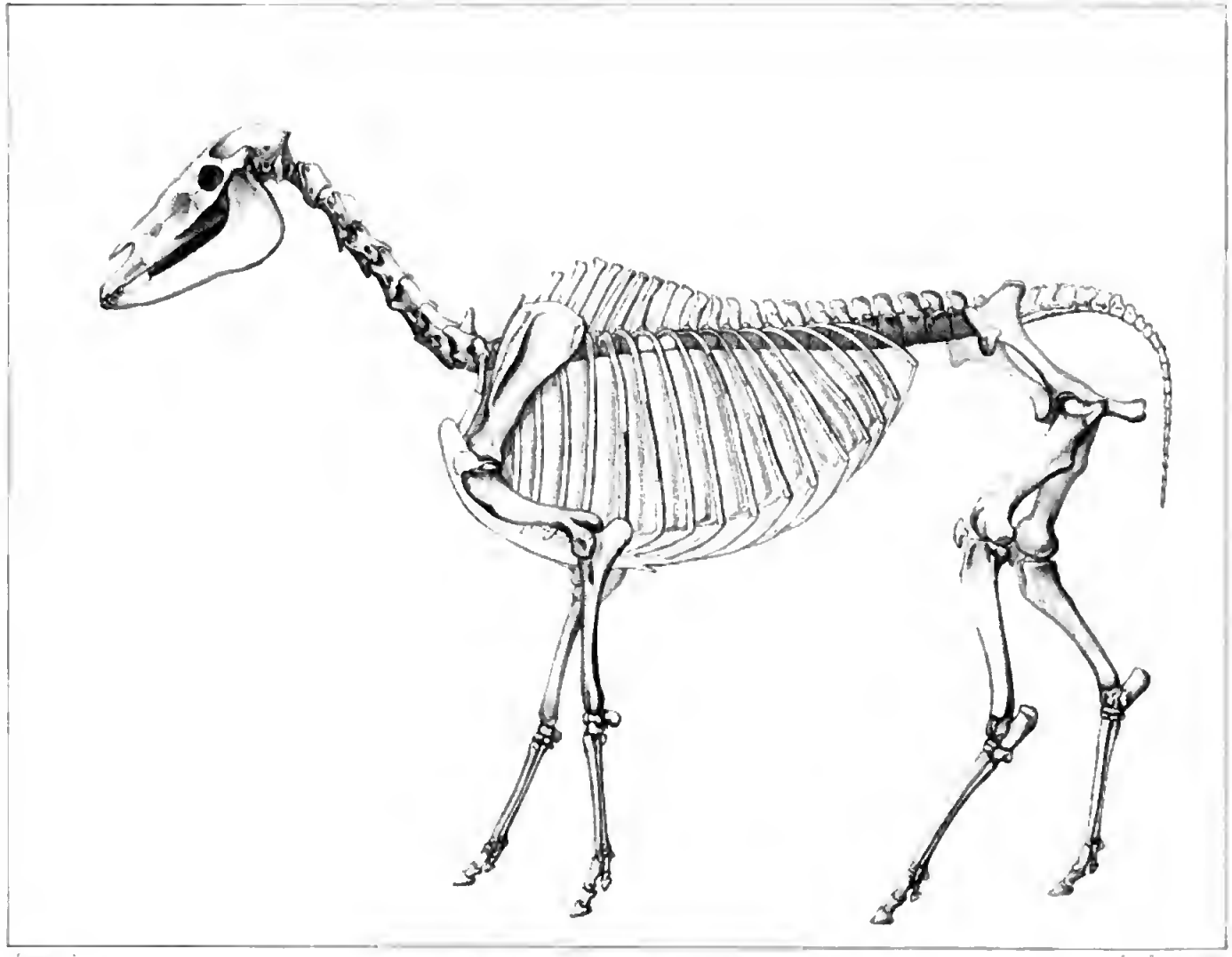

Hippalon gracile (Variété grêle)

au $\frac{1}{5}$ de la grandeur naturelle

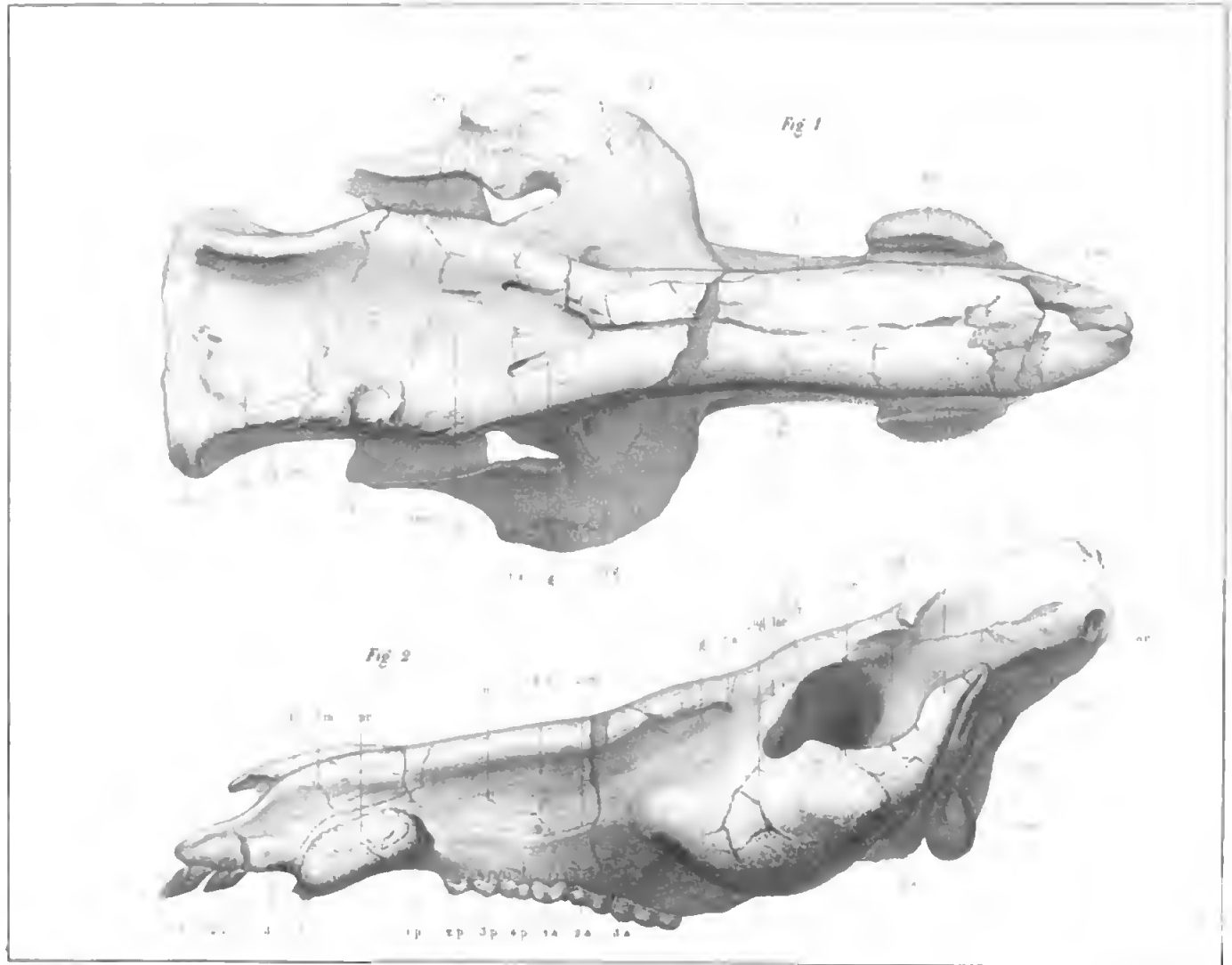

Sus erymanthicus

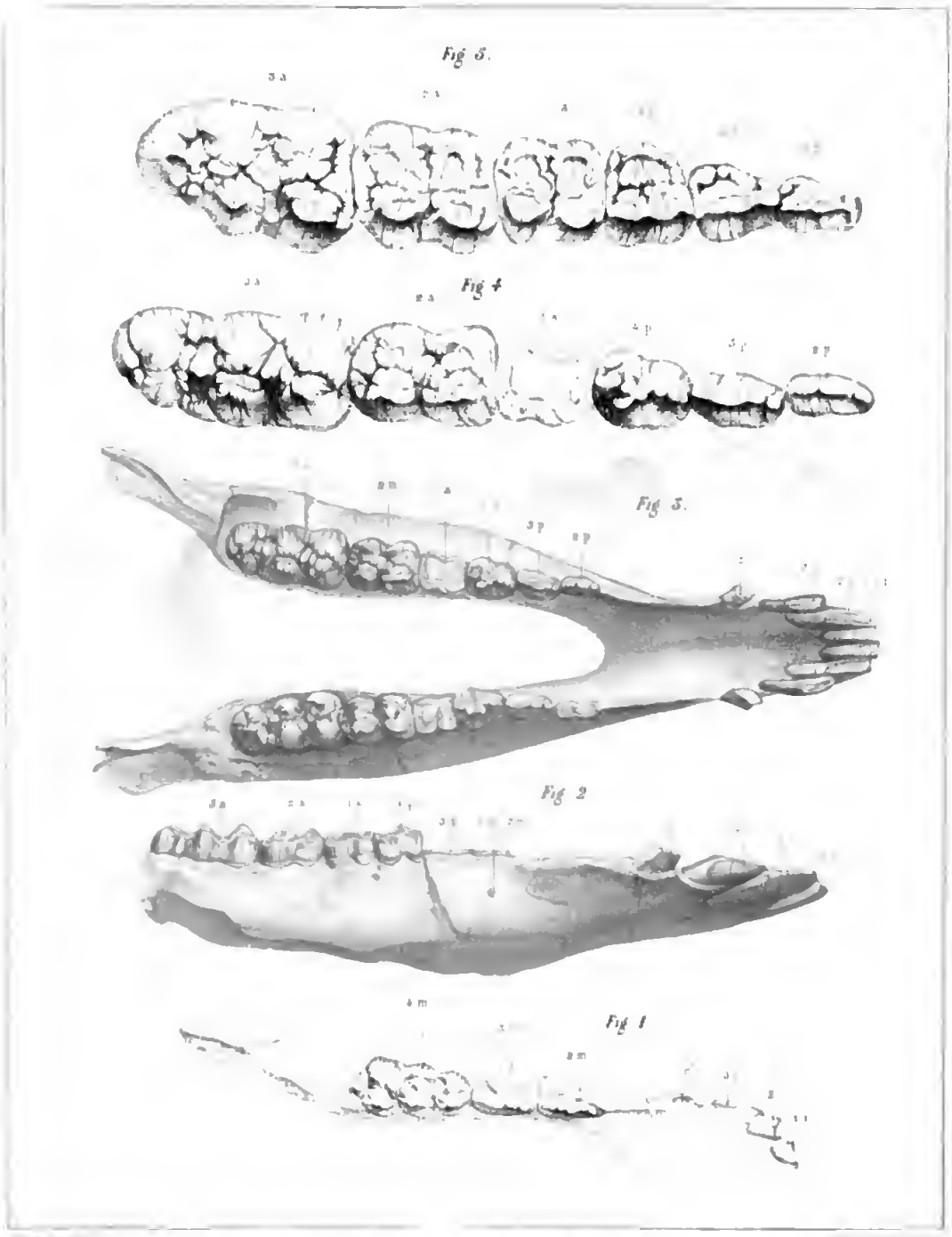

Sus erymanthius.

Les figures 1, 4, 5 et 6 sont de grandeur naturelle. Les figures 2 et 3 sont à $\frac{1}{2}$ de la gr nat

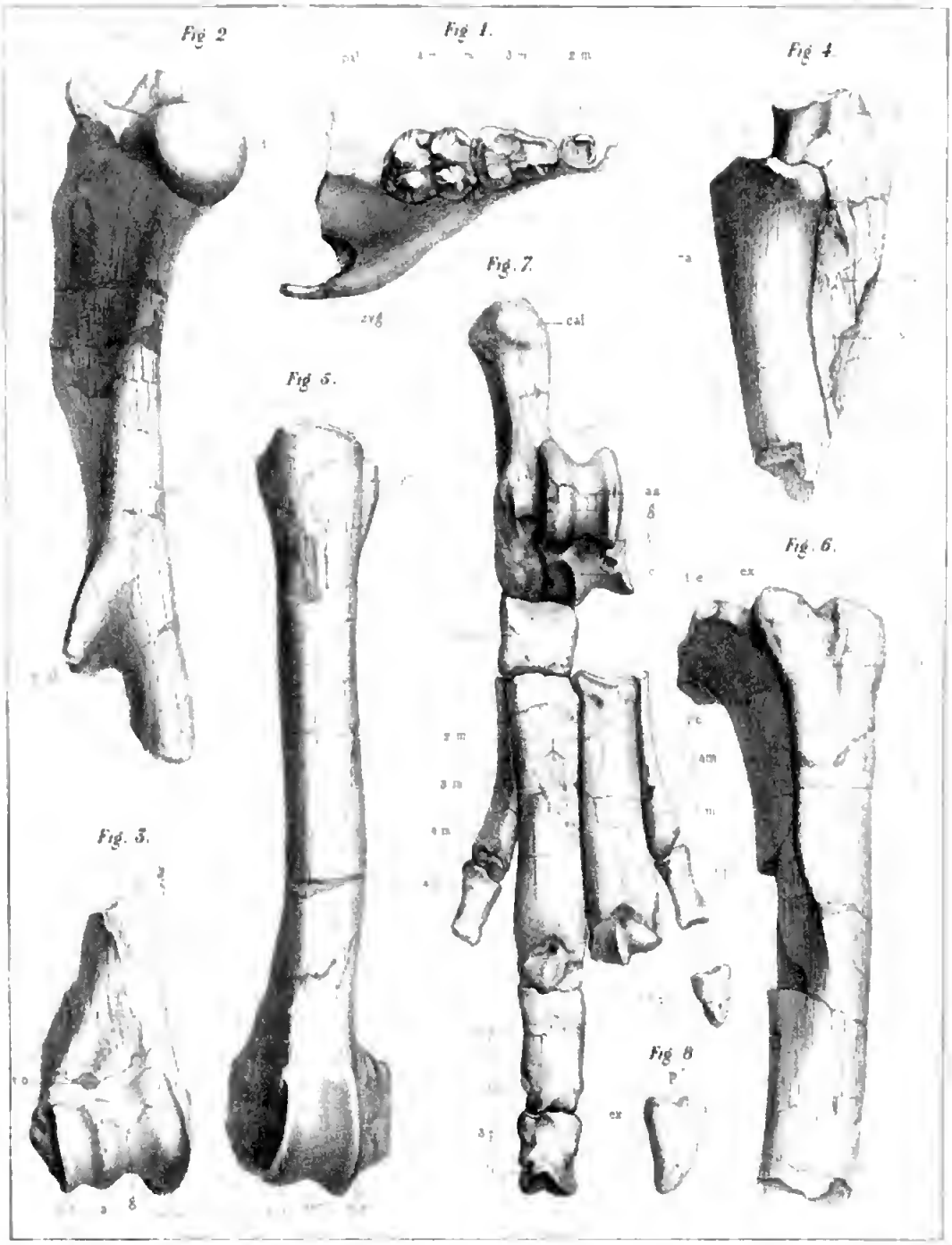

La figure 1 est de grandeur naturelle, les autres sont a $\frac{1}{2}$ de la gr nat

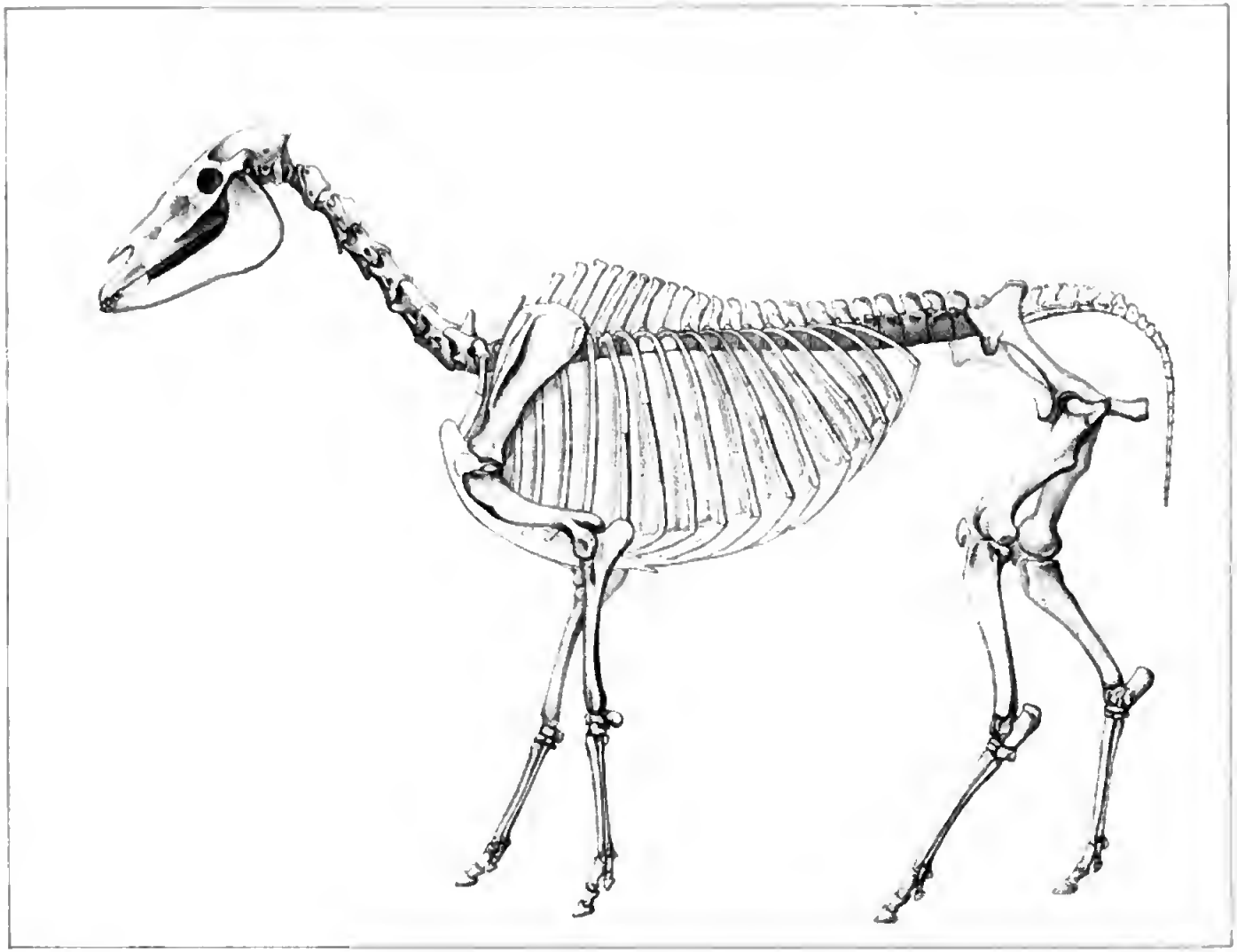

Hippurion gracile (Variété grêle)

a. $\frac{1}{3}$ de la grandeur naturelle

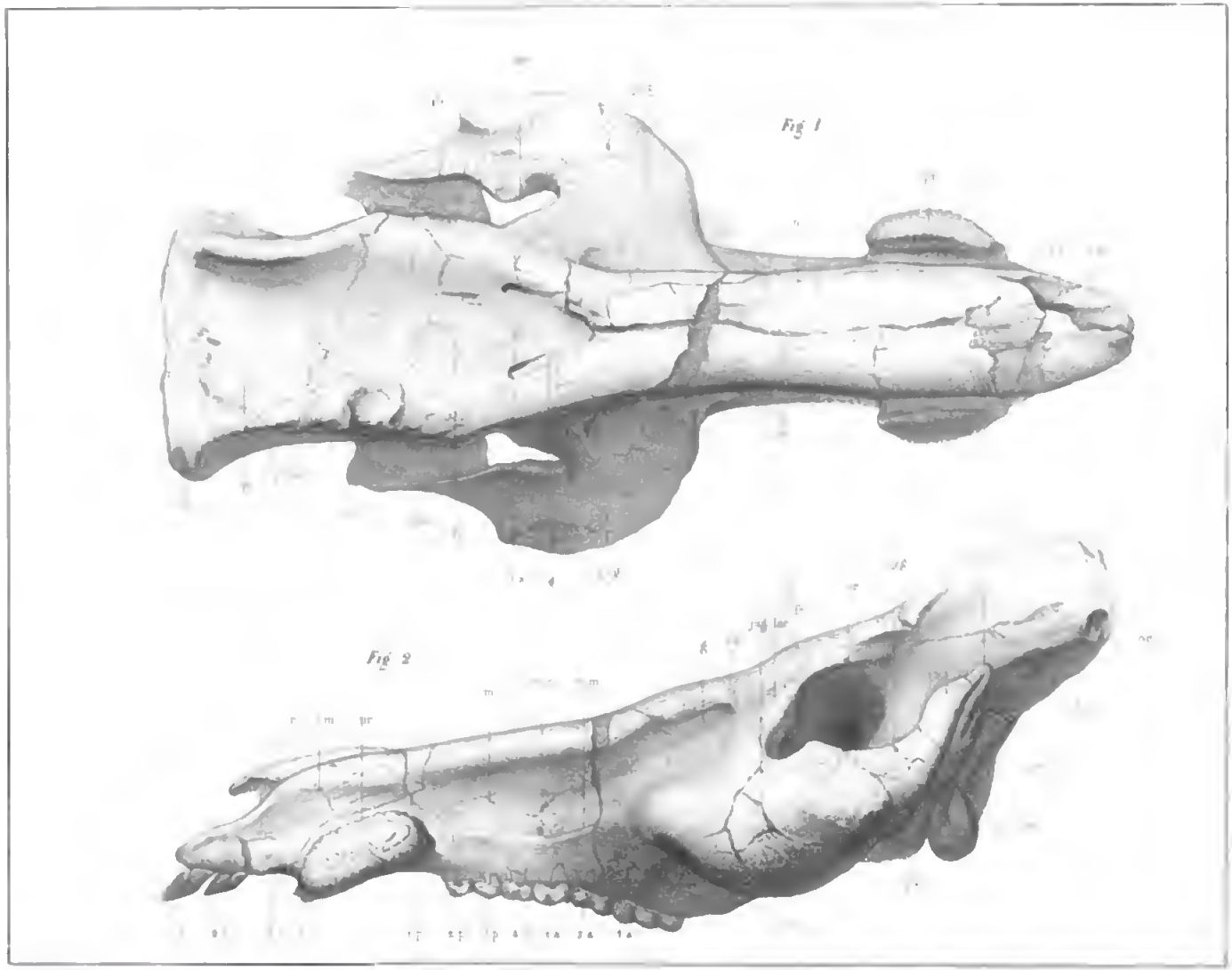

Sus erymanthius

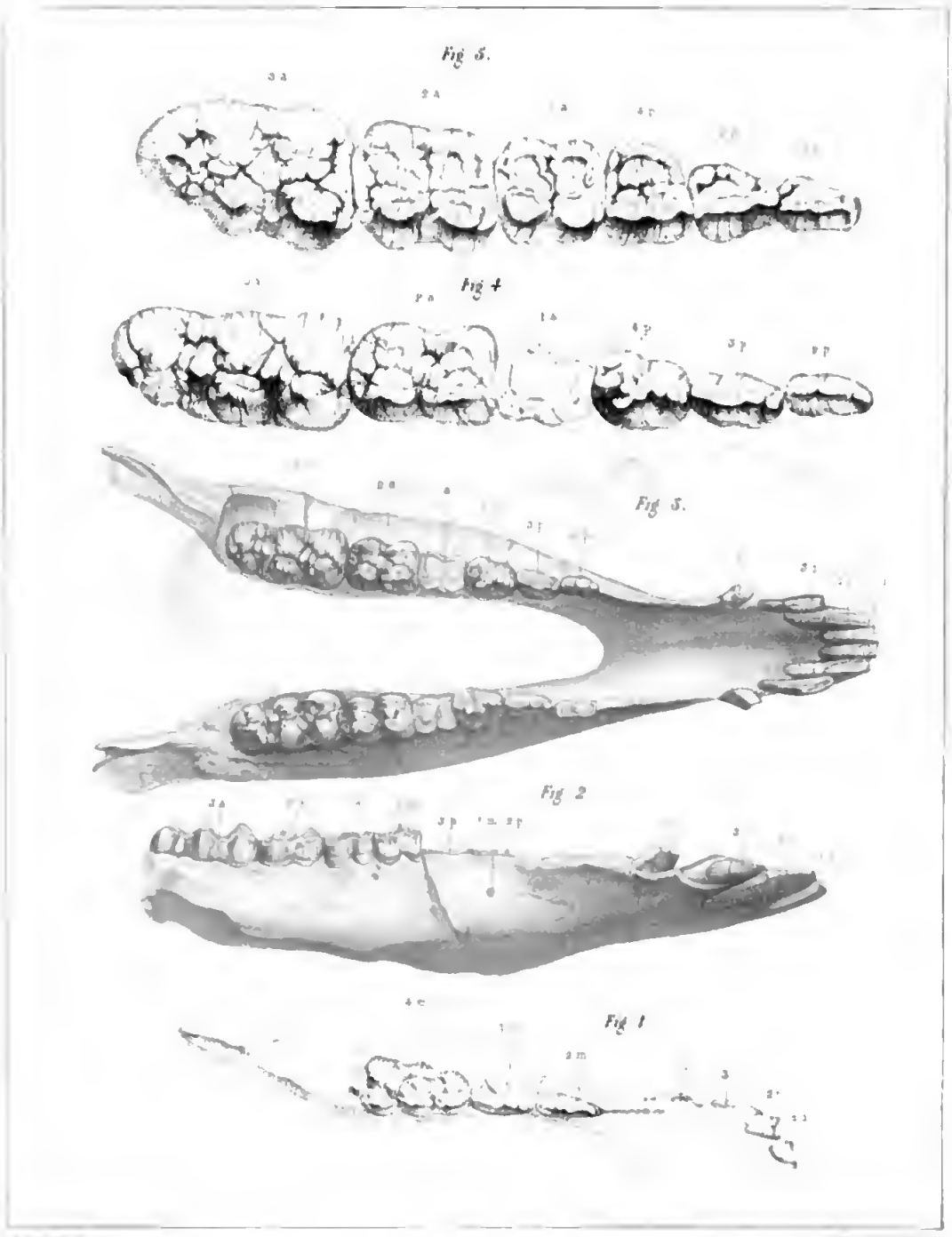

Sus crymanthus.

Les figures 1, 4 et 6 sont de grandeur naturelle, les figures 2 et 3 sont à $\frac{1}{2}$ de la gr. nat.

Digitized by Google

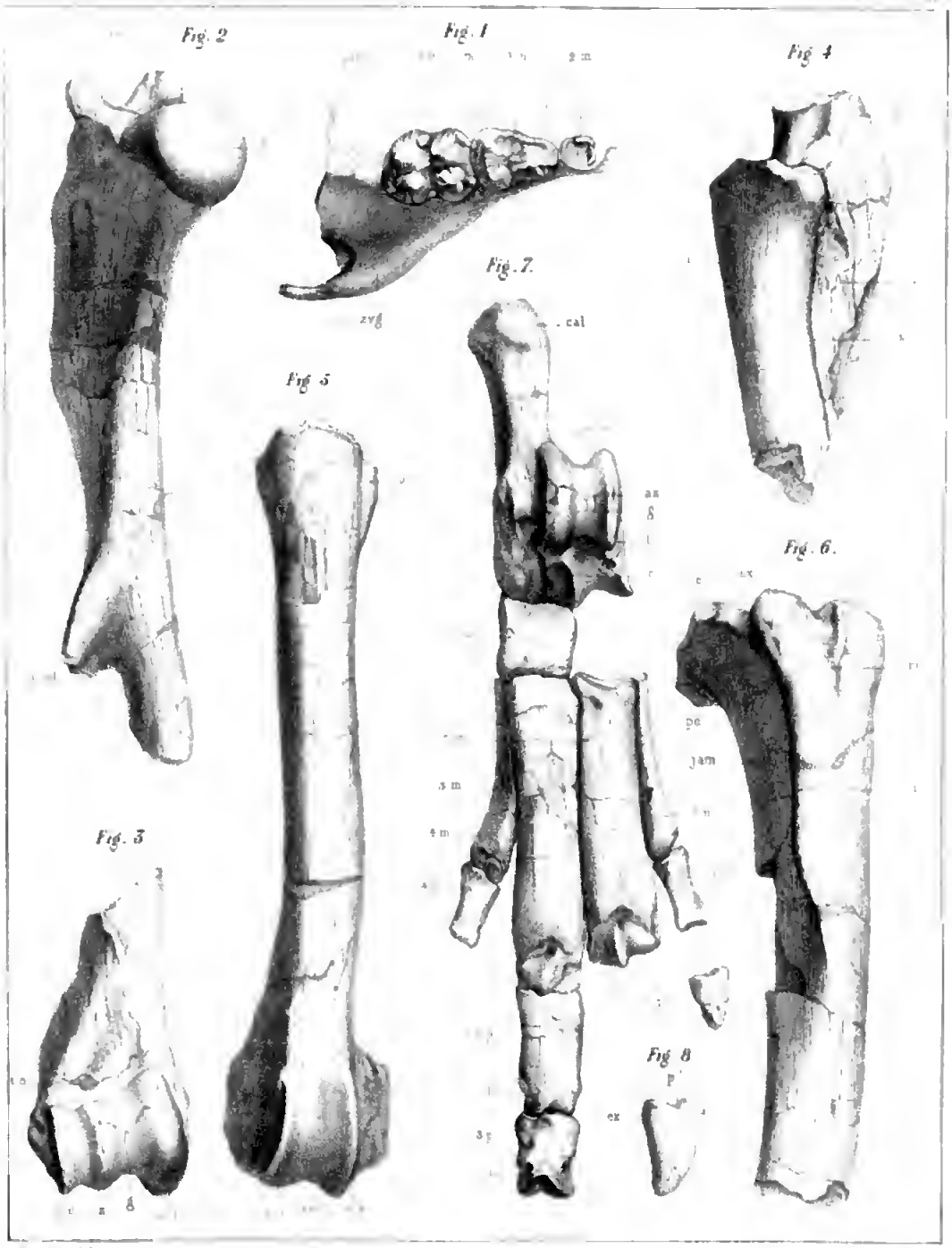

La figure 1 est de grandeur naturelle les autres sont a $\frac{1}{2}$ de la gr nat

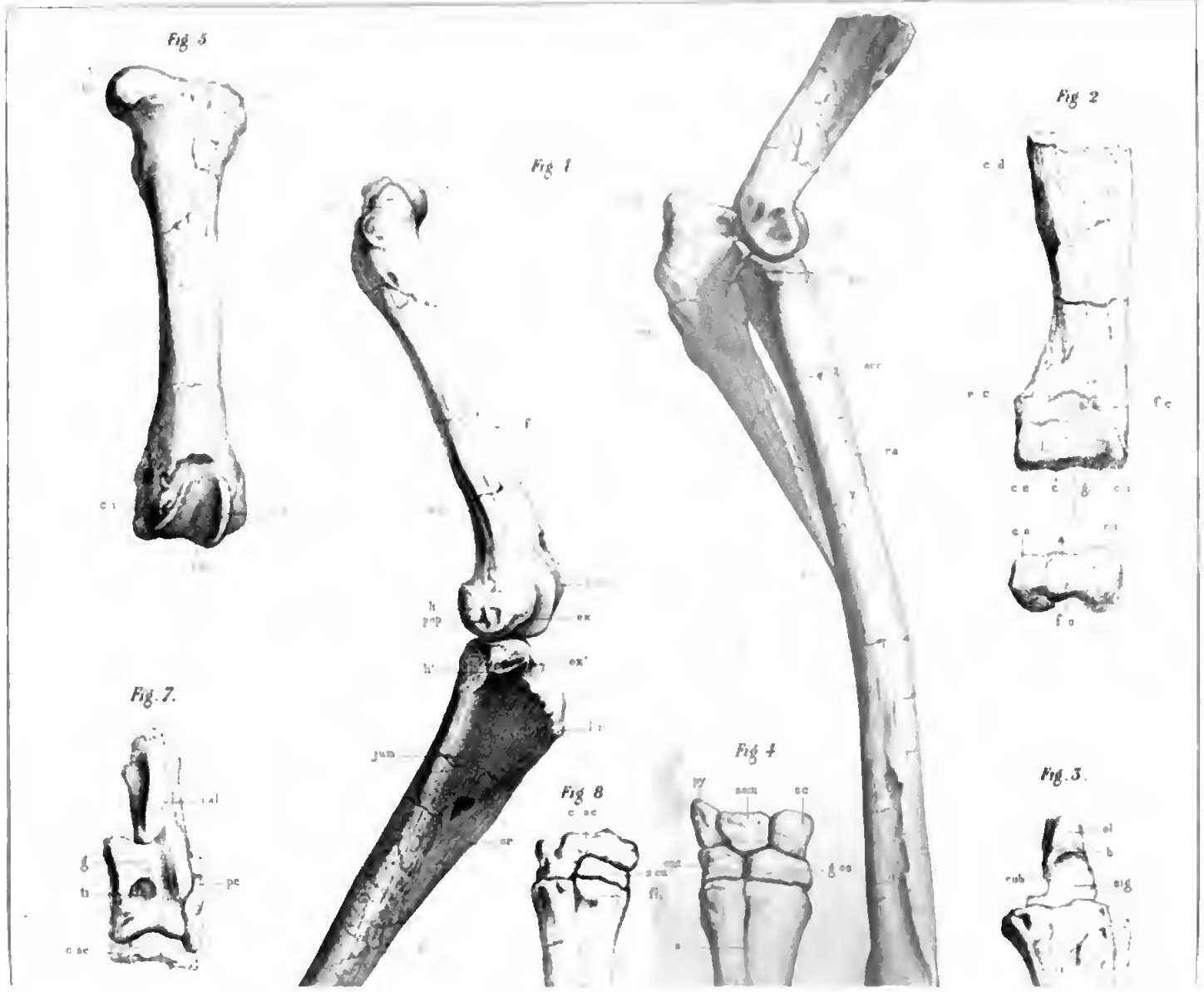

Digitized by Google

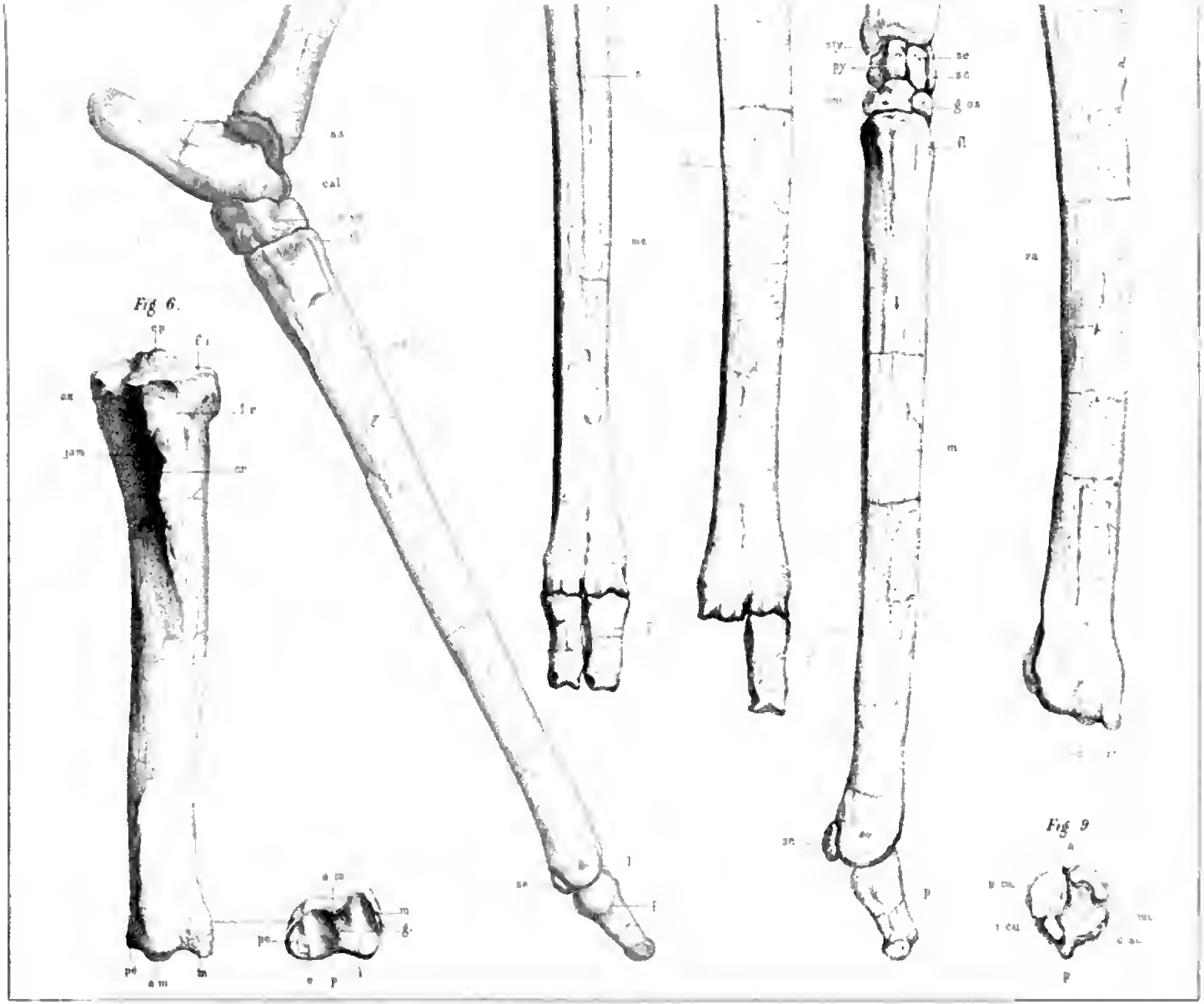

Camelopardalis attica. *Gaud. et Lart*

aux $\frac{2}{5}$ de la grandeur naturelle.

Fig. 3

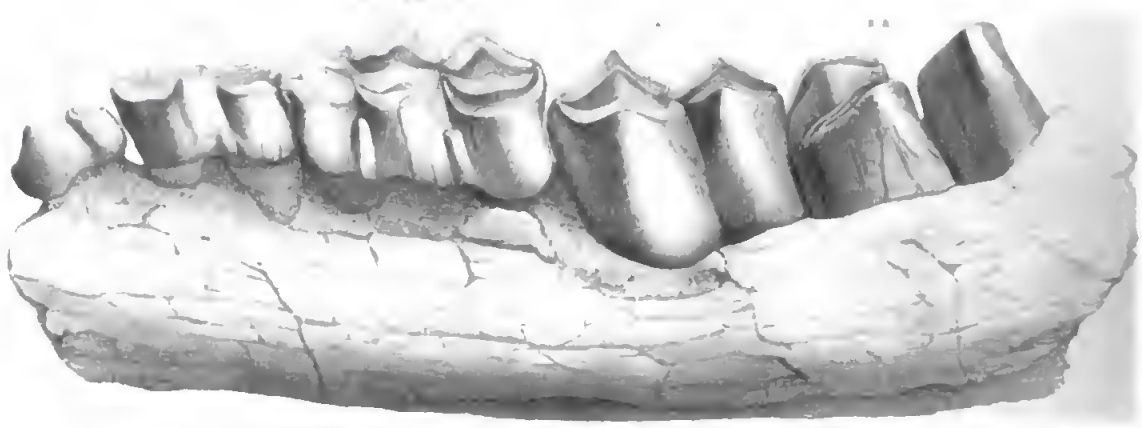

Digitized by Google

Fig. 1

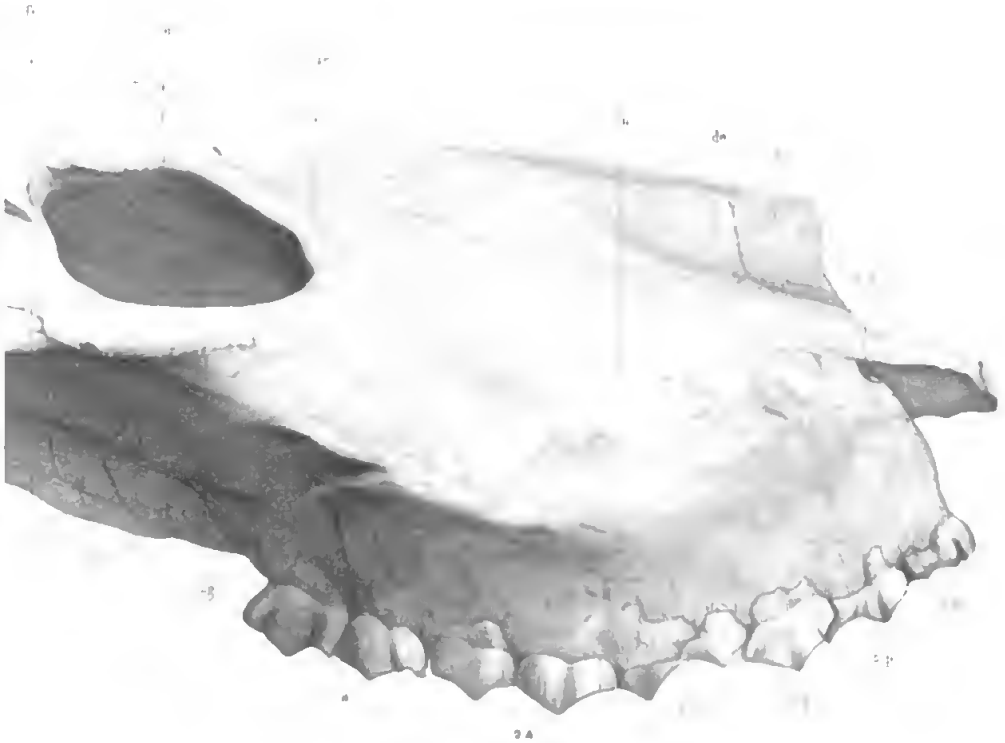

Fig 2.

Lap. Bernet Jans

Gaud

les figures 2 et 3 sont de gr nat

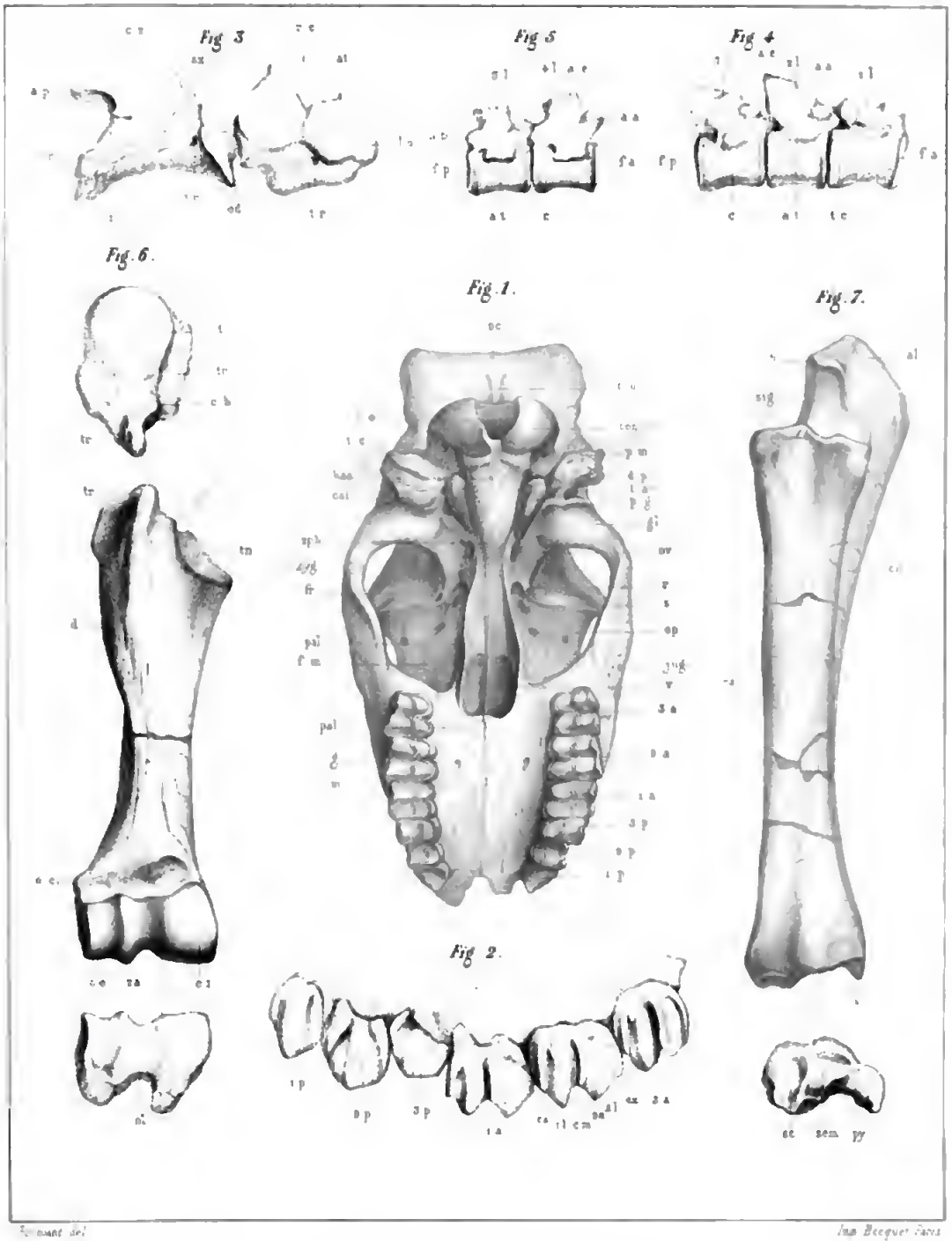

Ruminant del.

Imp. Becquet Frères

Helladotherium Duvernoyi.

La figure 2 est aux $\frac{2}{3}$ de la grandeur naturelle, les autres figures sont au $\frac{1}{3}$

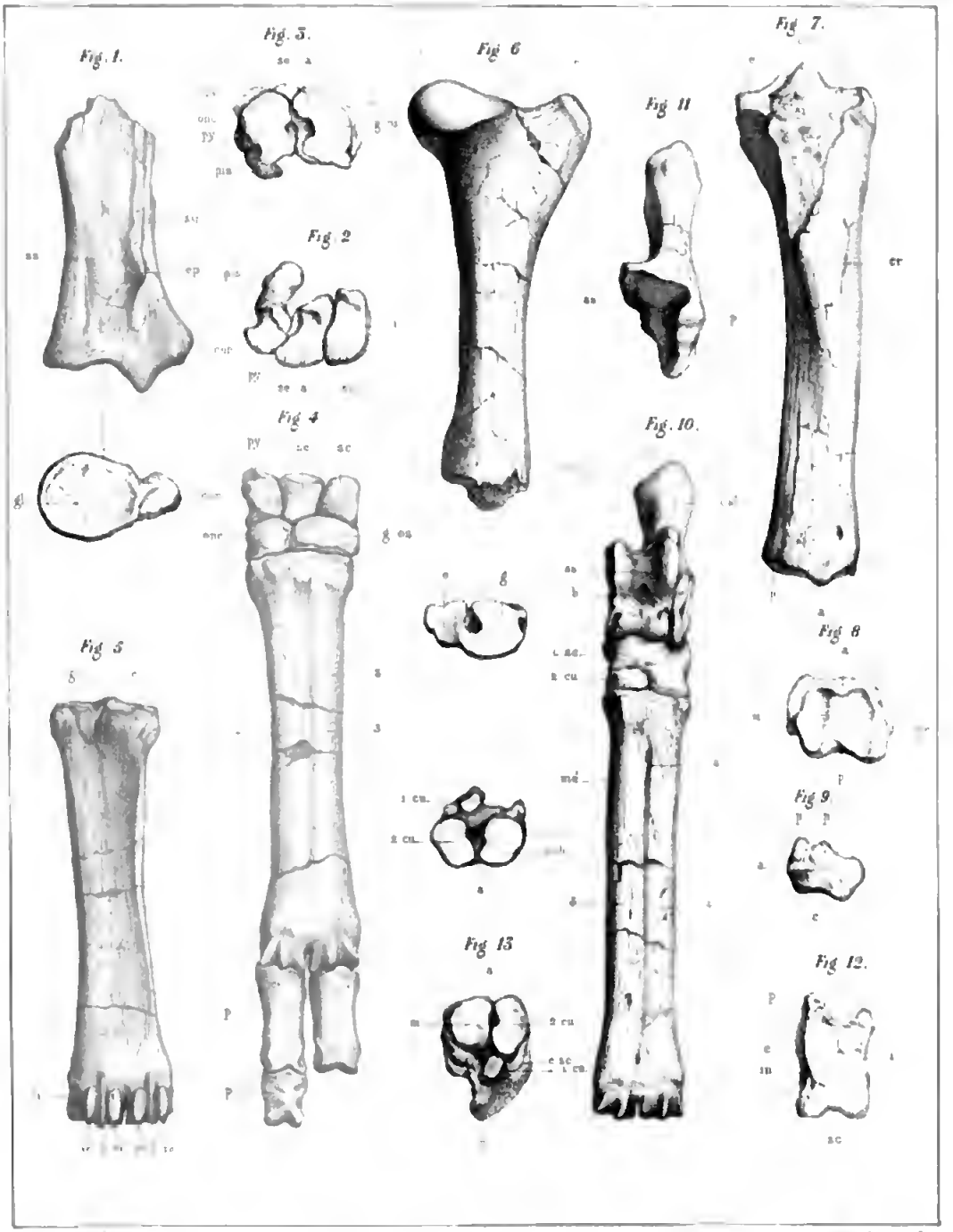

Hermann del. — Imp. Becquet Frères

Palæoreas m. Duvernoyi.

Gr. $\frac{1}{2}$ de la grandeur naturelle

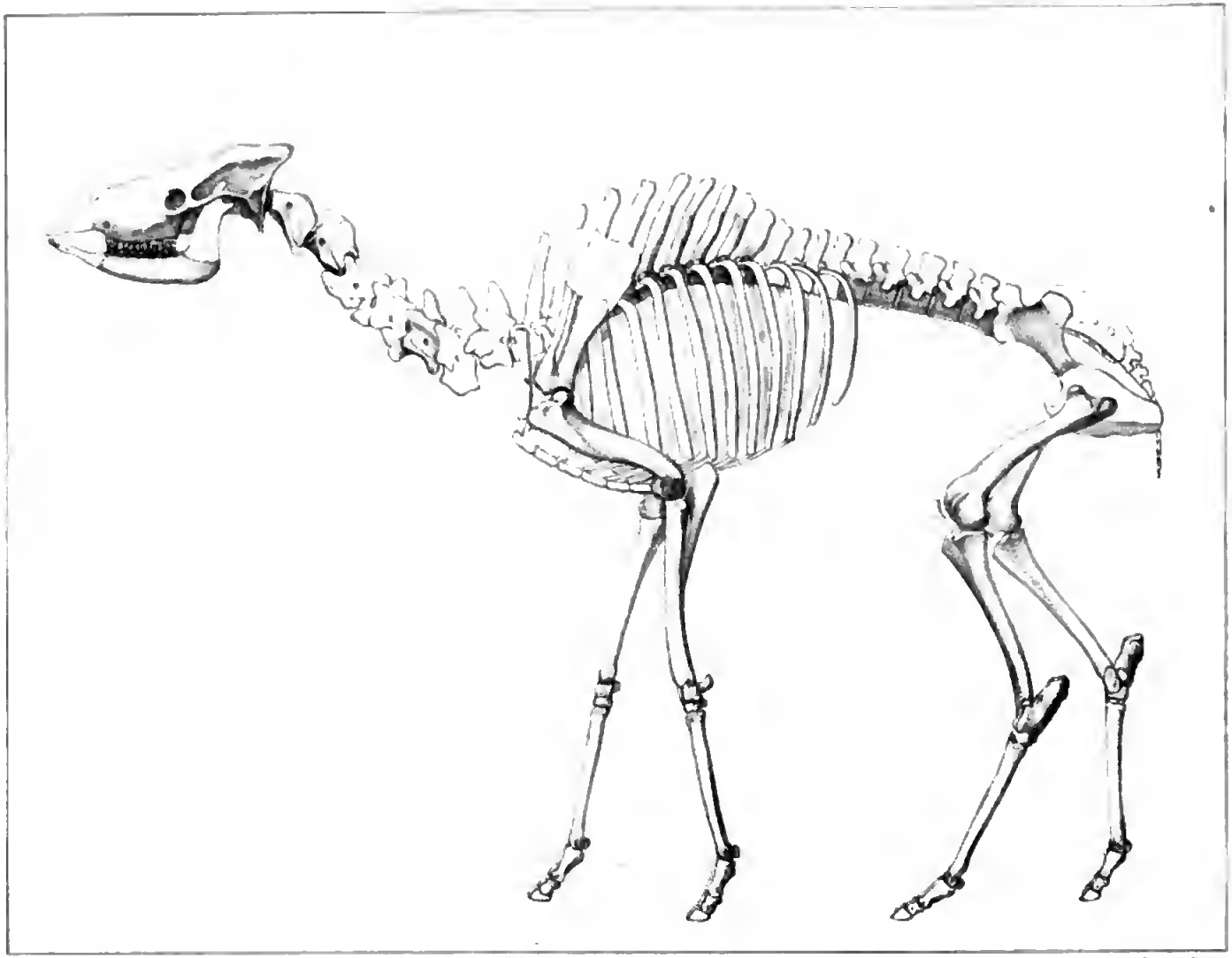

Hermant del. — imp. Becquet Paris

Helladotherium Duvernoyi

au $\frac{1}{8}$ de la grandeur naturelle

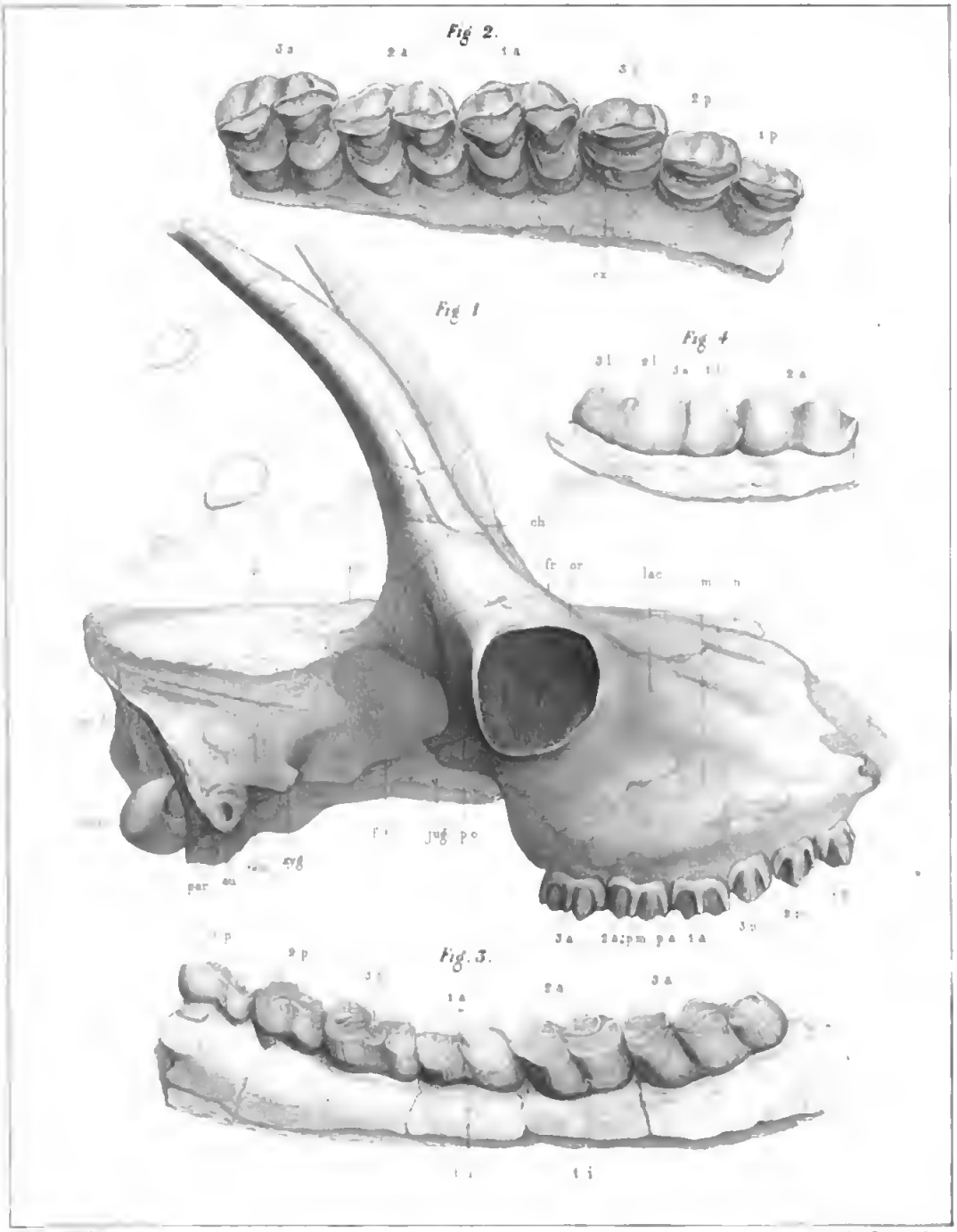

Imp. Becquet Paris

Palæotragus Roueni *Gaud*

La figure 1 est a $\frac{1}{2}$ de la grandeur naturelle, les autres figures sont de grandeur naturelle

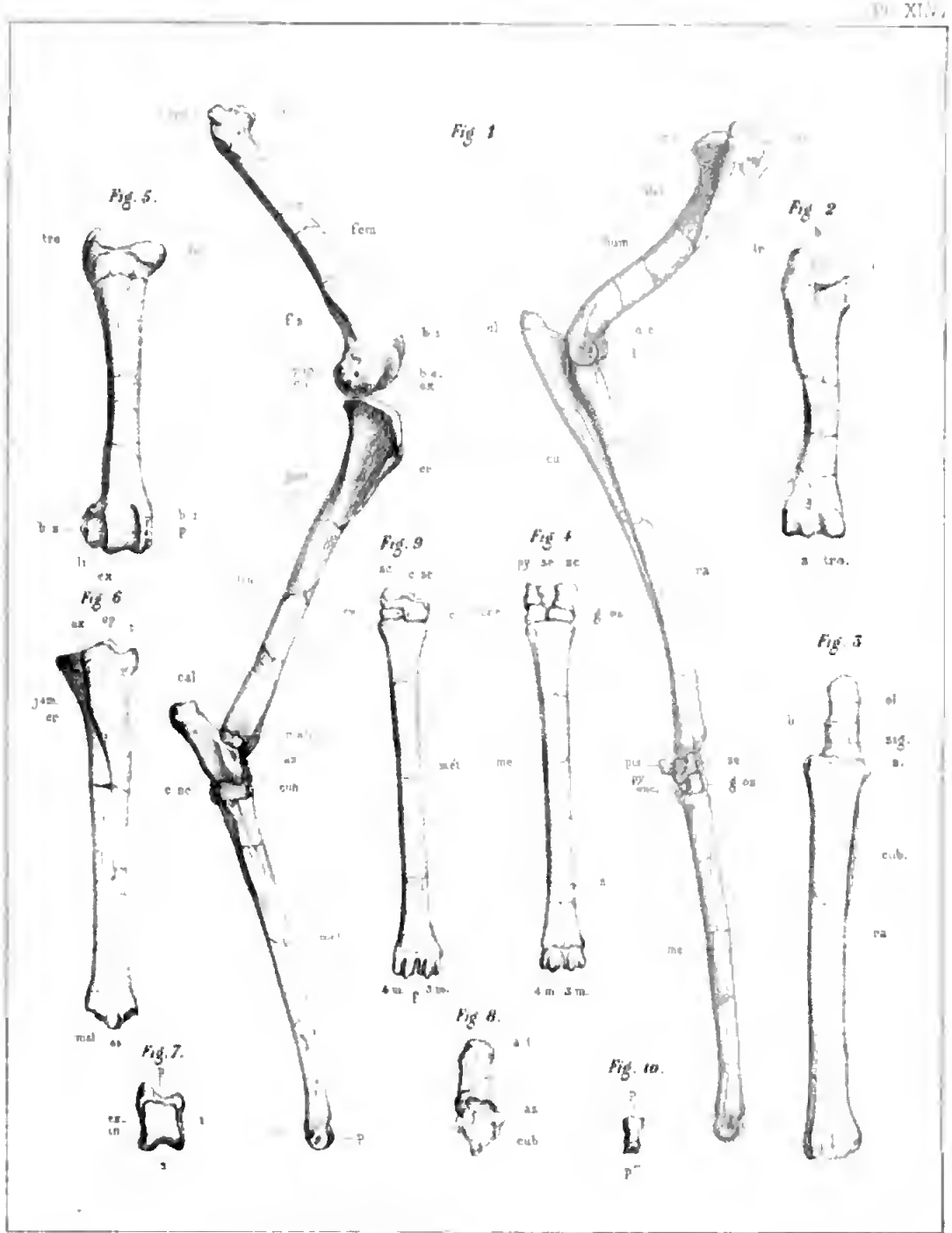

Formant del

Imp. Becquet, Paris

Grand ruminant dont le genre est encore indéterminé.

au $\frac{1}{6}$ de la grandeur naturelle

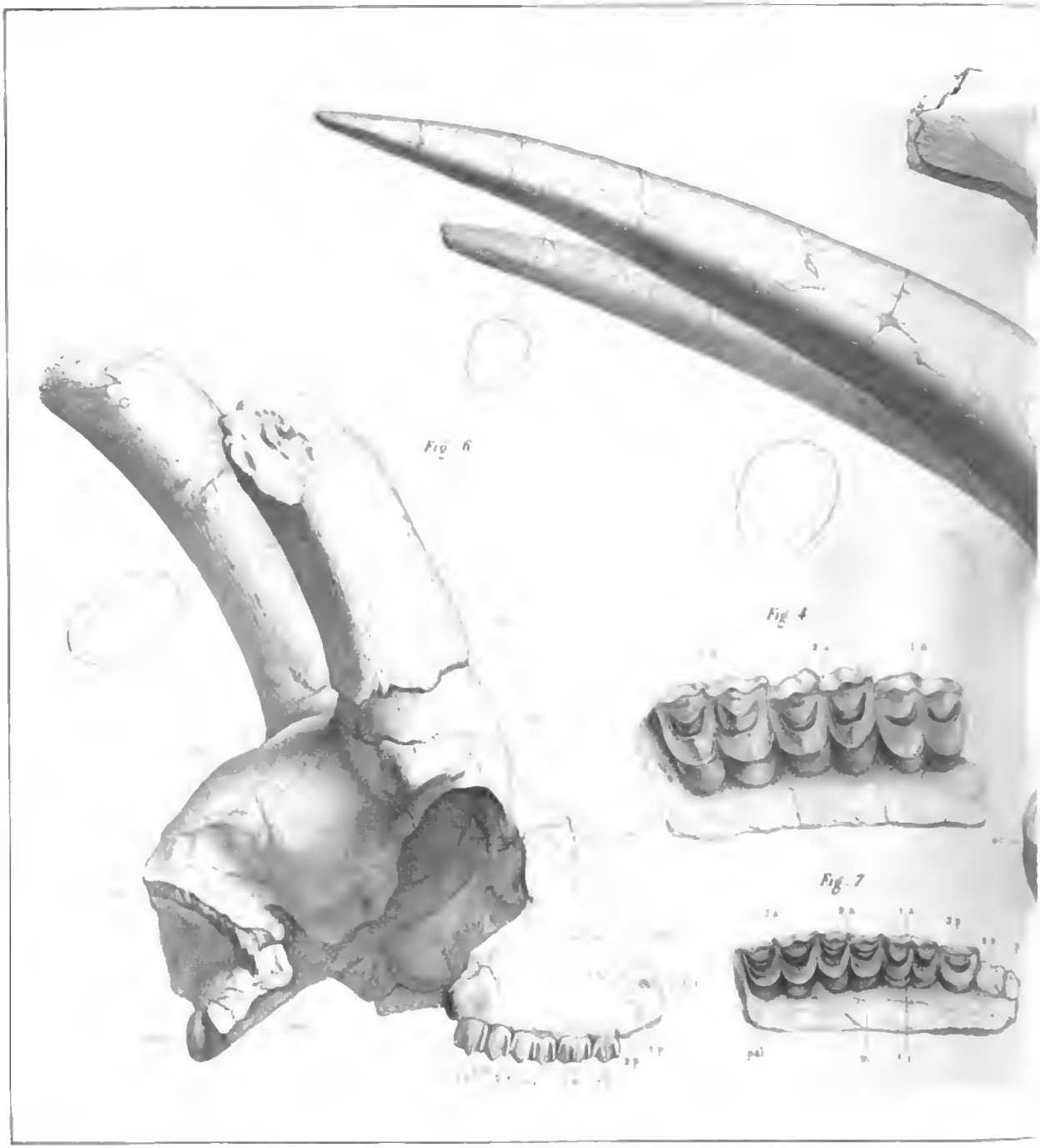

Formant del

Fig 1 2 3 4 5 P.X

Fig 6 7 P —

Les figures 1 et 6 sont aux $\frac{2}{3}$ de la g

Digitized by Google

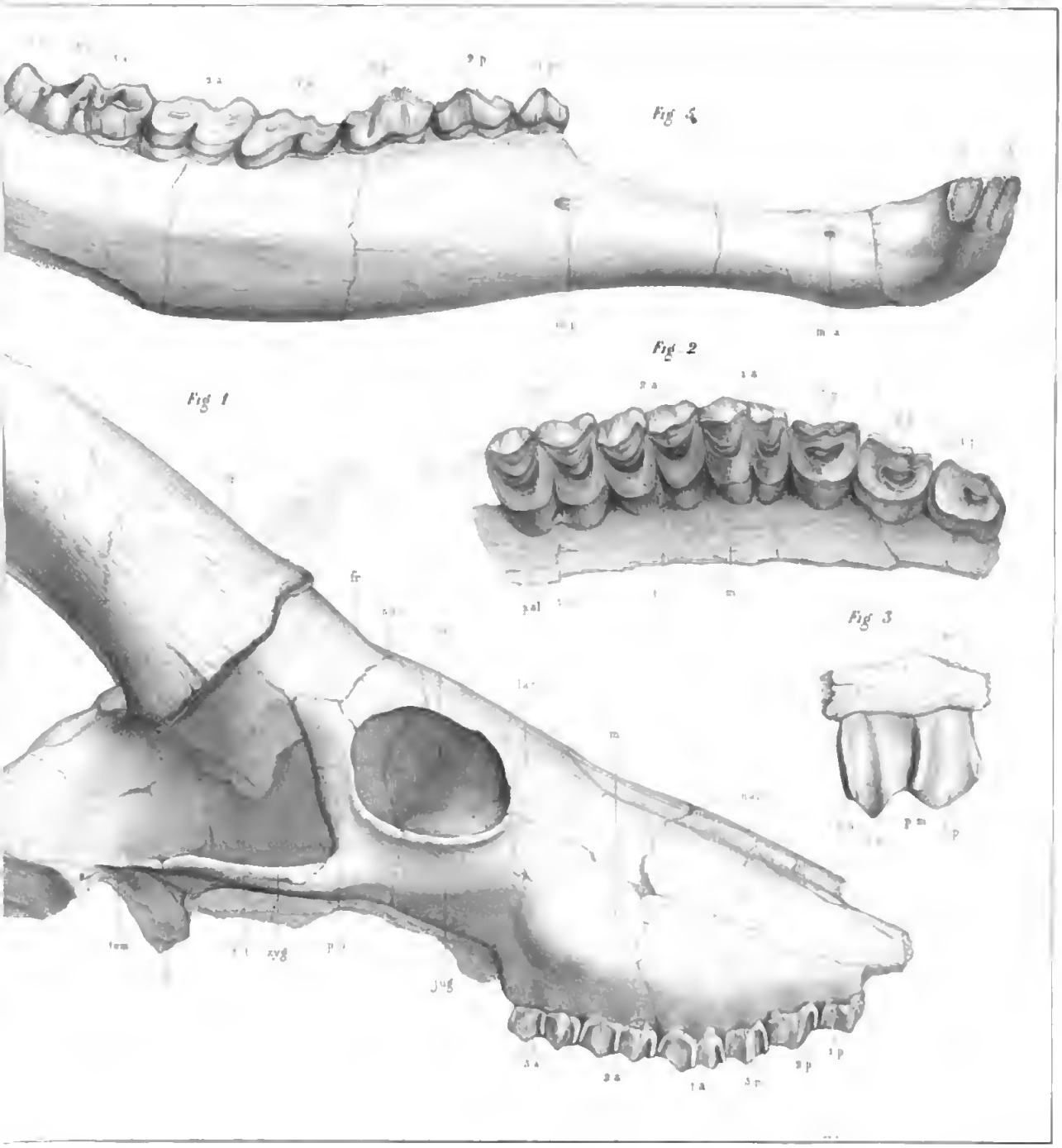

yx Pallasii . *Gaud*
— parvidens . *Gaud.*

- naturelle, les autres sont de grandeur naturelle.

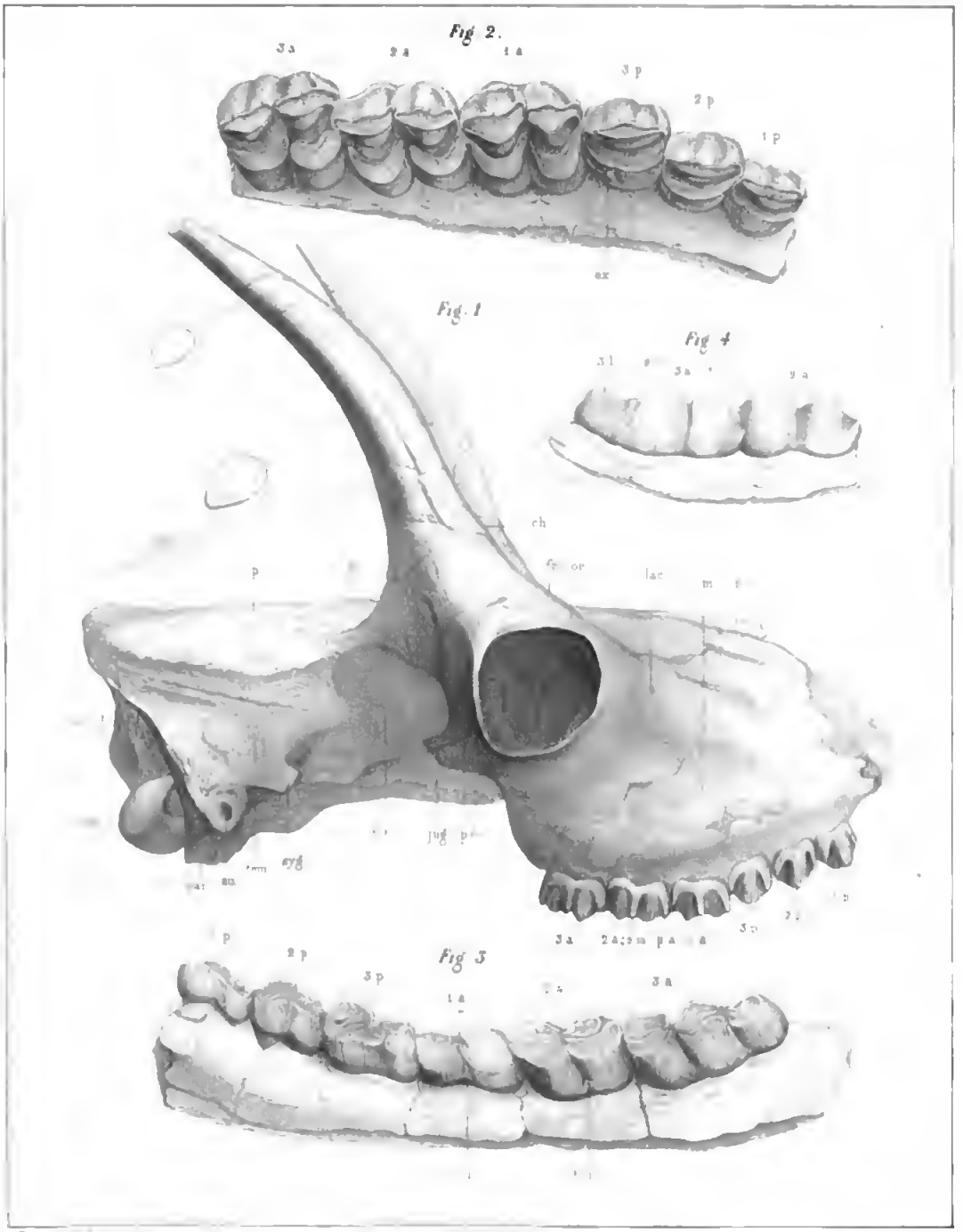

Palaeotragus Rouenn. *Gaud*

La figure 1 est a $\frac{1}{8}$ de la grandeur naturelle, les autres figures sont de grandeur naturelle

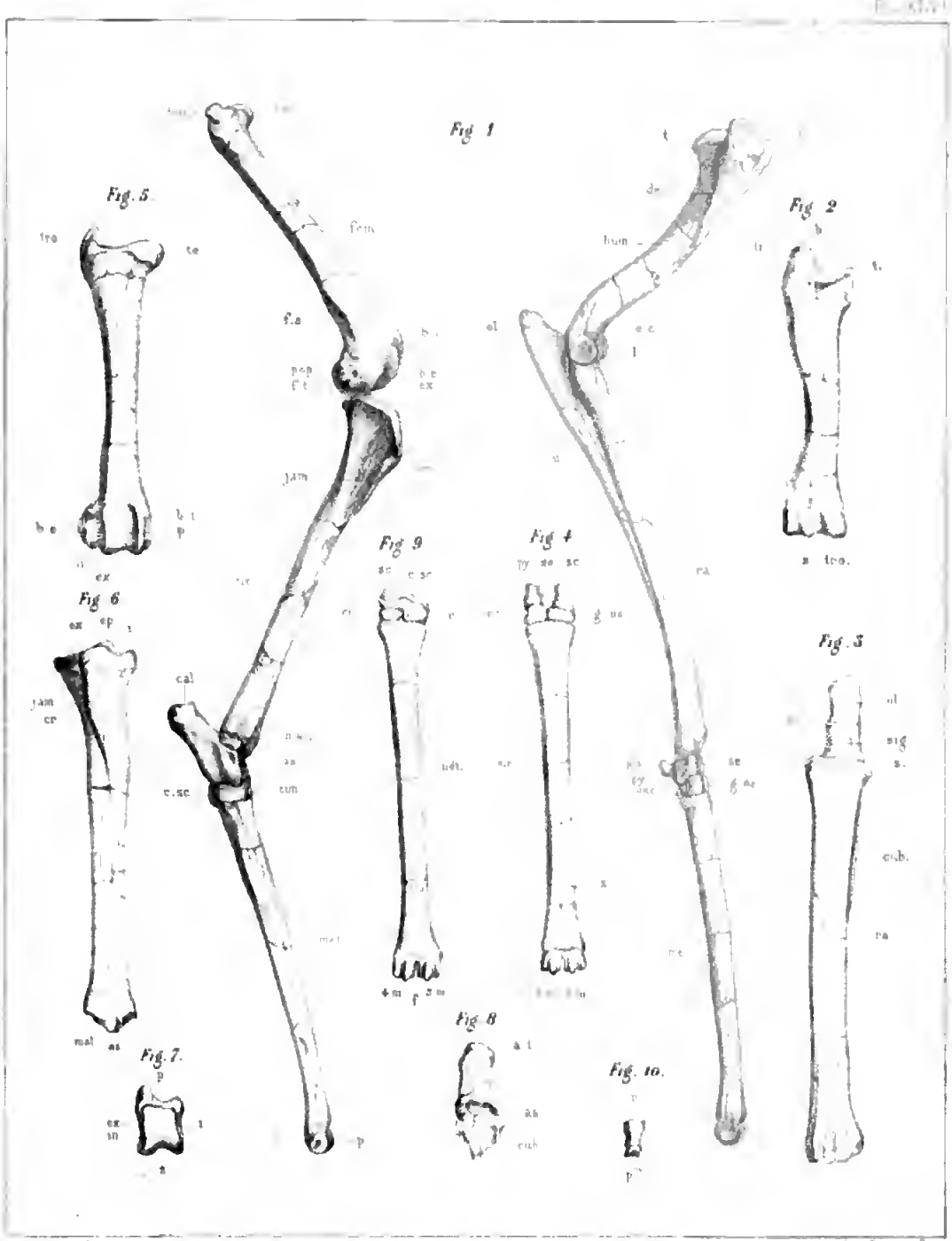

Grand ruminant dont le genre est encore indéterminé.

au $\frac{1}{6}$ de la grandeur naturelle

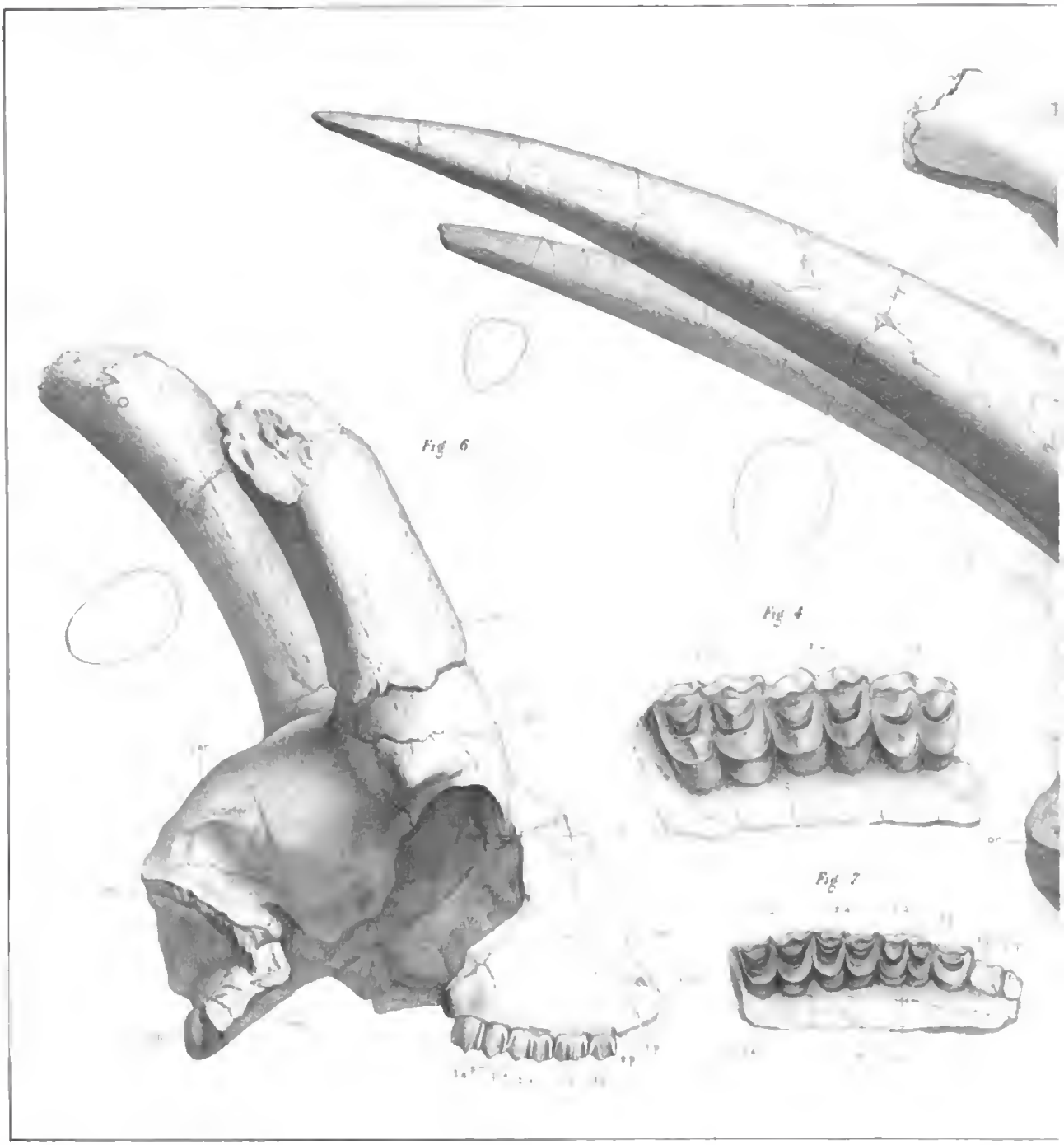

Formant del

Fig 1 2 3. 4. 5 Palæo
Fig 6.7 P.

Les figures 1 et 6 sont aux $\frac{1}{3}$ de la grande

Digitized by Google

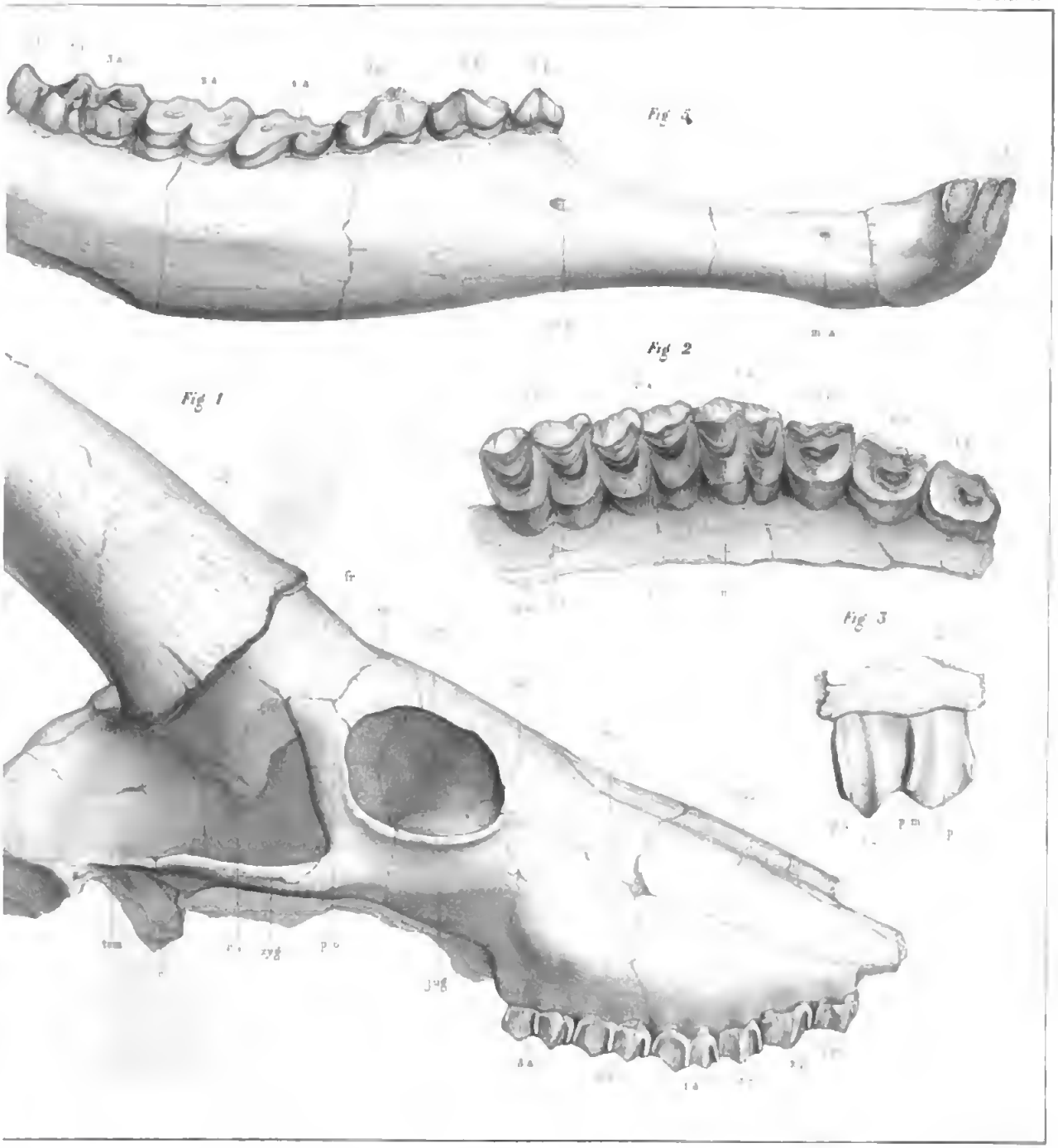

Imp. Bocquet Fils.

/x Pallasii *Gaud*
— parvidens. *Gaud.*

· naturelle, les autres sont de grandeur naturelle.

Digitized by Google

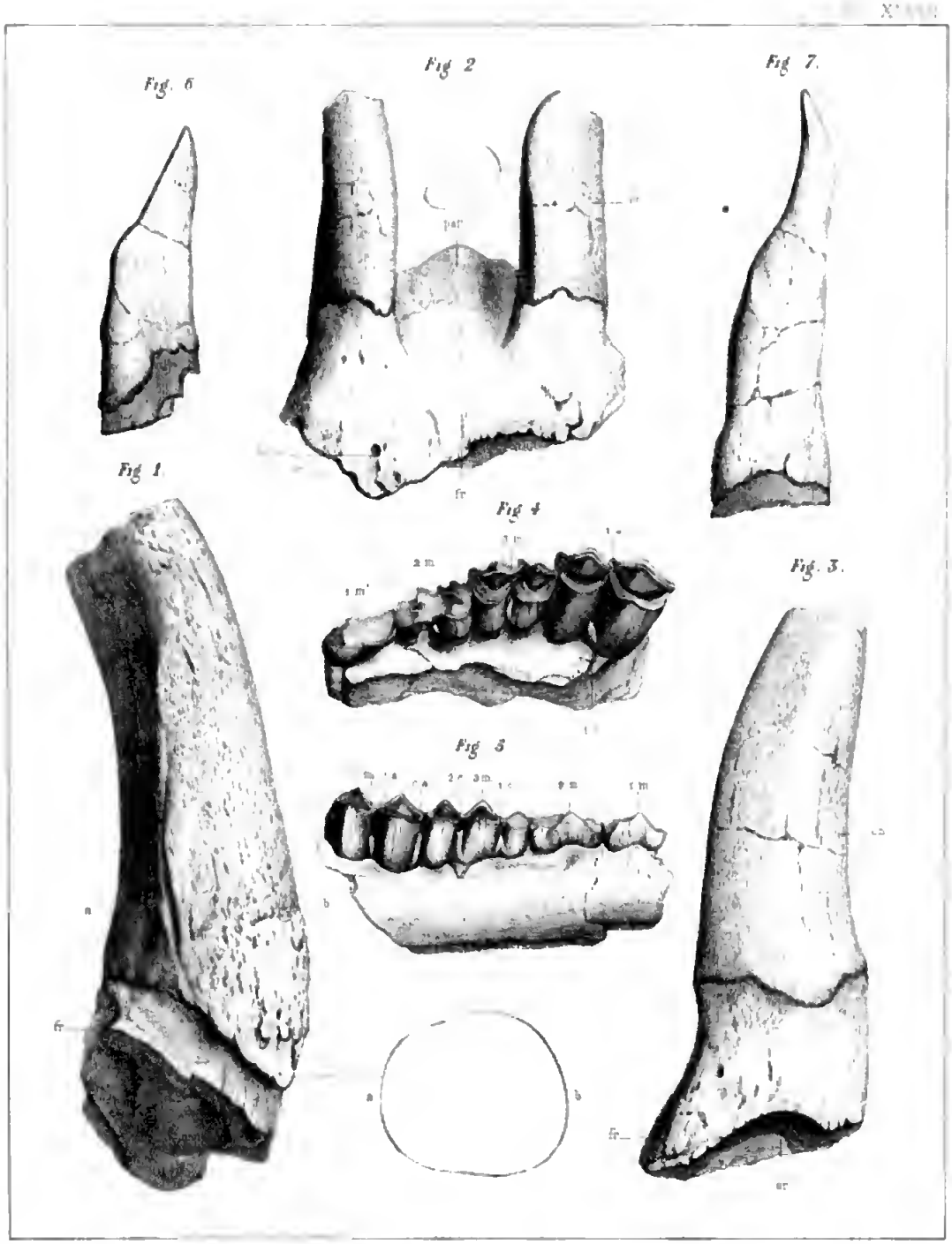

Imp. Bernard Paris

Fig. 1. Squelette dont le genre est encore indéterminé

Fig. 2 et 3. Tragocerus Valenciennesi *Gaud*

Fig. 4, 5, 6, 7. T. ——— amalthea *Gaud.*

Les figures 1, 2 sont aux $\frac{1}{3}$ de grandeur naturelle, les figures 3, 4, 5 sont de gr. nat.; les figures 6 et 7 sont au $\frac{1}{2}$ de la gr. nat.

Digitized by Google

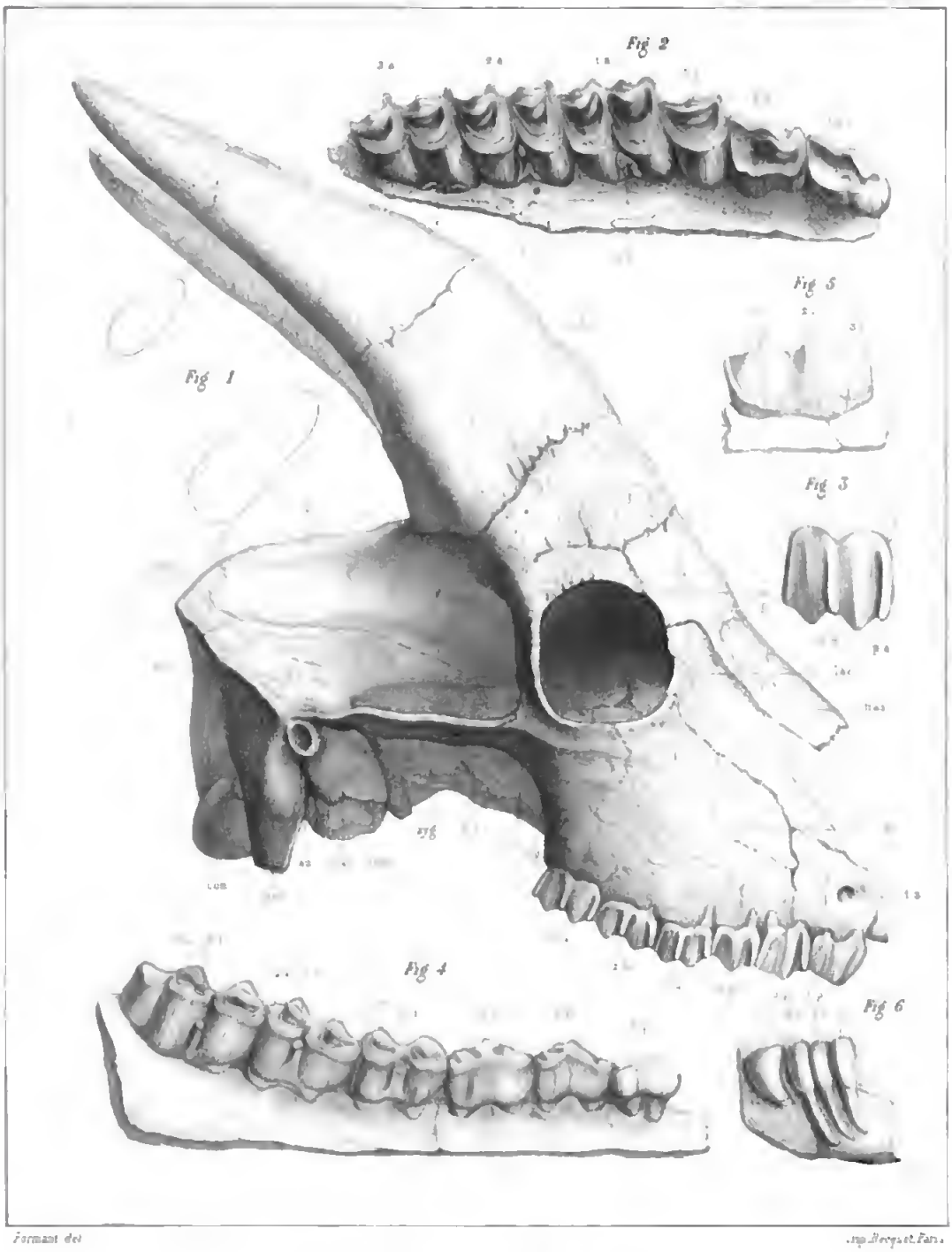

Formant del. Imp. Bergeret et Fils.

Tragocerus amaltheus

Fig 1 aux $\frac{1}{3}$ de la grandeur naturelle
Fig 2, 3 & 5, 6, gr nat

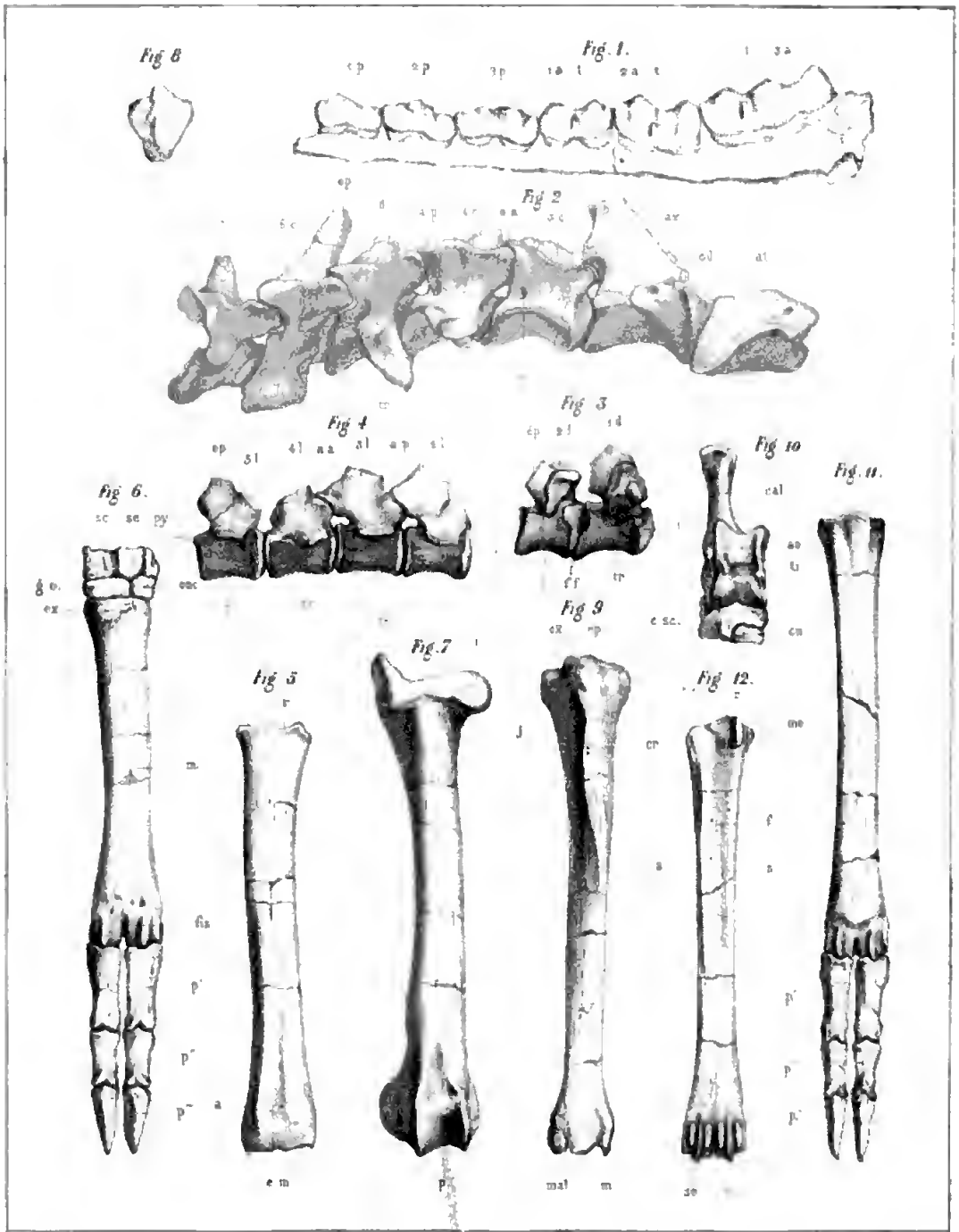

Formant del

Imp. Bocquet Paris

Tragocerus amaltheus

La figure 1 est de grandeur naturelle ; les autres figures sont au $\frac{1}{3}$ de la gr nat

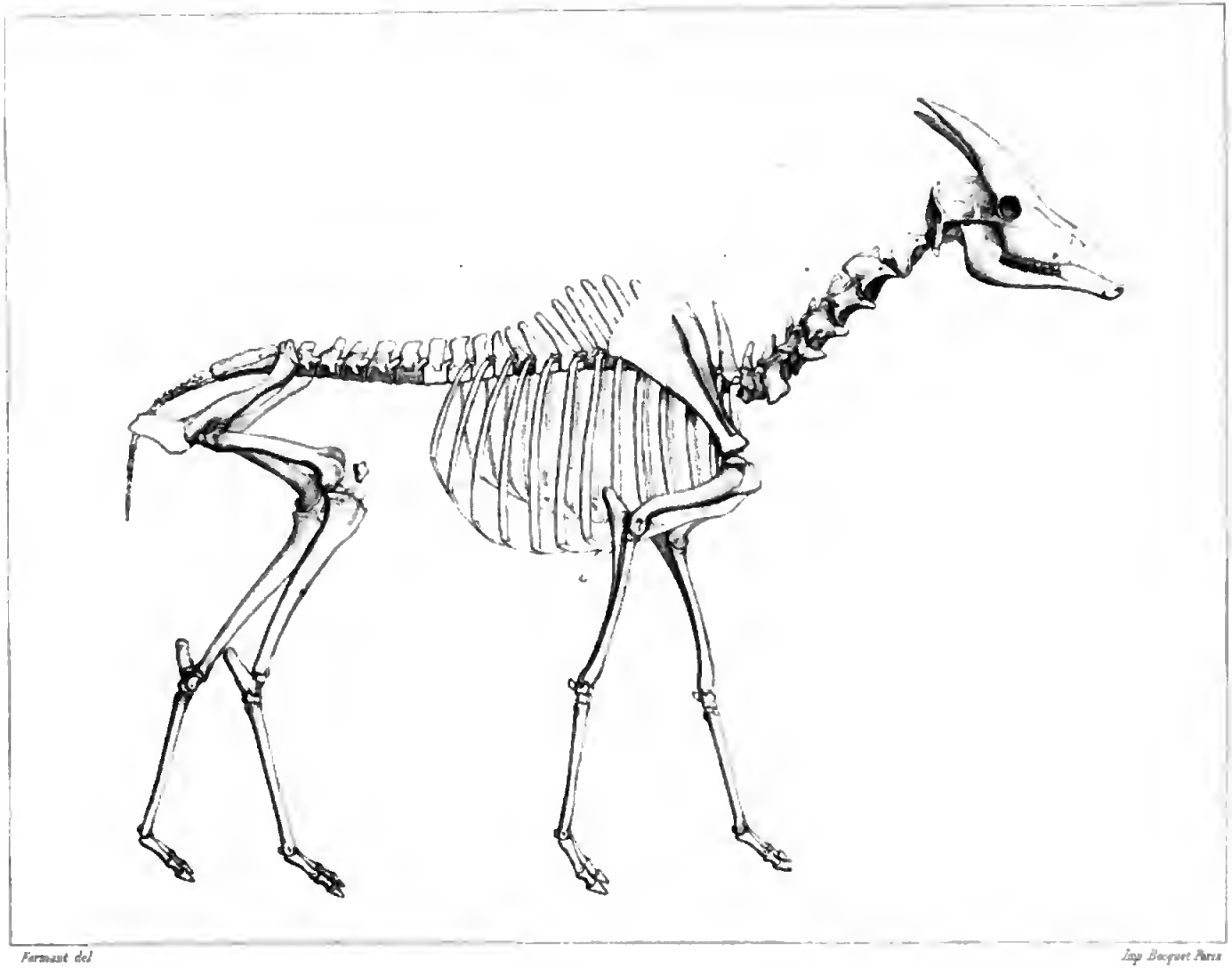

Formant del *Imp Becquet Paris*

Tragocerus amaltheus

au $\frac{1}{6}$ de la grandeur naturelle

Digitized by Google

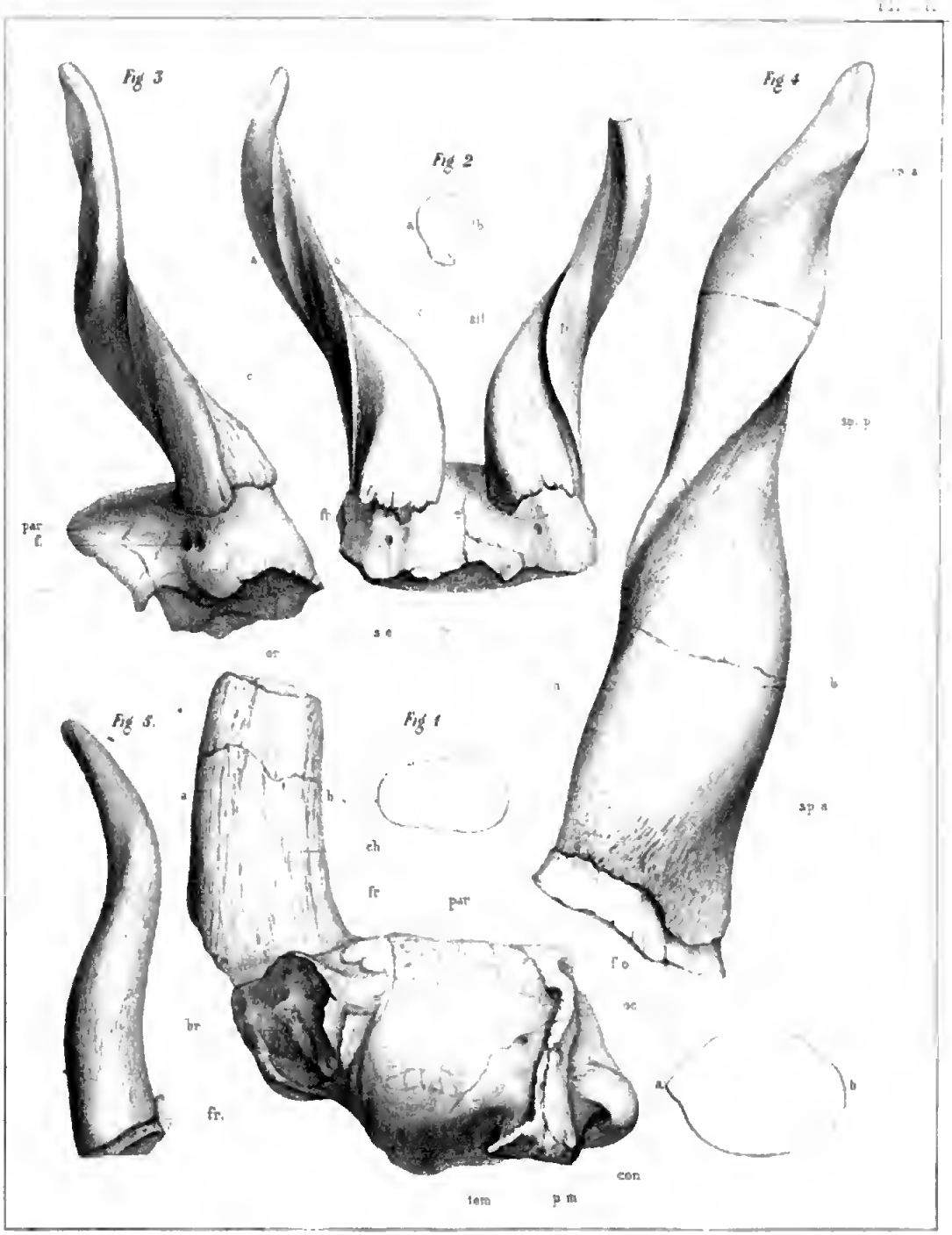

Formant del

Imp. Bonnet Paris

Fig 1 Antilope dont le genre est indéterminé.
Fig 2, 3 Antidorcas ? Rothii *Gaud*
Fig 4 5 Palæoreas Lindermayeri *Gaud*

Les figures 1 et 5 sont au ⅓ de la grandeur naturelle les figures 2 et 3 sont aux ½ la figure 4 est de grandeur nat

Digitized by Google

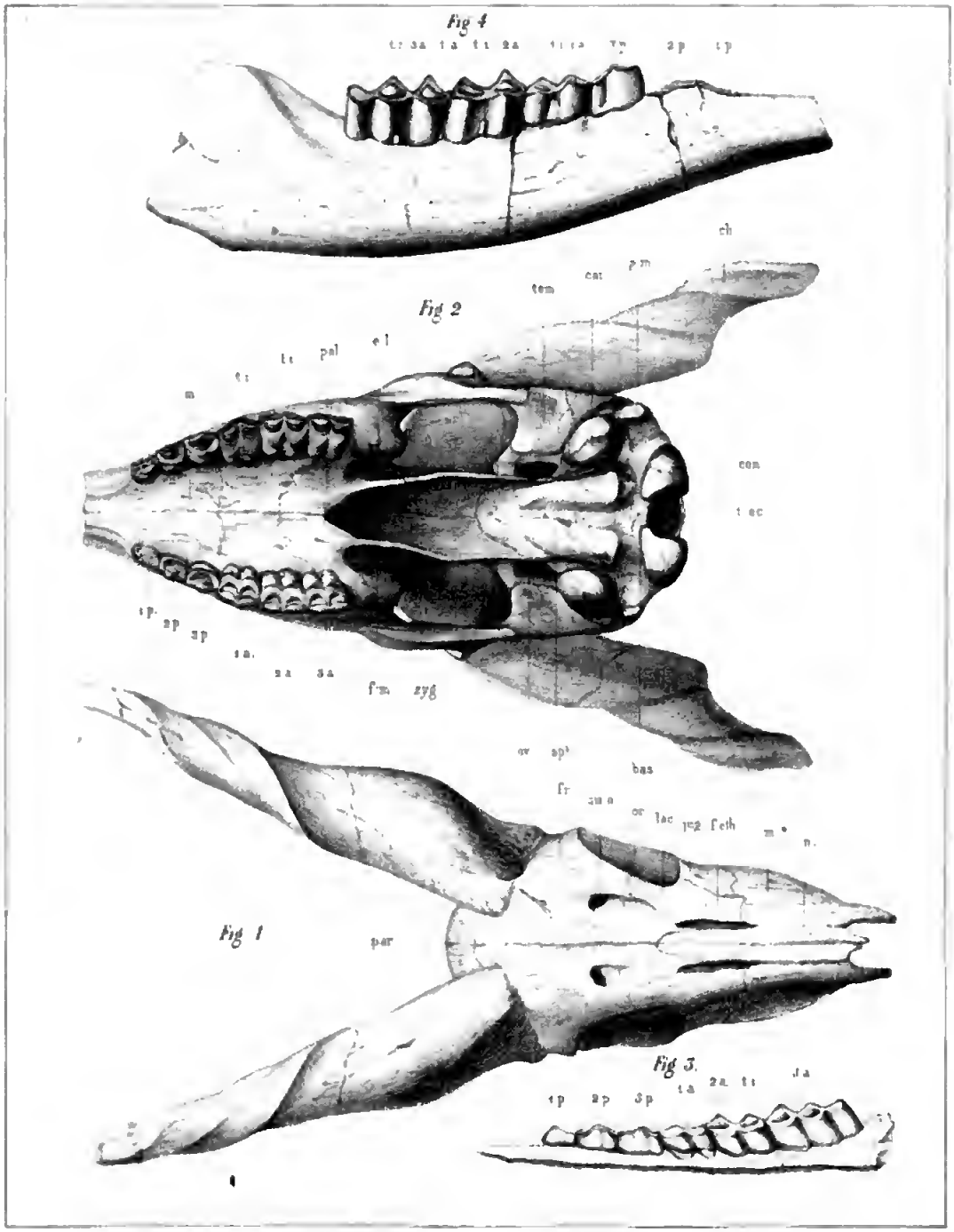

Formant del

Imp Becquet, Paris

Palæoreas Lindermayeri.

La figure 1 est à $\frac{1}{4}$ de la grandeur naturelle la fig 2 est aux $\frac{2}{3}$ les fig 3 et 4 sont de gr nat

Digitized by Google

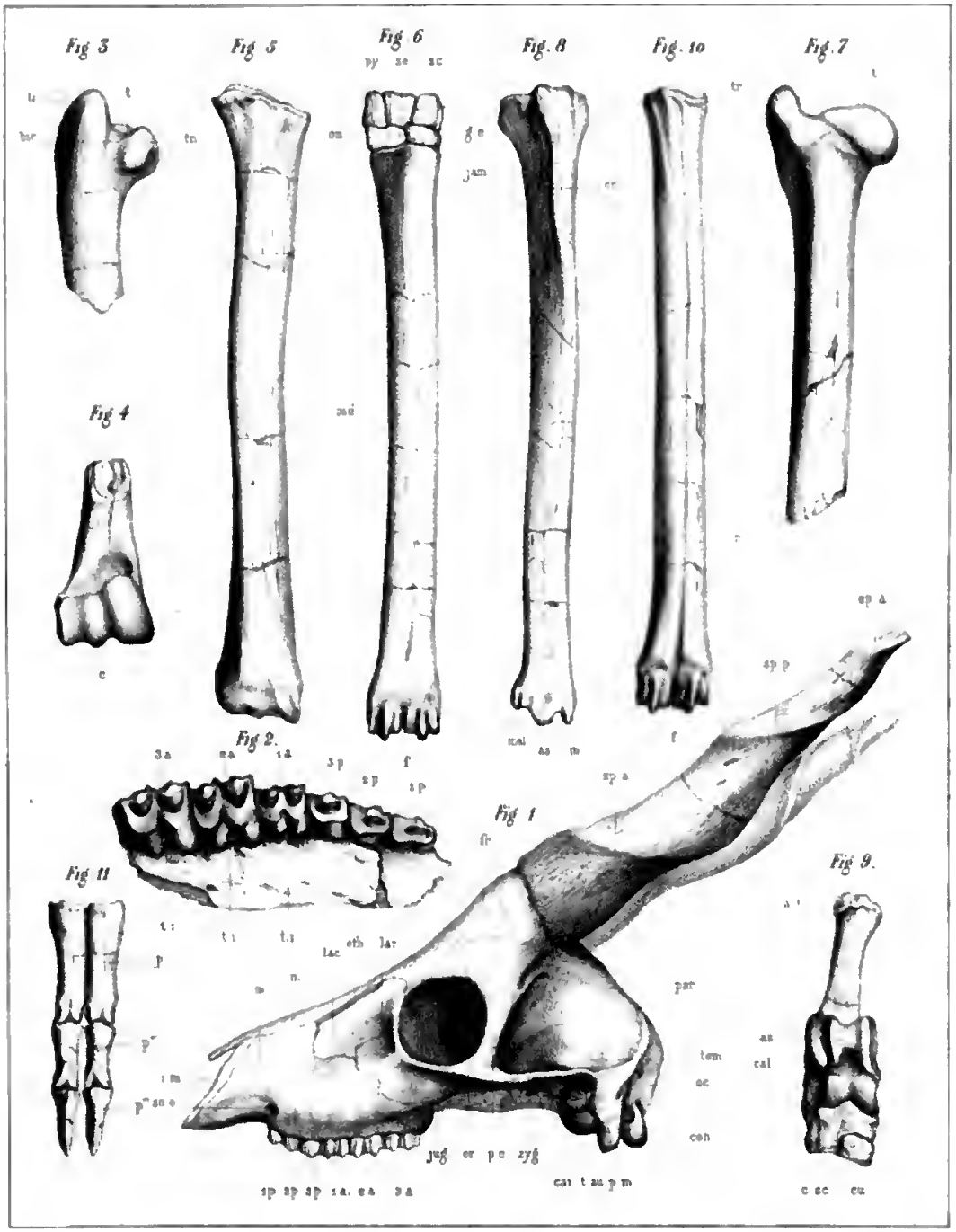

Formant del

Imp. Becquet, Paris

Palæoreas Lindermayeri.

La figure 1 est à $\frac{1}{2}$ de la grandeur naturelle, la figure 2 est de gr nat, la figure 8 est aux $\frac{1}{9}$, les autres figures sont aux $\frac{2}{3}$

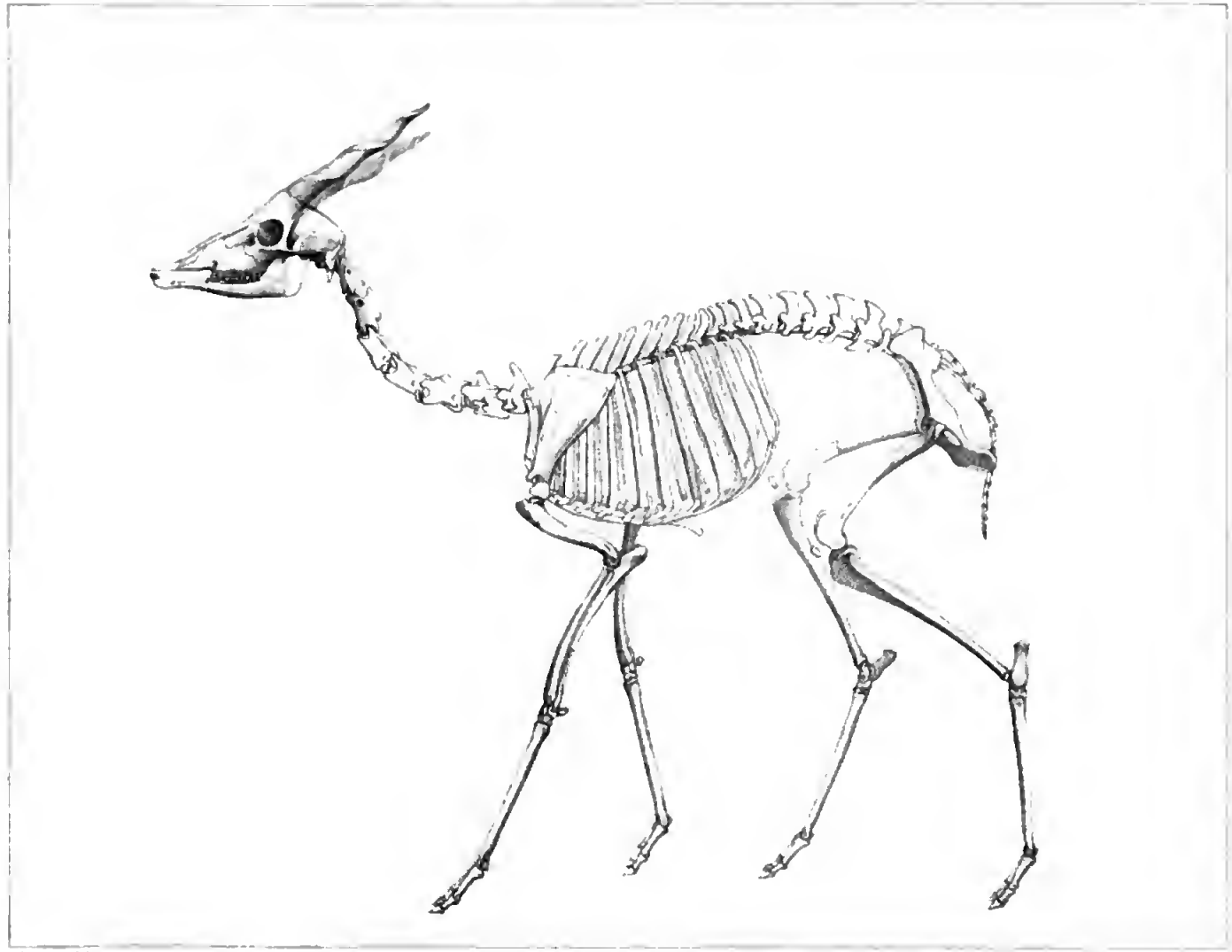

Formant sol

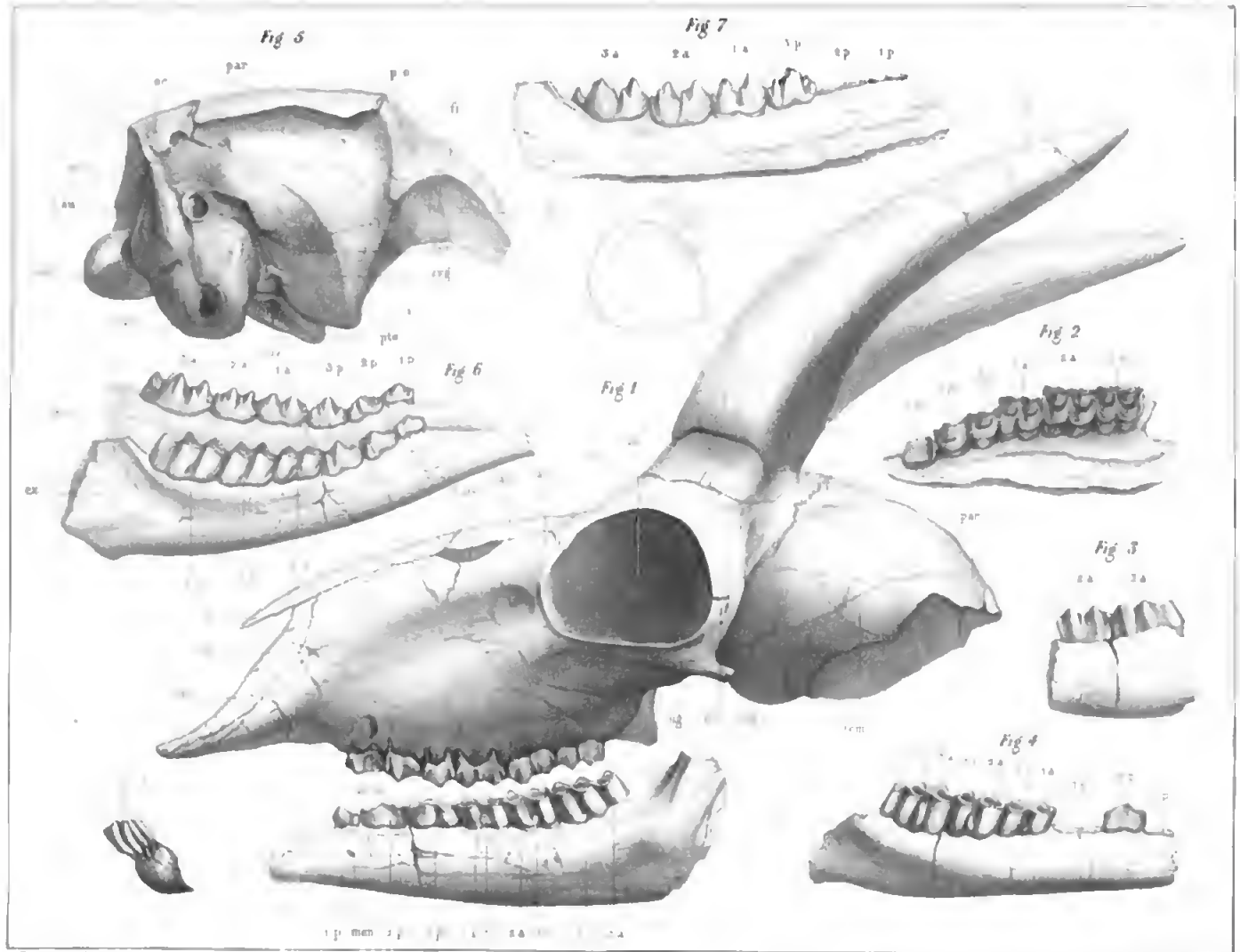

Fig. 1, 2, 3, 4. Gazella brevicornis Gaud.
Fig. 5, 6. [illegible] Lartetii Gaud.
Fig. 7. [illegible]

Tendons parcheminés.

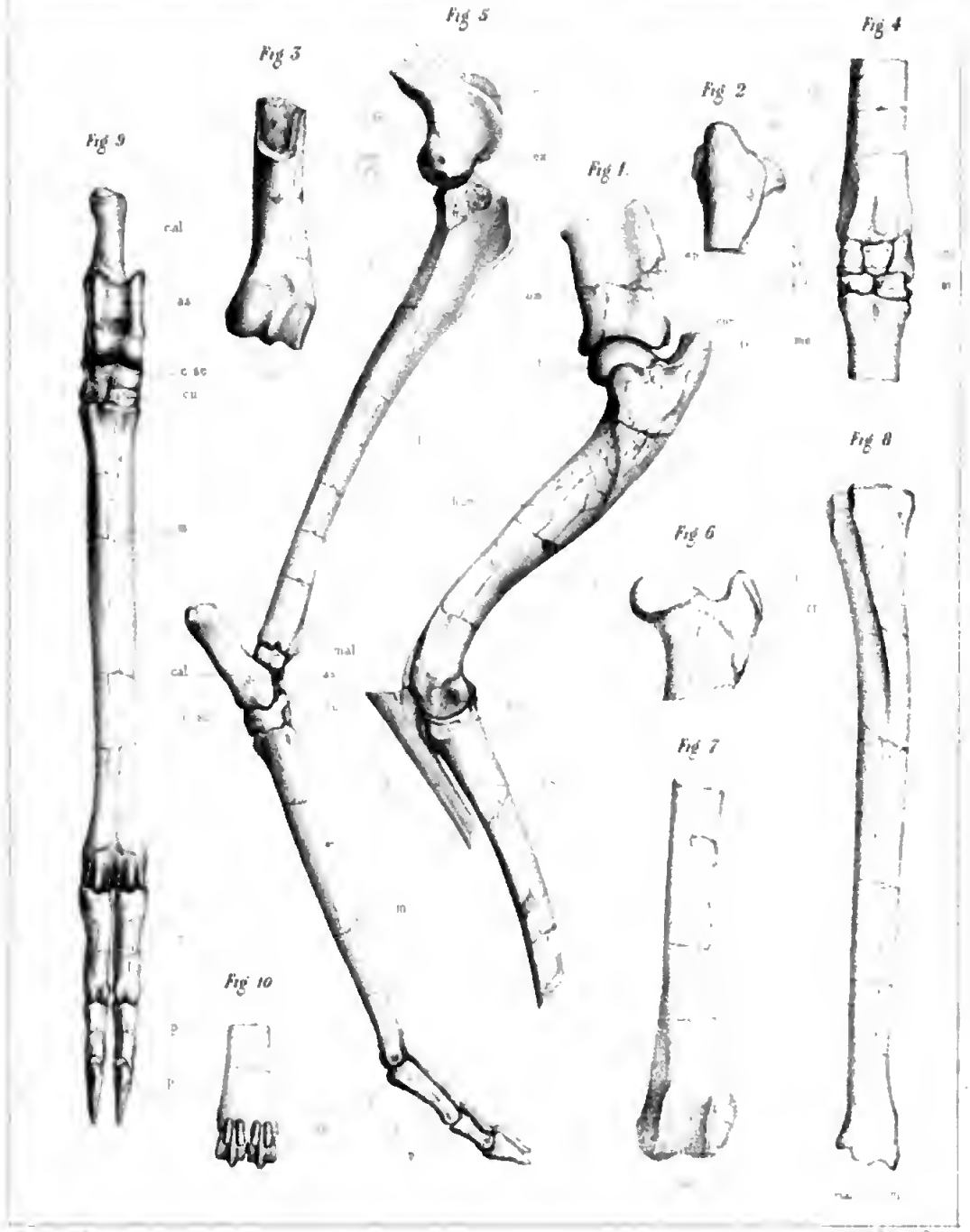

Gazella brevicornis

La figure 5 est a $\frac{1}{2}$ de la grandeur naturelle les autres figures sont aux $\frac{2}{3}$

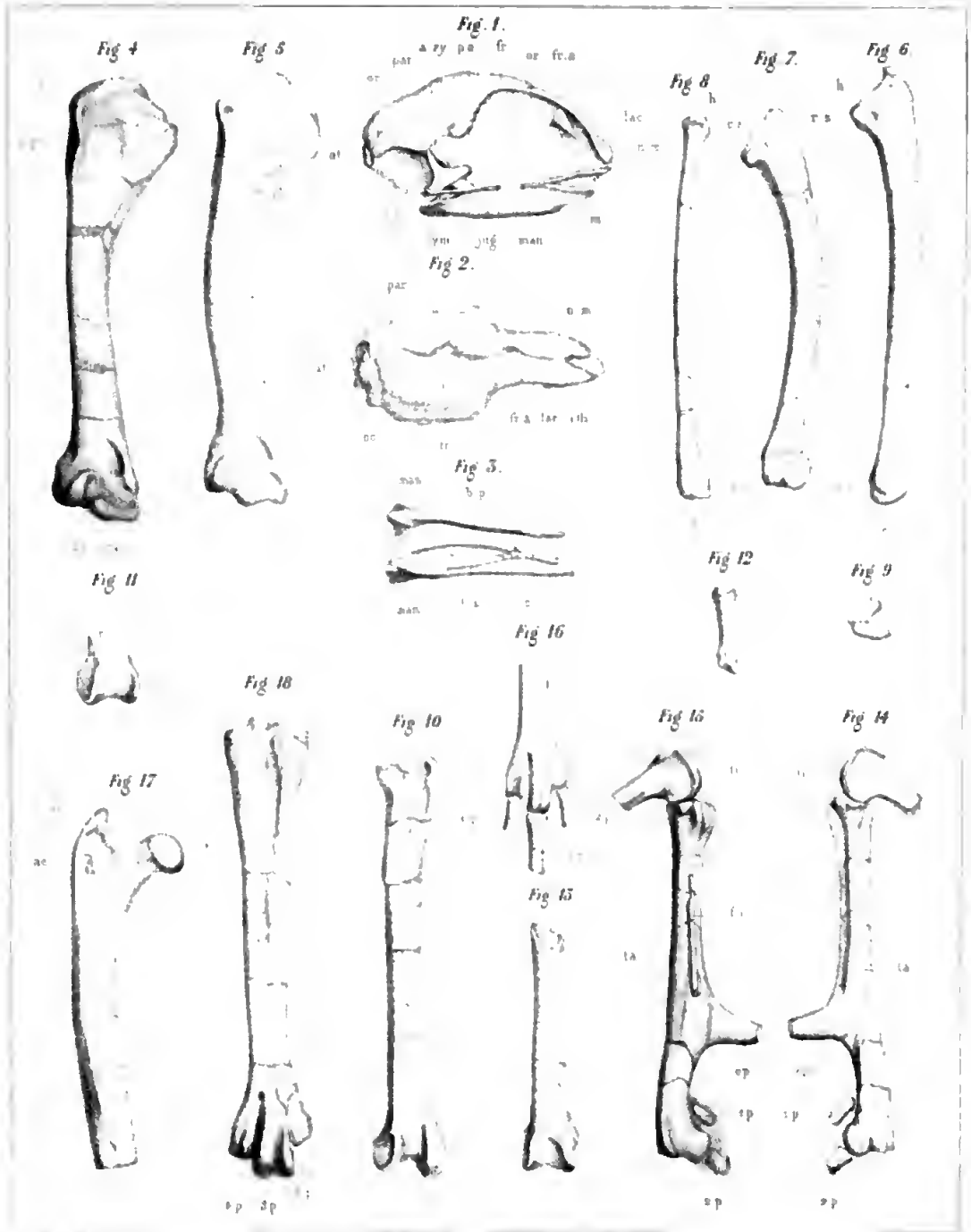

Fig. 1 – 12. Phasianus Archiaci, *Gaud*
Fig 13 14 15.16 Gallus Æsculapii. *Gaud*
Fig 17 et 18 Ossements d'oiseaux indéterminés

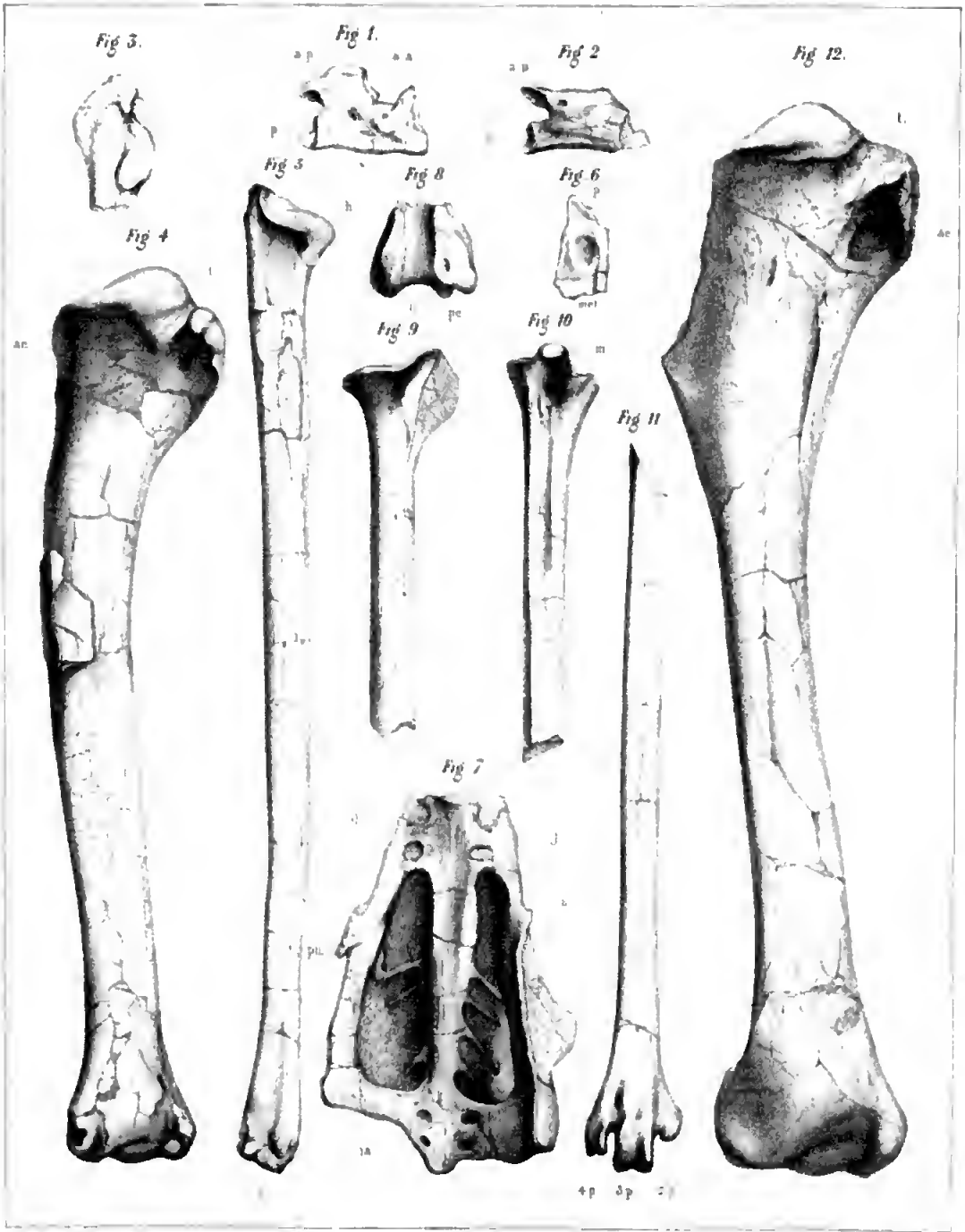

Fig 1 – 11 Grus Pentelici, *Gaud*
Fig 12. Ciconia ? d'espèce indéterminée

Aux $\frac{2}{3}$ de la grandeur naturelle

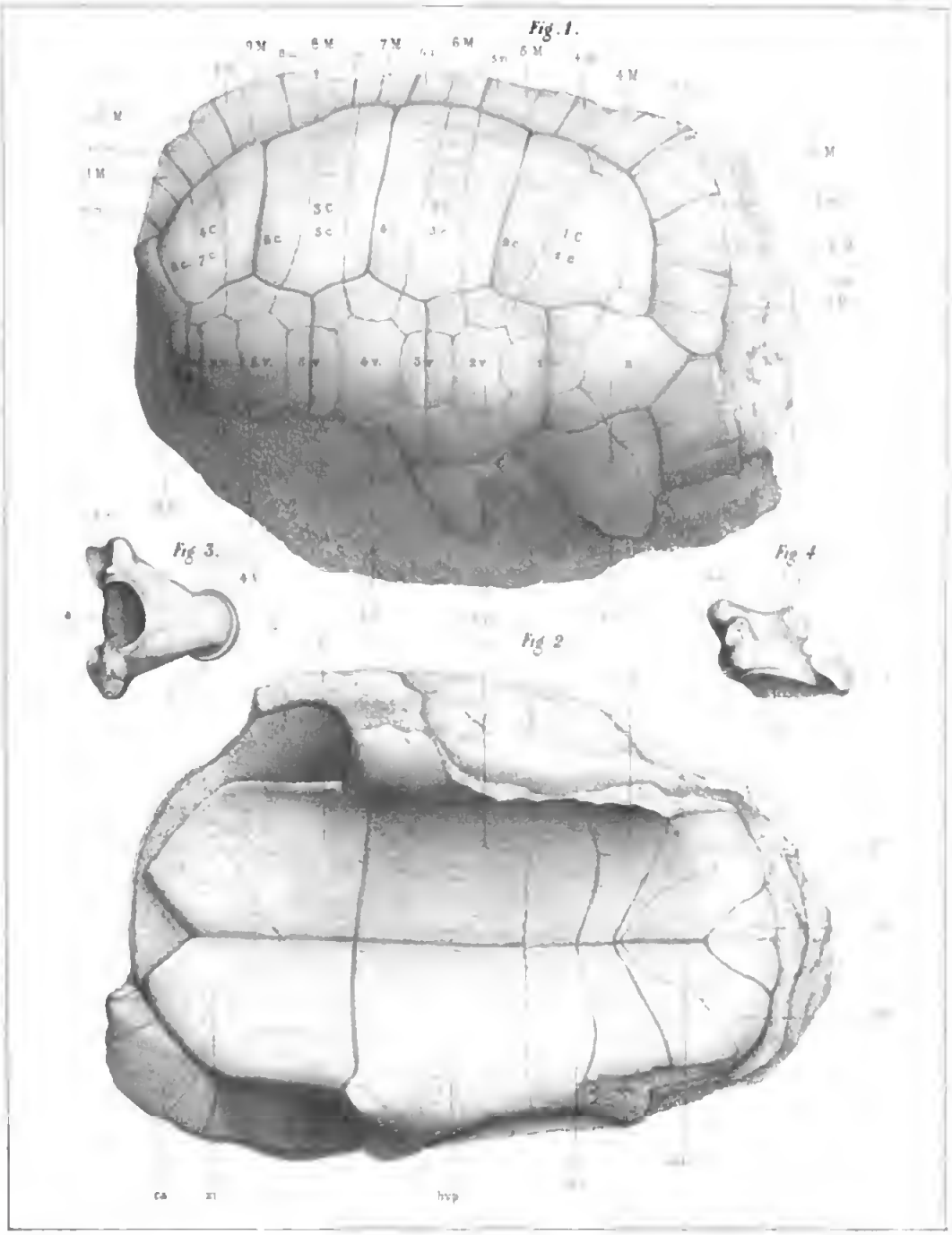

Formant del. Imp. Bernard, Paris

Fig 1 et 2 Testudo marmorum
Fig 3 et 4 Vertèbre analogue à celles des varans

Les figures 1 et 2 sont aux $\frac{2}{3}$ de la grandeur naturelle, les figures 3 et 4 sont de grandeur naturelle

Digitized by Google

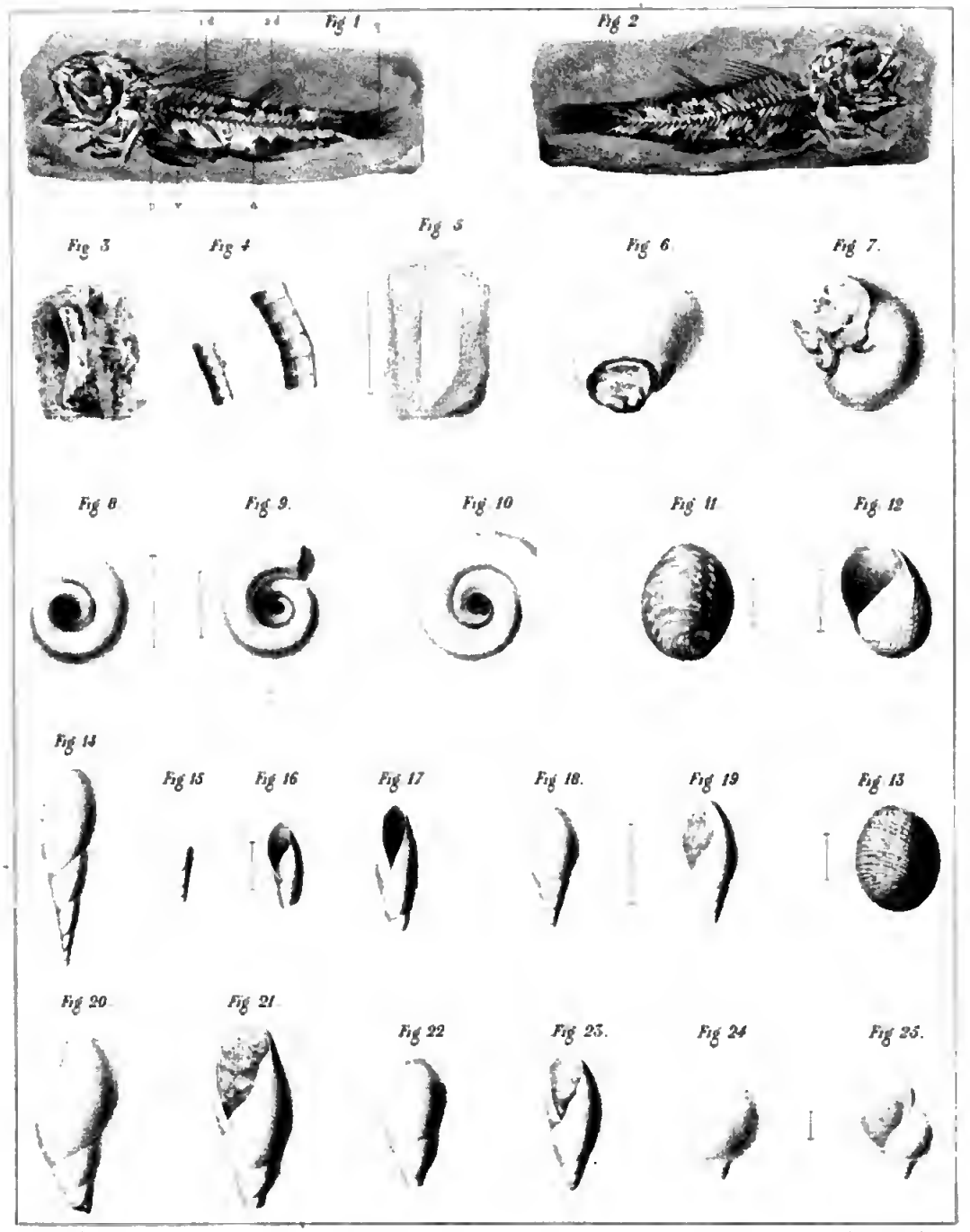

Fig 1. 2 Smerdis Isabellæ *Gaud (ap Val)* _ Fig 3. 4 Myriapode _ Fig 5 Elytre de coleoptère Fig 6. 7. Helix de Pikermi _ Fig 8 9 Planorbis Thiollierᵉ *Mich* _ Fig 10 Planorbis solidus. *Thomæ* _ Fig 11 _ 13 Neritina micans *Gaud et Fisch* _ Fig 14 _ 17 Limnæa megarensis *Gaud et Fisch* _ Fig 18 19 Limnæa pseudo-palustris *d'Orb* _ Fig 20 _ 23 Limnæa Forbesi, *Gaud et Fisch* _ Fig 24 25 Limnæa voisine de la L. cylindrica

Les figures qui ne sont pas accompagnées d'une barre sont de grandeur naturelle

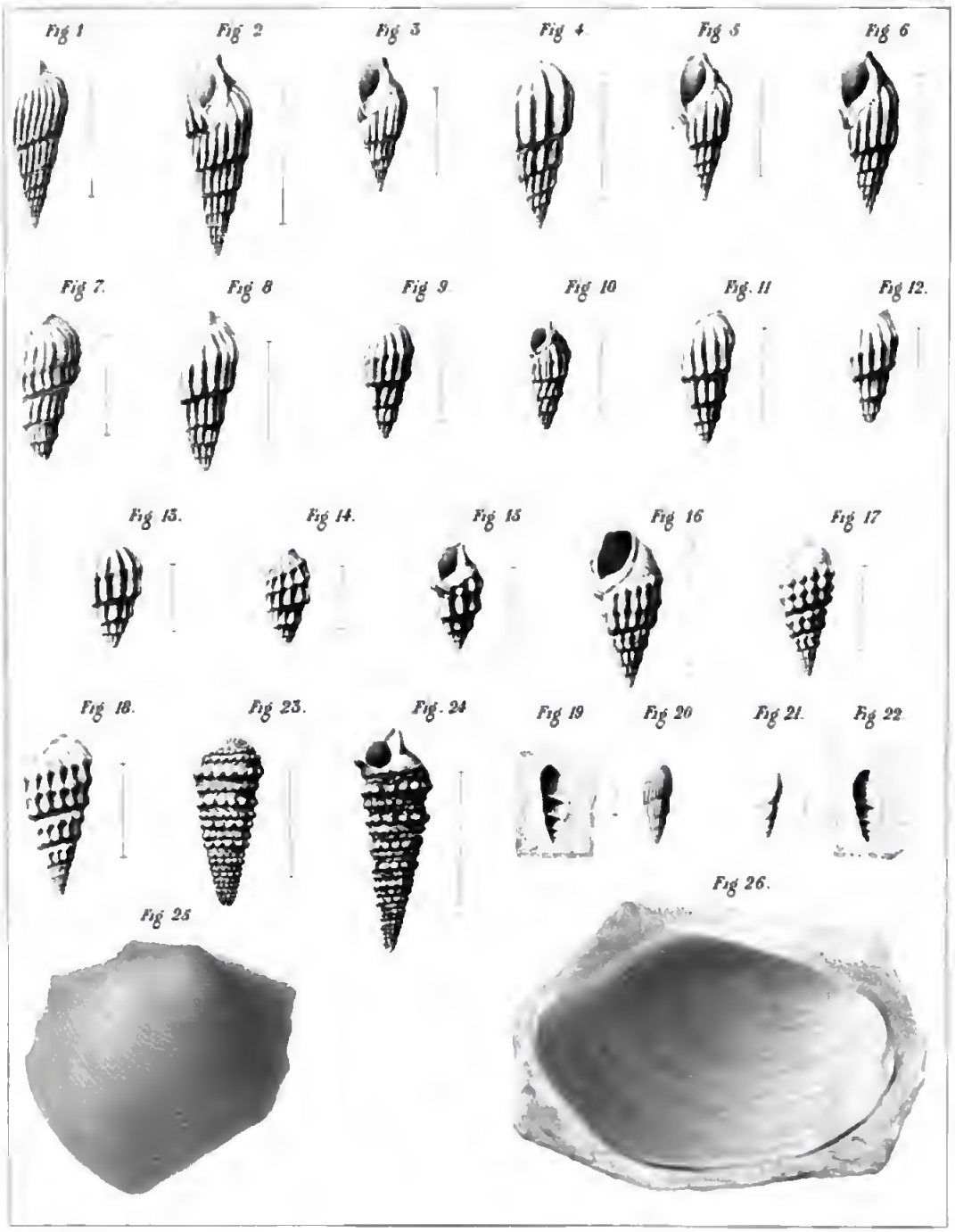

Arnoul del

Imp. Becquet Paris

Fig 1 6 Melanopsis anceps *Gaud et Fisch* _ Fig 7_18 M costata, *Fer* _ Fig 16_18 M Daphnes *Gaud et Fisch* _ Fig 19 20 Melania ? Hamiltoniana, *Forbes* _ Fig 21. 22 Melania _ Fig 23 24 Cerithium atticum, *Gaud et Fisch* _ Fig 25 Alasmodonta _ Fig 26 Anodonta

Les figures qui ne sont pas accompagnées d'une barre sont de grandeur naturelle

Digitized by Google

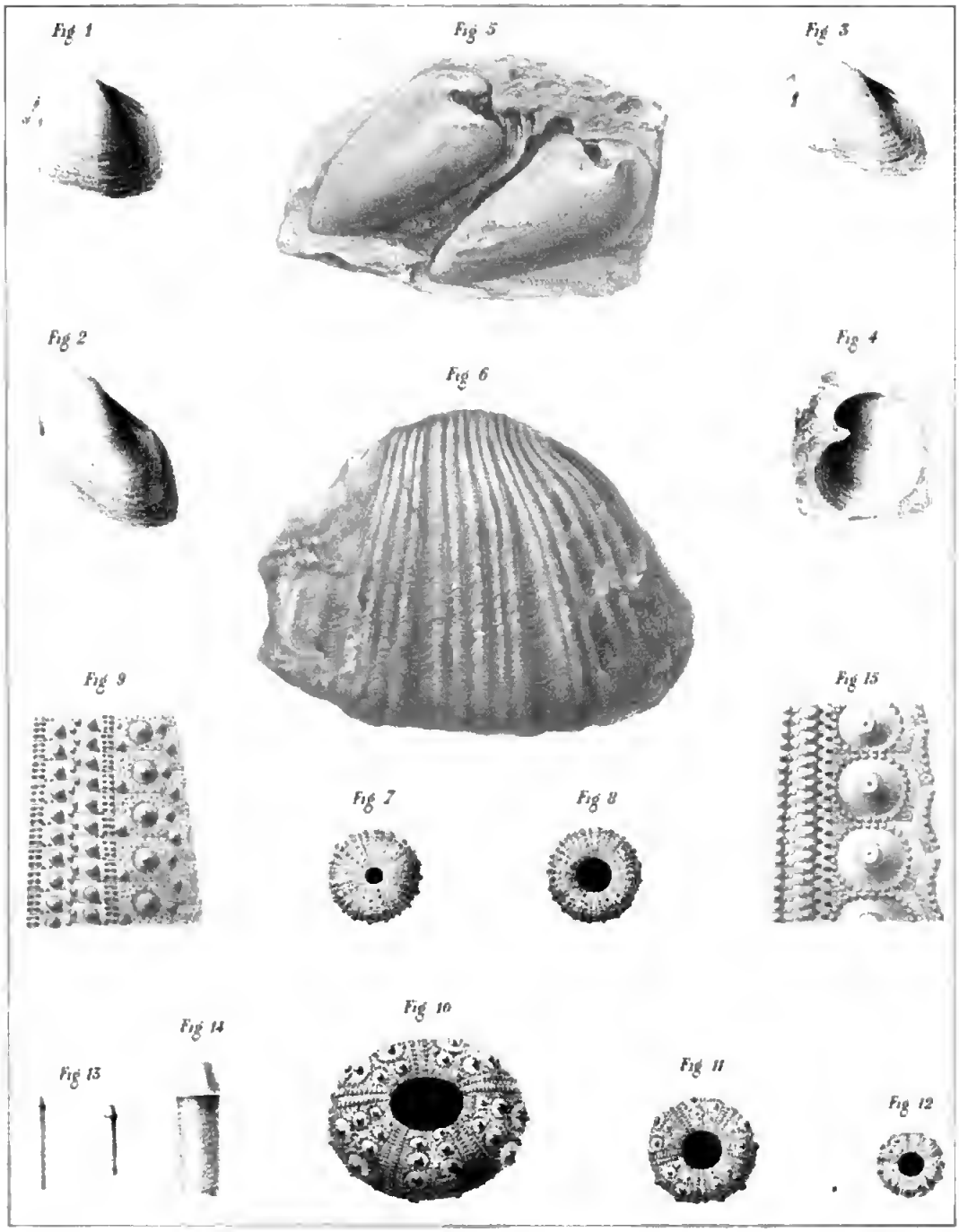

Fig 1_4 Unio atticus *Gaud et Fisch* _Fig 5 Unio _Fig 6 Janira productoides. *Gaud et Fisch* _
Fig 7.8 9 Psammechinus mirabilis, *Deser* (Variete) _Fig 10_15 Cidaris melitensis. *Wright*

La fig 9 est grossie 6 fois la fig 15 est grossie 4 fois la fig 14 est grossie 3 fois les autres figures sont de grandeur naturelle

Digitized by Google

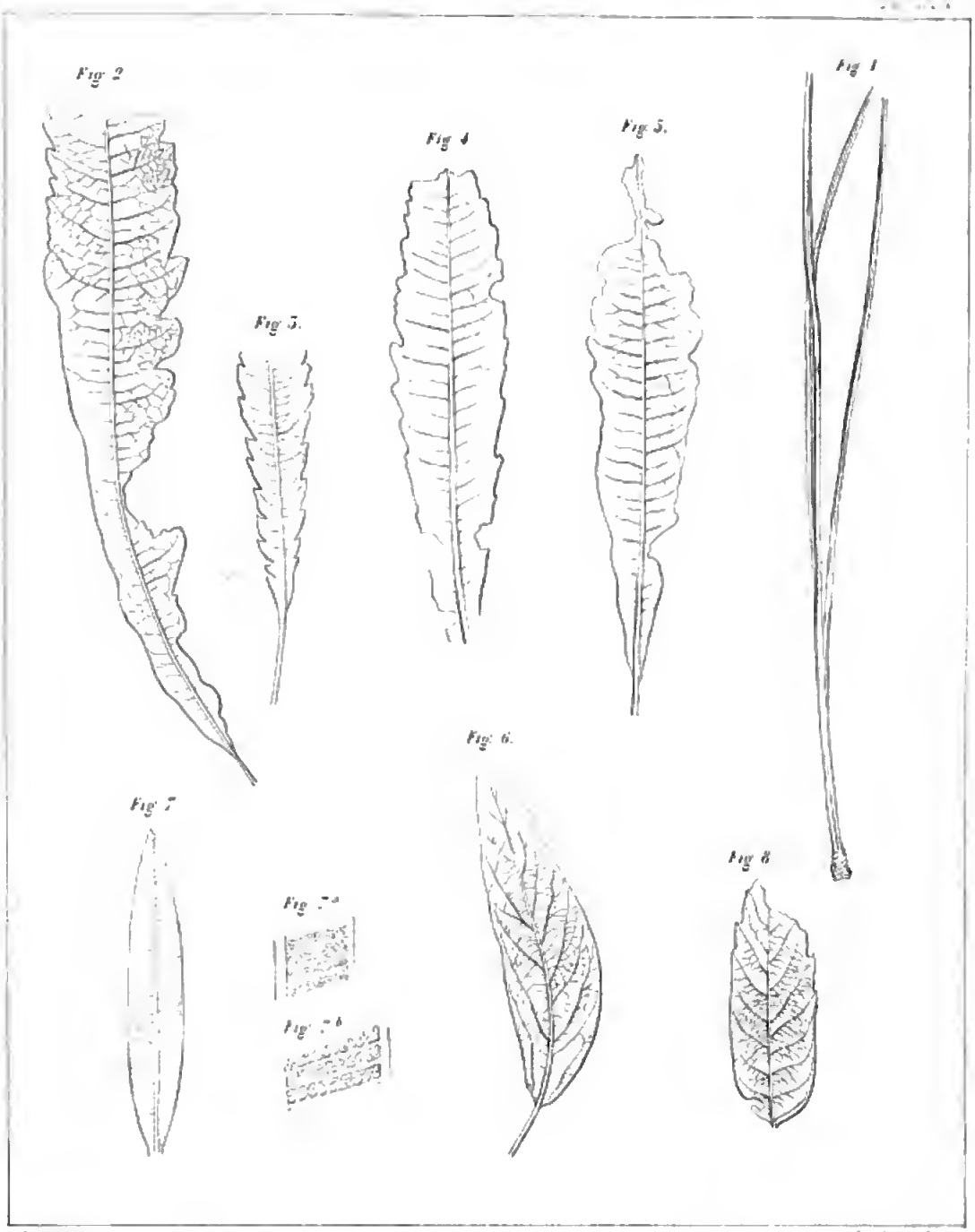

Fig. 1. Pinus hellenica, *Sap.*
Fig. 2, 3. Myrica Ungeri, *Heer*
Fig. 4, 5. Myrica Solonis Banksia Solonis, *Ung.*
Fig. 6. Daphnogene delphica, *Sap.*
Fig. 7, 7a, 7b. Nerium Gaudryanum, *A. Braun*
Fig. 8. Rhus cladendroides, *Ung.*

Grandeur naturelle sauf pour 7a et 7b qui sont un peu grossis.

Erhard sc. Imp Becquet Paris

Fig 1 et 2. Grevillea anisobba. *Sap.* Stenocarpites anisobus *A Brong.*
Fig 3 et 4. Grevillea obata? *Ferd Müll.* (*Moreton-bay*) *Herb Mus Par.*
Fig 5 et 7. Grevillea Sp? (Grevillea pulchella? *Meisn.*) *Moreton-bay* (*M Leichard 1865 Herb Mus Par.*)

Grandeur naturelle

Digitized by Google

Fi

Coupe longitudinale de l'Attique, suivant

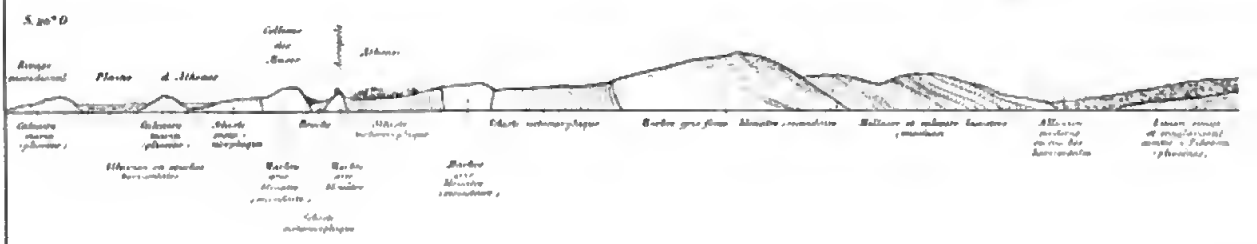

Fi

Coupe transversale de l'Attique, suivant une ligne

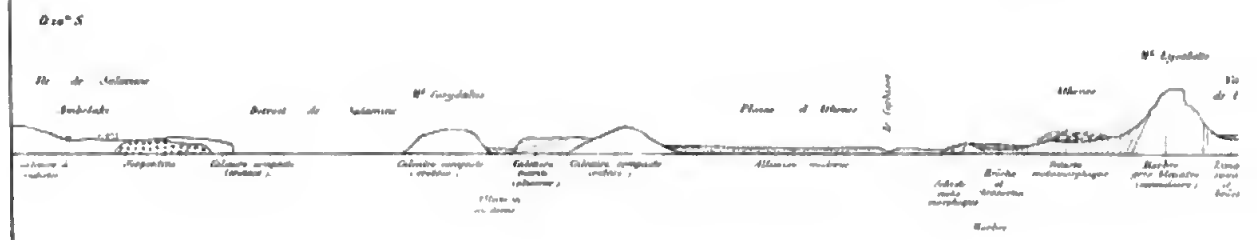

Fi

Vue des terrains qui bordent le rivage, près du poi

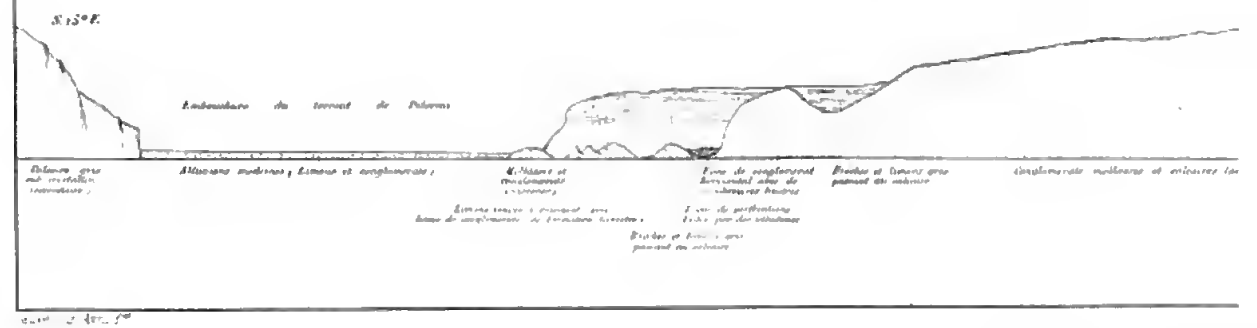

Disposition genera

Digitized by Google

1

ne ligne qui passe par Athènes et Calamo

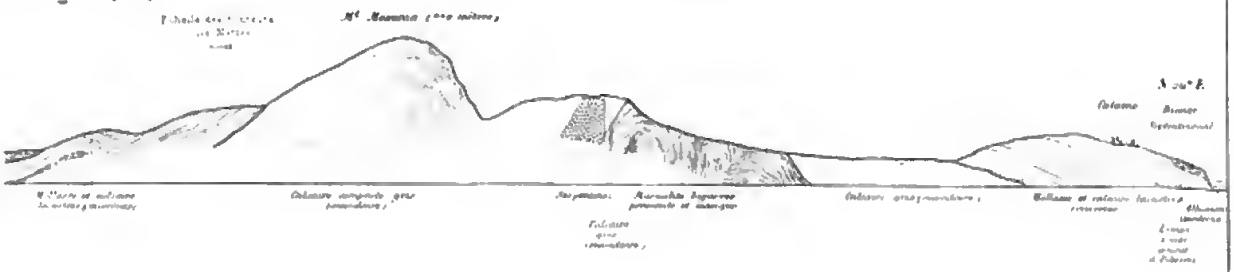

2

n passe par l'île de Salamine, Athènes et Pikermi

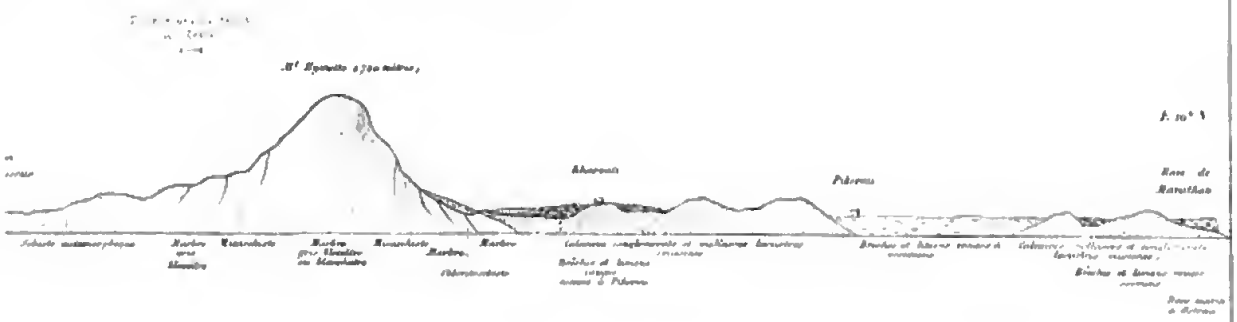

3.

t où le torrent de Pikermi débouche dans la mer

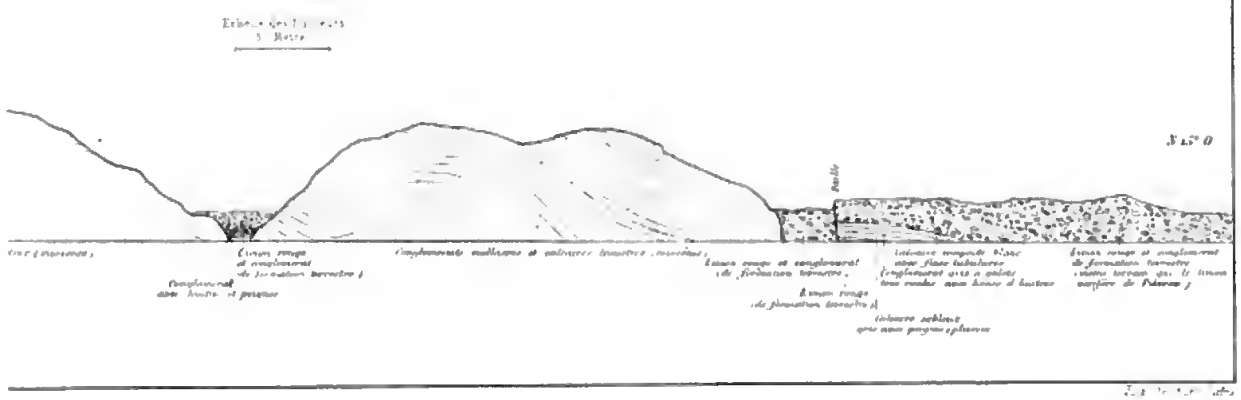

e des couches

Digitized by Google

Fig 1
Coupe du sommet de l'Hymette à Léopesi

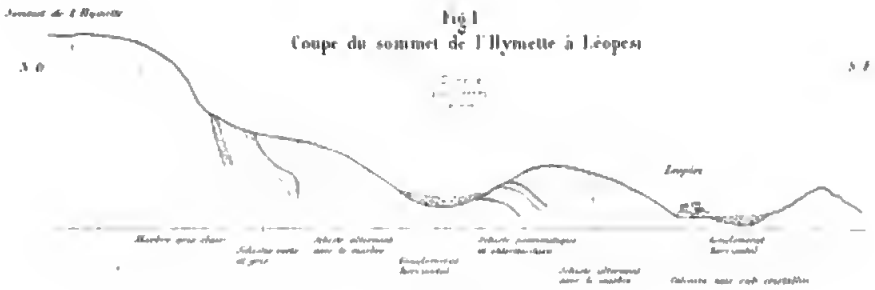

Fig 2
Coupe entre le sommet de l'Hymette et le Monastère de Kœsariani

Fig 3
Coupe de détail au sommet de l'Hymette (partie Nord)

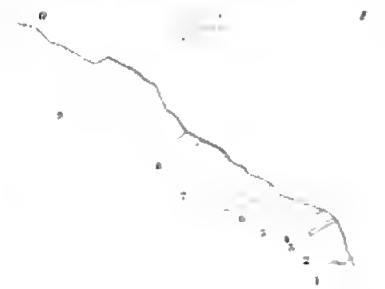

Fig 4
Coupe dans une carrière de marbre du Pentelique

Fig 5
Coupe à l'Ouest de Porto Therico

Métamorphismes régionaux

Digitized by Google

Fig 1
Rive gauche du Cephisse entre Hiraeli et Patissa

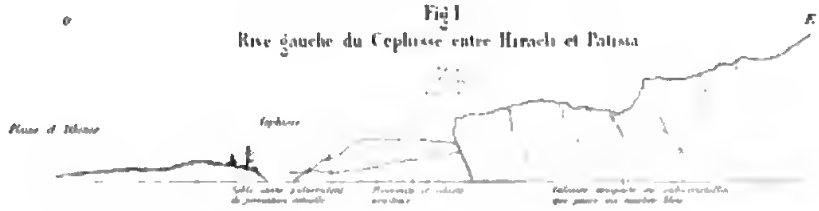

Fig 2.
Traversée du M^t Cytheron

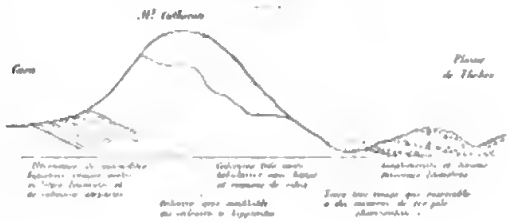

Fig 3
Ravin de Caprena, près de Livadie

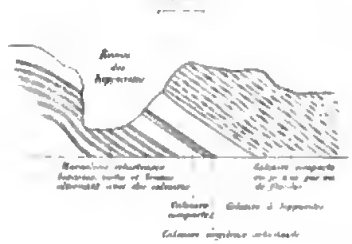

Fig 4
Coupe du M^t Parnasse et du vallon de Rhacova

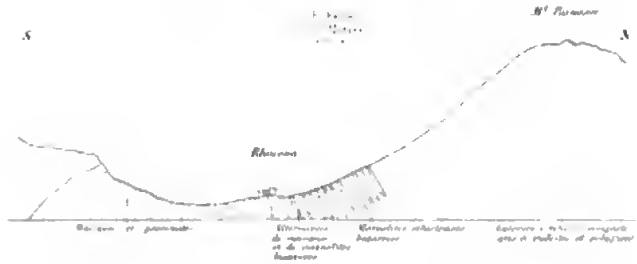

Fig 5
Coupe entre Daphne et la plaine d Athenes

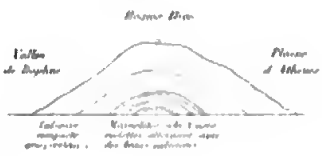

Fig 6
Coupe a Vlasi (Beotie)

Fig 7
Coupe prise près de Delphes

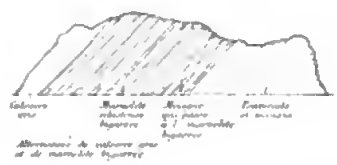

Etages des psammites, des marnolites bigarrées et des calcaires à rudistes

Digitized by Google

Fig 1.

Coupe au Monastère de Phlé (*M^t Parnès*)

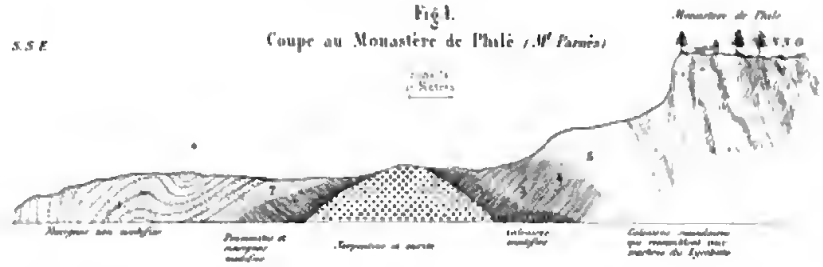

Fig 2.

Coupe dans les montagnes entre le fort de Phlé et Laatam.

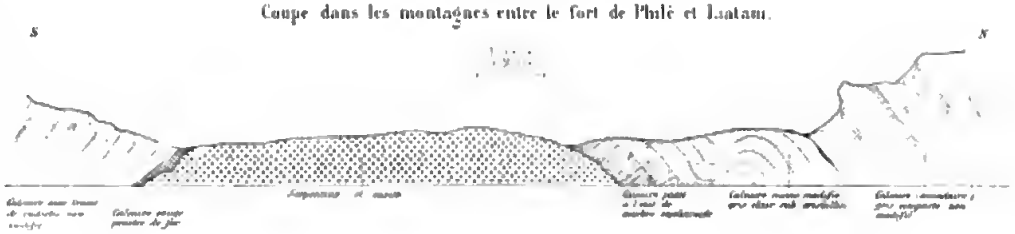

Fig 3

Coupe entre Hagios Mercourios et Tsiourea

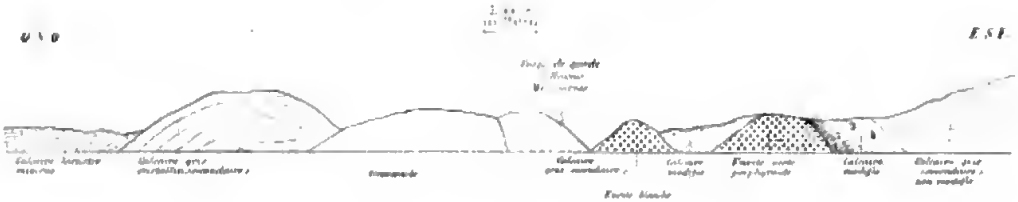

Fig 4

Coupe à 2 Kilom^es au Sud de Caco Stalesi (*Parnès*).

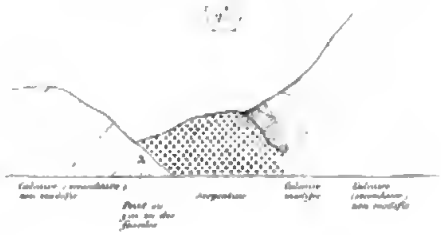

Fig 5.

Coupe à 3 Kilom^es au Sud de Kineta

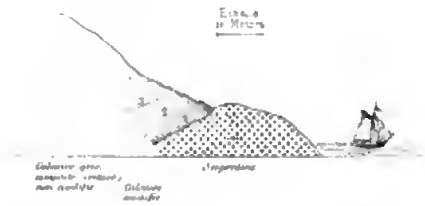

Epanchements euritiques, serpentineux et métamorphismes de juxtaposition

Fig 1.

Coupe à Tatoi dans le Parnès (N.E Oasis)

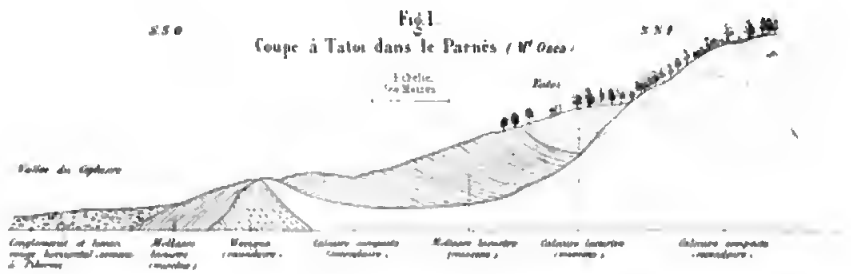

Fig 2.

Coupe au bord du torrent de Pikermi à 1 Kilomètre des maisons de la Metokhi

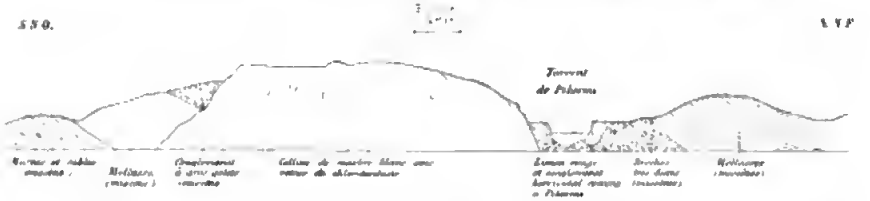

Fig 3

Coupe de detail près de Pikermi

Fig 4

Coupe de la falaise près de Raphina

Fig 5

Coupe de detail à l'Est de Khaevati

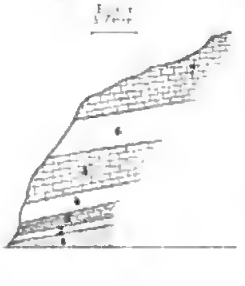

Fig 6

Vue des calcaires lacustres disposés en terrasses auprès de Khaevati

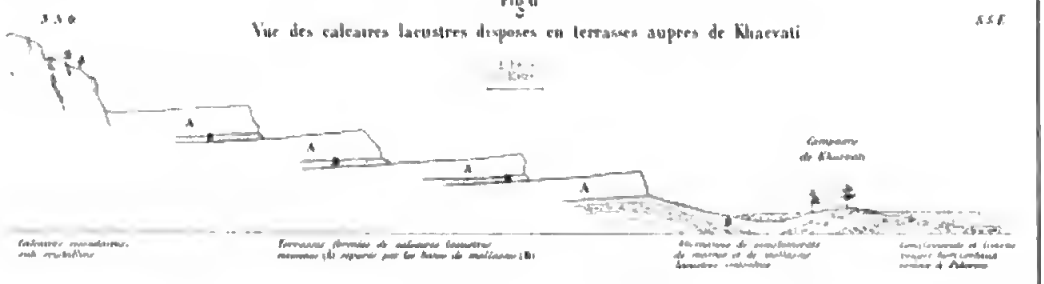

Couches miocènes lacustres

Digitized by Google

Fig 1
Vue du pays entre Calamo et Capandriti (Nord de l'Attique)

Fig 2
Coupe prise auprès du port de Calamo (Nord de l'Attique)

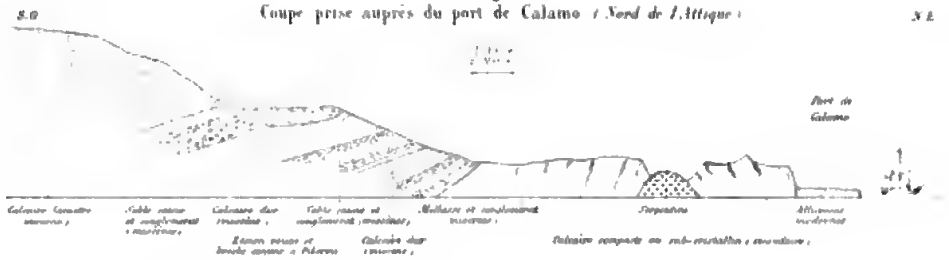

Fig 3.
Coupe prise auprès du village de Calamo

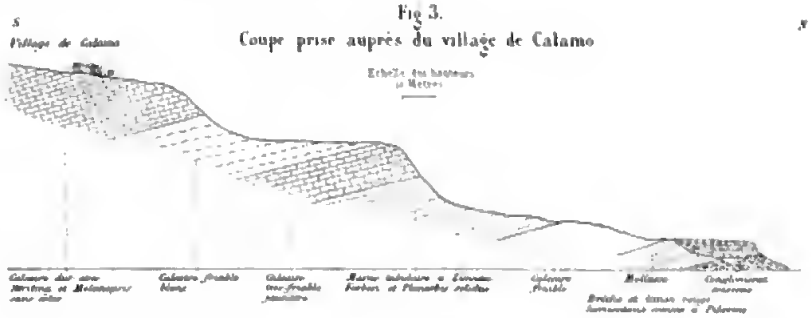

Fig 4
Coupe prise entre Calamo et le monastère de Mégalo Livado

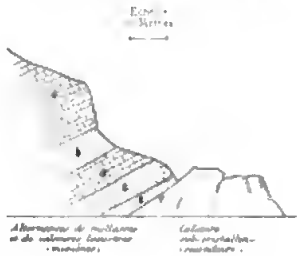

Fig. 5.
Coupe prise à environ 2 Kilom^tres au S.S.E de Calamo

Fig 6
Coupe prise auprès de Marcopoulo

Couches miocènes lacustres

Fig 1
Coupe à la mine d'Hagia Pigi près Marcopoulo

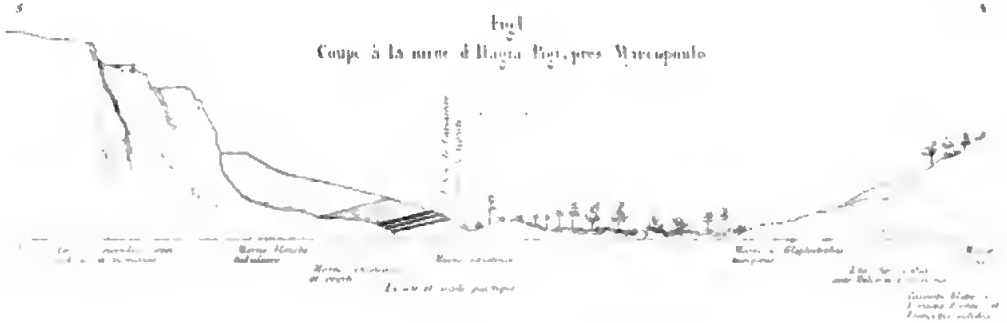

Fig 2.
Coupe à Aliki (Nord de l'Attique)

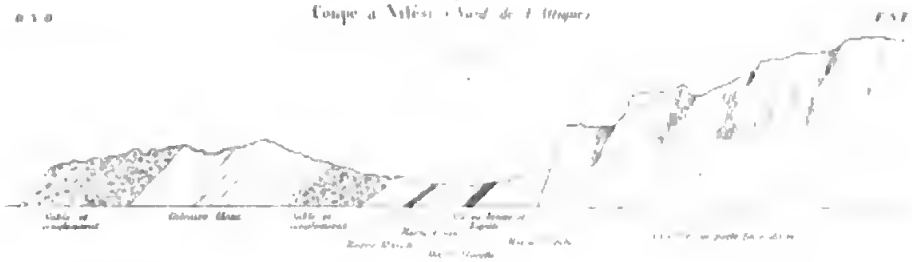

Fig 3
Coupe à la mine de lignite de Comni (Ile d'Eubée)

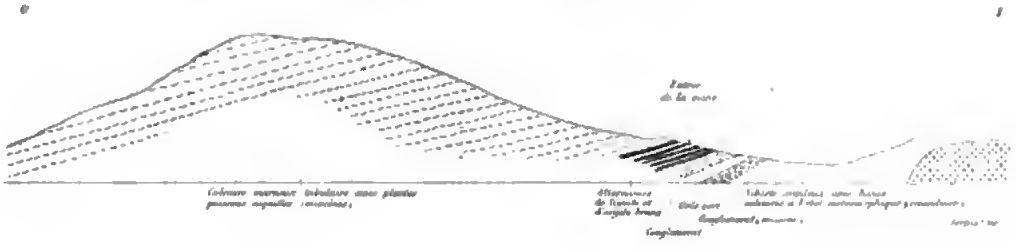

Suite de la Fig 3.

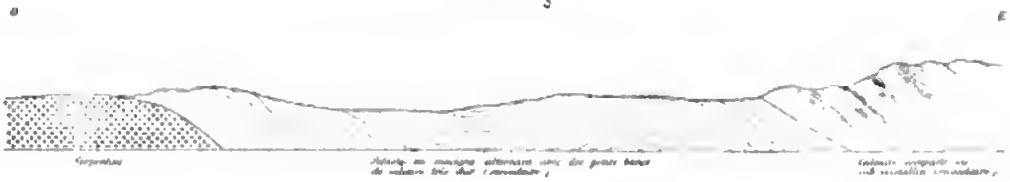

Gisemens de lignites miocènes

TERRAINS DE L'ATTIQUE DE LA MÉGARIDE ET DE LA CORINTHIE.

Pl. LXXII

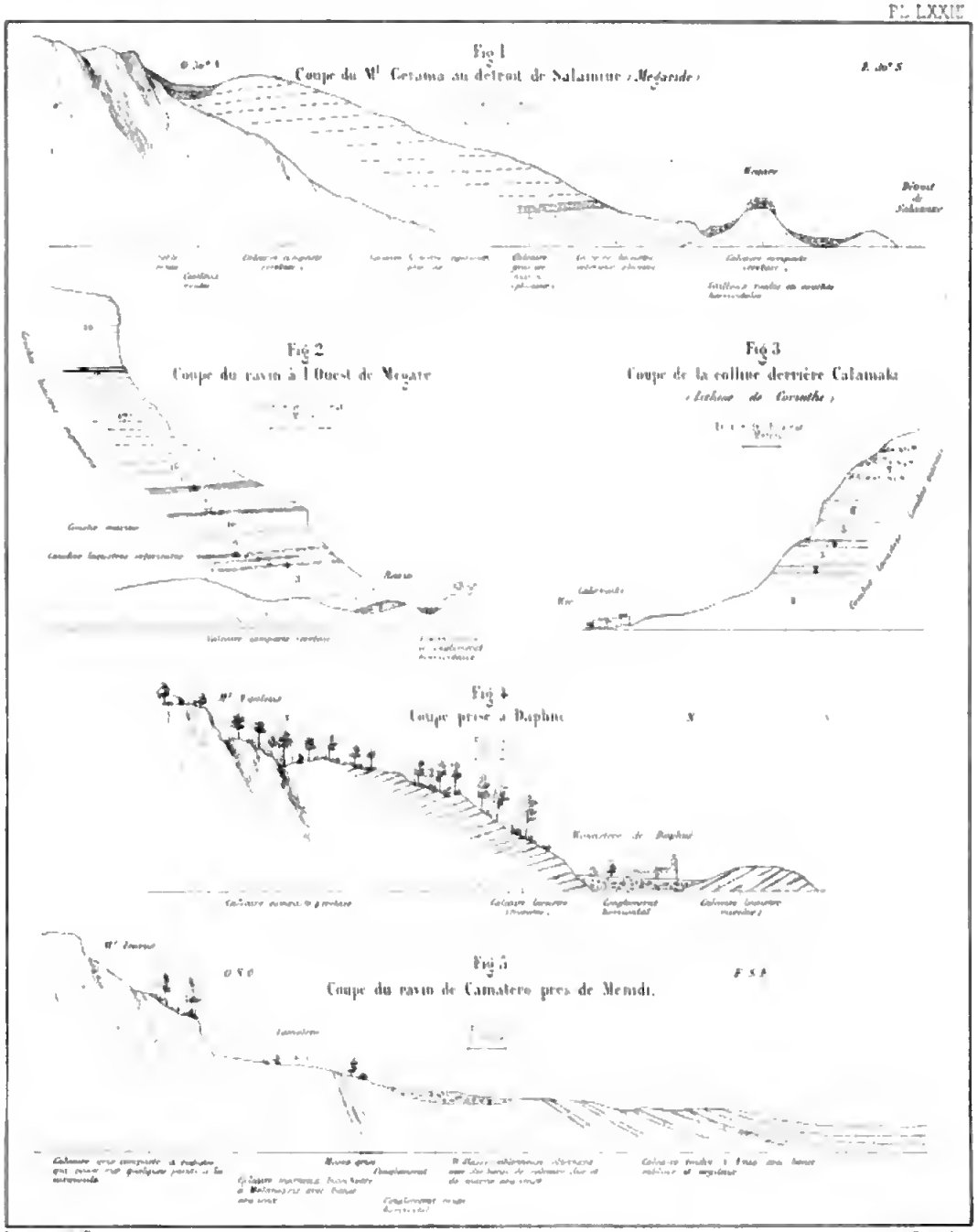

Fig 1 2 3 Couches pliocènes lacustres de la Megaride et de la Corinthie
Fig 4 5 — Couches pliocènes lacustres de l Attique

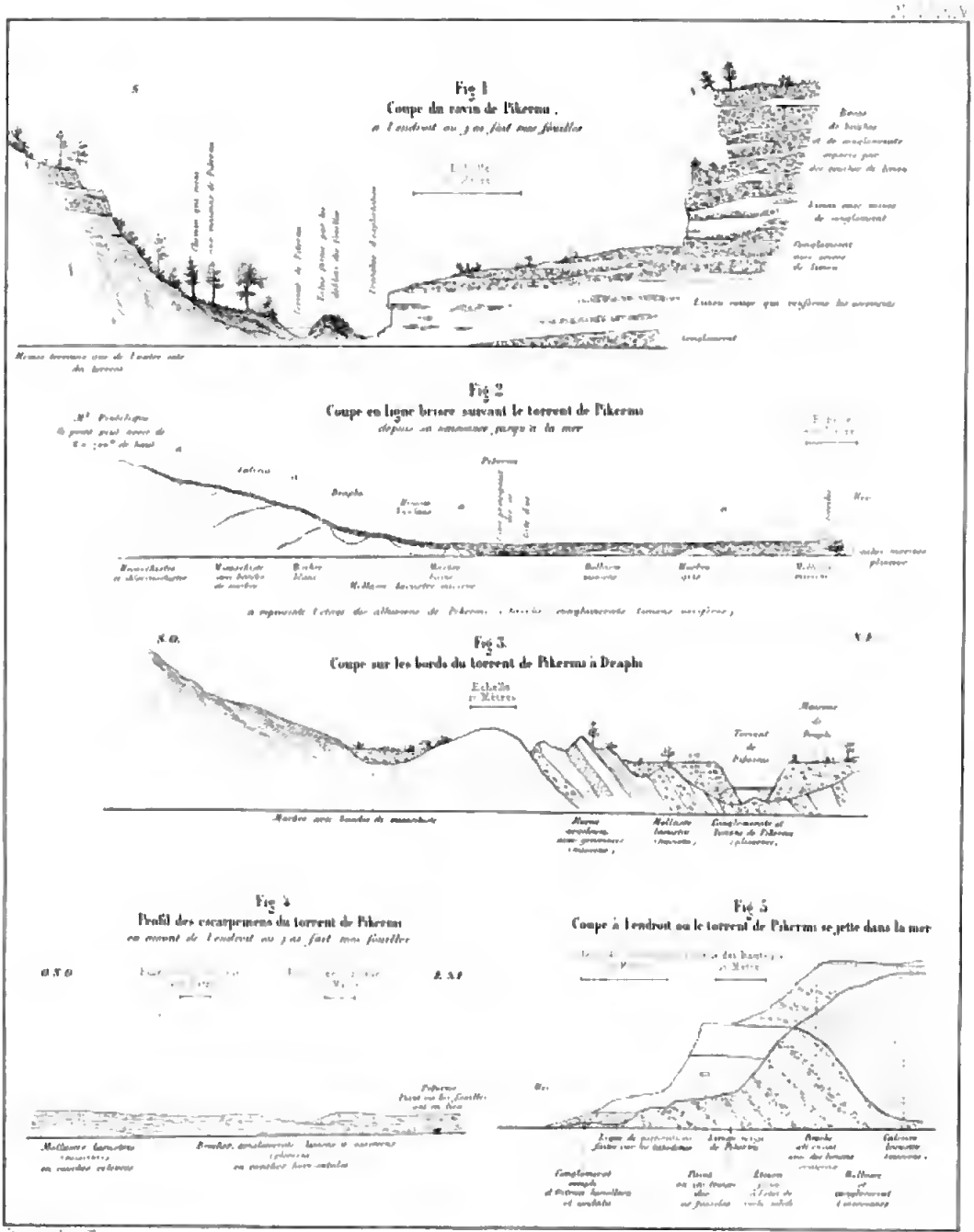

Couches à ossemens de Pikermi

(pliocene terrestre)

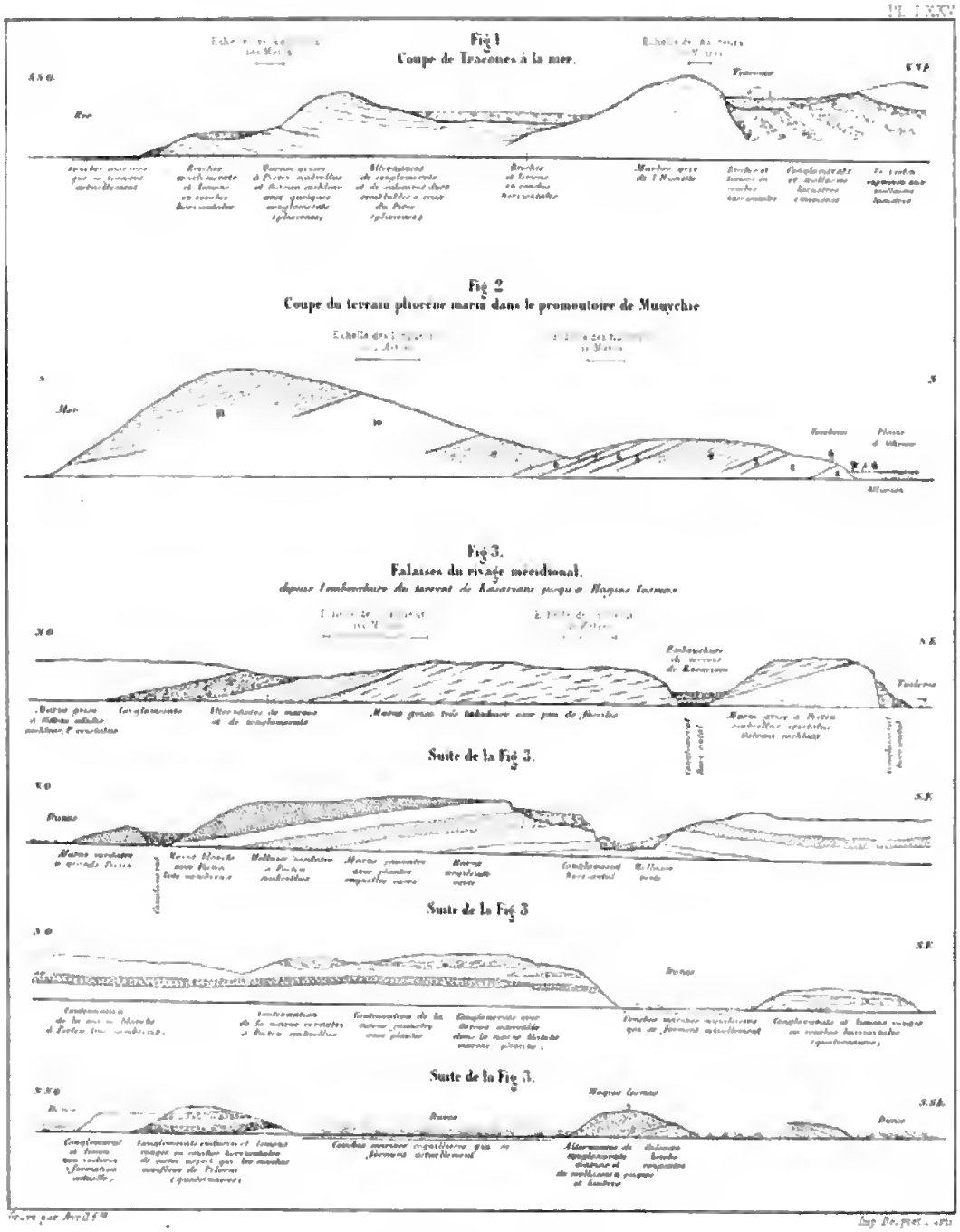

Couches pliocènes marines.

Digitized by Google

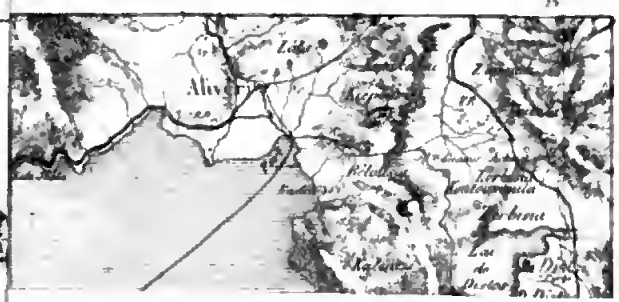
Alicante

Digitized by Google